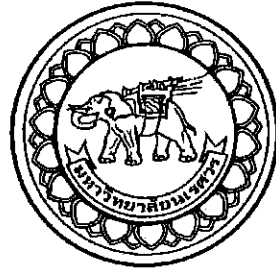


อภินันทนากර



สำนักหอสมุด

เครื่องกระตุ้นเนื้อโค่นุ่มด้วยกระแสไฟฟ้า

SOFT BEEF STIMULATOR BY USING ELECTRICITY

นายพรชัย พันธ์มุง รหัส 56362973
นายธนกฤต ส่างานนินทร์ รหัส 56363031

วันที่ออกห้องสมุด มหาวิทยาลัยแม่ฟ้าหลวง
วันที่ออกห้องสมุด 24 มีค 2561
เลขที่ห้องสมุด 17220261 ✓
เวลาเรียกหนังสือ ๙/๙

พ.ม.๑๔

๒๕๖๑

CD - STL 81

ปริญญาในพิณ์เป็นส่วนหนึ่งของการศึกษาหลักสูตรปริญญาวิศวกรรมศาสตรบัณฑิต
สาขาวิชาชีวกรรมไฟฟ้า ภาควิชาชีวกรรมไฟฟ้าและคอมพิวเตอร์
คณะวิศวกรรมศาสตร์ มหาวิทยาลัยแม่ฟ้าหลวง
ปีการศึกษา 2559



ใบรับรองปริญญาบัณฑิต

ชื่อหัวข้อโครงการ เครื่องกระตุ้นเนื้อโคนุ่นด้วยกระแสไฟฟ้า
ผู้ดำเนินโครงการ นายพrushy พันธ์มุง รหัส 56362973
 นายชนกฤต ตั้งทันนินทร์ รหัส 56363031
ที่ปรึกษาโครงการ ดร. สราษฎร์ วัฒนาวงศ์พิทักษ์
ที่ปรึกษาร่วม ผู้ช่วยศาสตราจารย์ ดร. อรรถ รักชาติ
สาขาวิชา วิศวกรรมไฟฟ้า
ภาควิชา วิศวกรรมไฟฟ้าและคอมพิวเตอร์
ปีการศึกษา 2559

คณะวิศวกรรมศาสตร์ มหาวิทยาลัยเรศวร อนุมัติให้ปริญญาบัณฑิตบันนี้เป็นส่วนหนึ่ง ของการศึกษาตามหลักสูตรวิศวกรรมศาสตรบัณฑิต สาขาวิชา工程ไฟฟ้า

ที่ปรึกษาโครงการ

(ดร. สราษฎร์ วัฒนาวงศ์พิทักษ์)

ที่ปรึกษาร่วม

(ผู้ช่วยศาสตราจารย์ ดร. อรรถ รักชาติ)

กรรมการ

(ผู้ช่วยศาสตราจารย์ ดร. ปิยดนัย ภาชนะพรรณ์)

กรรมการ

(ดร. จิราดี ผลประเสริฐ)

ชื่อหัวข้อโครงการ	เครื่องกระตุ้นเนื้อโค่นมุ่งด้วยกระแสไฟฟ้า
ผู้ดำเนินโครงการ	นายพรชัย พันธ์มุง รหัส 56362973
	นายชนกฤต ส่างทานนิทรร์ รหัส 56363031
ที่ปรึกษาโครงการ	ดร. สราฐวิช วัฒนวงศ์พิทักษ์
ที่ปรึกษาร่วม	ผู้ช่วยศาสตราจารย์ ดร. ไกรศ รักชาติ
สาขาวิชา	วิศวกรรมไฟฟ้า
ภาควิชา	วิศวกรรมไฟฟ้าและคอมพิวเตอร์
ปีการศึกษา	2559

บทคัดย่อ

ปริญญา呢พนธ์ฉบับนี้นำเสนอด้วยการพัฒนาเครื่องกระตุ้นเนื้อโค่นมุ่งด้วยกระแสไฟฟ้า เพื่อเพิ่มความสะท้อน และลดระยะเวลาในการทำให้เนื้อโคกมีความนุ่มนิ่ม โดยตัวเครื่องถูกออกแบบให้มีขนาดที่เล็กลงกว่าเครื่องรุ่นก่อน และสามารถปรับช่วงระดับแรงดันพัลส์กระแสตรงได้ 50 ถึง 90 โวลต์ สามารถปรับความกว้างพัลส์ได้ 10, 20, 30 และ 40 มิลลิวินาที และสามารถปรับตั้งเวลาการทำงานได้ตั้งแต่ 1 ถึง 5 นาที ในการใช้งานตัวเครื่องสามารถทำงานทุกฟังก์ชันได้อย่างถูกต้อง โดยมีความคลาดเคลื่อนของแรงดันที่ 50 โวลต์ เท่ากับ 2.96 เมอร์เซ็นต์ ส่วนที่แรงดัน 90 โวลต์ เท่ากับ 7.23 เมอร์เซ็นต์ จากผลการทดสอบกับเนื้อโคกพบว่า เนื้อโคกที่ถูกกระตุ้นมีความนุ่มนิ่มขึ้น โดยความนุ่มนิ่มขึ้นอยู่กับแรงดัน ความกว้างพัลส์ และเวลาอย่างไรก็ตามที่แรงดัน 90 โวลต์ ในคราวใช้เวลานานเกิน 3 นาที เมื่อออกจากสภาพภายนอกของเนื้อโคกหลังถูกกระตุ้น จะมีรอยดำกิดขึ้นทำให้ไม่มีความน่ารับประทาน

Project title	Soft Beef Stimulator by using Electricity		
Name	Mr. Pornchai Panmung	ID.	56362973
	Mr. Tanakit Songtanin	ID.	56363031
Project advisor	Mr. Sarawut Wattanawongpitak, D.Eng.		
Co-advisor	Asst. Prof. Orose Rugchati, Ph.D.		
Major	Electrical Engineering		
Department	Electrical and Computer Engineering		
Academic year	2016		

Abstract

This thesis presents the development of soft beef stimulator by using electricity to make the stimulation process more convenient and time saving. This stimulator is designed to be smaller than previous models, which can adjust the voltage level from 50 to 90 volts dc, and the pulse-width can be varied from 10 to 40 milliseconds. The results showed that the equipment is able to work correctly in every functions and the stimulated beef is softer depending on the voltage, pulse-width, and time. However, the use at the voltage level of 50 volt and 90 volt have errors about 2.96 and 7.29 percent, respectively. In addition, the stimulation time at 90 volt should not more than 3 minutes, because the area of beef connected with the probe will be burnt and unappetizing.

กิตติกรรมประกาศ

ผู้ดำเนินโครงการขอขอบคุณ ดร.สราฐิ วัฒนวงศ์พิทักษ์ อาจารย์ที่ปรึกษาโครงการ ซึ่ง
เคยให้คำแนะนำ ปรึกษา และชี้แนะแนวทางในการแก้ไขปัญหาต่างๆ มาโดยตลอด อีกทั้งยังเอาใจ
ใส่ในรายละเอียดในการทำงาน ในทุกขั้นตอนของการดำเนินโครงการ จนกระทั่ง โครงการสำเร็จ
ลุล่วง รวมถึงยังให้คำแนะนำในหลักการเขียนบริษัทภานิพนธ์และรายงานการทำงานแก้ไขอย่างละเอียดจนได้
บริษัทภานิพนธ์เป็นรูปเล่มสมบูรณ์

ขอขอบคุณ พศ.ดร.อรรถ รักษาดิ อาจารย์ที่ปรึกษาร่วม ซึ่งเคยให้คำปรึกษาและแนะนำ
เป็นอย่างดี ส่าหรับการทดสอบคุณภาพของเนื้อโคและช่วยติดต่อประสานงานการใช้เครื่องวัด
คุณภาพของเนื้อโคจนทำให้โครงการสามารถสำเร็จไปได้ด้วยดี

ขอขอบคุณ ว่าที่ ร.ต.ธานี โภสุม (ครุช่างสาขาวิชาไฟฟ้าและคอมพิวเตอร์) ที่อนุเคราะห์
ให้ใช้สถานที่และให้ยืมใช้อุปกรณ์ในการทำโครงการ ทำให้โครงการดำเนินไปได้จนสำเร็จ

ขอขอบคุณ พี่ หนึ่งฤทธิ์ เทียนทอง (นักวิทยาศาสตร์ประจำห้องปฏิบัติการภาควิชา¹
วิทยาศาสตร์การเกษตร คณะเกษตรศาสตร์ ทรัพยากรธรรมชาติและสิ่งแวดล้อม) ที่อนุเคราะห์ให้ใช้
สถานที่ในการทดสอบเนื้อโค อีกทั้ง ช่วยอธิบายการใช้งานเครื่องทดสอบคุณภาพของเนื้อโค

ขอขอบคุณ พี่ นครินทร์ ลีลา (รุ่นพี่สาขาวิศวกรรมไฟฟ้า ภาควิชาวิศวกรรมไฟฟ้าและ
คอมพิวเตอร์) ที่ช่วยแนะนำ และอธิบายหลักการทำงานของเครื่องกระตุ้นเนื้อโคนุ่มด้วย
กระแสไฟฟ้ารุ่นก่อน จนทำให้โครงการดำเนินต่อไปได้จนสำเร็จ

และขอขอบคุณ พี่ อนุชา ไพบูลย์ (รุ่นพี่สาขาวิศวกรรมไฟฟ้า ภาควิชาวิศวกรรมไฟฟ้า
และคอมพิวเตอร์) ที่ช่วยให้คำแนะนำ และอธิบายหลักการทำงานของบอร์ดไมโครคอนโทรลเลอร์
และวงจรภายในของตัวเครื่องกระตุ้นเนื้อโคนุ่มด้วยกระแสไฟฟ้ารุ่นก่อน จนทำให้โครงการดำเนิน
ไปได้จนสำเร็จ

ในท้ายที่สุดนี้ แทนอสั่งอื่นใด ผู้ดำเนินโครงการขอรบกวนขอพระคุณบิค่าและมารดา ซึ่ง
ท่านได้ให้การสนับสนุนในทุกด้านเกี่ยวกับการศึกษาและเงินทุนของผู้ดำเนินโครงการ รวมทั้งมอบ
ความรัก ความเมตตา และขอเป็นกำลังใจให้จนประสบความสำเร็จในวันนี้

นายพรชัย พันธ์มุง
นายชนกฤต ส่งท่านนินทร์

สารบัญ

หน้า

ใบรับรองปริญญาบัตร	ก
บทคัดย่อภาษาไทย	ข
บทคัดย่อภาษาอังกฤษ	ค
กิตติกรรมประกาศ	ง
สารบัญ	จ
สารบัญรูป	ฉ
สารบัญตาราง	ฉ
บทที่ 1 บทนำ	1
1.1 ที่มาและความสำคัญของโครงการ	1
1.2 วัตถุประสงค์ของโครงการ	1
1.3 ขอบเขตของโครงการ	1
1.4 ขั้นตอนการดำเนินงาน	2
1.5 แผนการดำเนินงานตลอดโครงการวิจัย	3
1.6 ประโยชน์ที่คาดว่าจะได้รับจากโครงการ	3
1.7 งบประมาณ	4
บทที่ 2 หลักการและทฤษฎี	5
2.1 ไมโครคอนโทรลเลอร์ Arduino	5
2.2 จอแสดงผลแอลซีดี	7
2.3 รีเลย์	9
2.4 วงจรเรียงกระแสเติมคลื่นแบบบริดจ์	12
2.4.1 การทำงานของวงจรเรียงกระแสเติมคลื่นแบบบริดจ์	12
2.4.2 แรงดันเอาท์พุทของวงจร	14
2.4.3 แรงดันสูงสุดต้านกลับ (Peak Inverse Voltage)	14
2.5 วงจรทบระดับแรงดันไฟฟ้า (Boost Converter)	16
2.5.1 เสื่อนไหในการทำงานของวงจรบูสต์คอนเวอร์เตอร์	16
2.5.2 หลักการทำงานของวงจรบูสต์คอนเวอร์เตอร์	17

สารบัญ (ต่อ)

2.5.2.1 ขณะสวิตซ์นำกระแส	17
2.5.2.2 ขณะสวิตซ์ไม่นำกระแส	18
2.5.3 คุณสมบัติของกราฟกระแสต่อเนื่อง	21
2.5.4 คุณสมบัติของกราฟกระแสไม่ต่อเนื่อง	21
2.6 วงจรชดเชย	23
2.7 วงจรจ่ายแรงดันไฟฟ้ากระแสตรง	24
2.7.1 วงจรกรอง	24
2.7.2 วงจรคุณค่า	25
2.8 วงจรขยายสัญญาณพลัส	26
2.9 เมื่อสัตว์	27
2.9.1 การเปลี่ยนแปลงของเนื้อสัตว์หลังการ死	27
2.9.1.1 การเกร็งตัวของกล้ามเนื้อ (rigor mortis)	27
2.9.1.2 การเปลี่ยนแปลงค่า pH	28
2.9.2 การเปลี่ยนแปลงทางกายภาพของเนื้อสัตว์	30
2.9.3 การทำให้เนื้อนุ่ม	31
 บทที่ 3 การออกแบบและการทดสอบวงจร	33
3.1 การพัฒนาวงจรเครื่องกระตุ้นเมื่อโคนุ่มด้วยกระแสไฟฟ้า	33
3.2 ขั้นตอนพัฒนาการออกแบบตัวเครื่องและการทดสอบวงจร	35
3.2.1 การพัฒนาวงจรเรียงกระแส	36
3.2.2 การพัฒนาวงจรจ่ายแรงดันไฟฟ้ากระแสตรง	37
3.2.3 การพัฒนาวงจรขยายสัญญาณพลัส หรือวงจรขับสัญญาณ	40
3.2.4 การพัฒนาวงจรหน่วยดับแรงดัน	42
3.2.5 การพัฒนาวงจรชดเชย	49
3.3 การออกแบบเครื่องกระตุ้นเมื่อโคนุ่มด้วยกระแสไฟฟ้า	53
3.3.1 จำลองแบบโครงสร้างเครื่องกระตุ้นเมื่อโคนุ่มด้วยกระแสไฟฟ้า	53
3.3.2 วงจรภายในและโครงสร้างเครื่องกระตุ้นเมื่อโคนุ่มด้วยกระแสไฟฟ้า	55

สารบัญ (ต่อ)

หน้า

3.4 การทดสอบประสิทธิภาพ	58
3.4.1 ทดสอบกำลังใช้งานสูงสุดทางค้านอินพุต	58
3.4.2 ทดสอบการเปลี่ยนแปลงกำลังไฟฟ้าทางค้านอาห์พุท	59
 บทที่ 4 วิธีการทดลองและผลการทดสอบ	63
4.1 การทดลองทางกายภาพ	65
4.1.1 ทดสอบแรงบด	66
4.2 การทดลองทางเคมี	67
4.2.1 ทดสอบอุณหภูมิ	67
 บทที่ 5 สรุปผลและข้อเสนอแนะ	70
5.1 สรุปผลการดำเนินงาน	70
5.2 ปัญหาและแนวทางการแก้ไข	71
5.3 แนวทางในการพัฒนาต่อไป	71
 เอกสารอ้างอิง	71
 ภาคผนวก ก รายละเอียดของอุปกรณ์	72
 ประวัติผู้ดำเนินโครงการ	89

สารนัญรูป

รูปที่	หน้า
2.1 แพงวงจร Arduino รุ่น UNO R3	6
2.2 ไมโครคอนโทรลเลอร์ ATmega328P-PU.....	7
2.3 จอแสดงผลแอลซีดี (LCD)	7
2.4 เชื่อมต่อจอแอลซีดี แบบ 8 บิต (DB0-DB7)	8
2.5 เชื่อมต่อจอแอลซีดี แบบ 4 บิต (DB4-DB7)	9
2.6 สัญลักษณ์ในวงจรไฟฟ้าของเรียเลอร์	9
2.7 สภาพการทำงานของเรียเลอร์.....	10
2.8 เรียเลอร์ 2 ช่อง (Relay Module 2 Channels).....	11
2.9 วงจรเรียงกระแสเติมคลื่นแบบบридจ์.....	12
2.10 ไดโอด D1 และ D2 ได้รับไบอัลตรอน.....	13
2.11 ไดโอด D3 และ D4 ได้รับไบอัลตรอน.....	13
2.12 รูปคลื่น (V_{out}) เปรียบเทียบกับ (V_{in}) ของวงจรเรียงกระแสแบบบридจ์.....	13
2.13 แรงดันไฟตรงเฉลี่ยกับแรงดันไฟสูงสุด (V_p) ของวงจรเรียงกระแสแบบเติมคลื่น.....	14
2.14 แรงดันสูงสุดค้านกลับที่เกิดกับวงจรเรียงกระแสเติมคลื่นแบบบридจ์	14
2.15 วงจรเรียงกระแสเติมคลื่นแบบบридจ์ เมื่อต่อตัวเก็บประจุ	15
2.16 แรงดันไฟฟ้าเอาท์พุตของวงจรเรียงกระแสเติมคลื่นแบบบридจ์ เมื่อต่อตัวเก็บประจุ	15
2.17 วงจรทบประดับแรงดัน (Boost Converter).....	16
2.18 วงจรสมมูลเมื่อสวิตช์นำกระแส	17
2.19 (ก) แรงดันไฟฟ้าที่ต่อกรร่องตัวเหนี่ยวนำ (x) กระแสที่ไหลผ่านตัวเหนี่ยวนำ	18
2.20 วงจรสมมูลเมื่อสวิตช์ไม่นำกระแส	18
2.21 ความสัมพันธ์ระหว่างอัตราการขยายแรงดันกับ D	21
2.22 กราฟกระแสที่ไหลผ่านตัวเหนี่ยวนำต่อเนื่อง	22
2.23 กราฟกระแสที่ไหลผ่านตัวเหนี่ยวนำไม่ต่อเนื่อง	22
2.24 วงจรซูปเปอร์	23
2.25 รูปสัญญาณแรงดันวงจรซูปเปอร์	23
2.26 บล็อกไซโคะแกรมวงจรแหล่งจ่ายไฟฟ้า.....	24
2.27 วงจรกรอง	24
2.28 แรงดันไฟฟ้าที่ยังไม่ผ่านการกรอง และผ่านการกรองแล้ว.....	25

สารบัญรูป (ต่อ)

รูปที่	หน้า
2.29 วงจรจราษฎร์แห่งดันไฟฟ้าโดยใช้อิオซี	25
2.30 วงจรขยายสัญญาณพัลส์ (IR2110)	26
2.31 กราฟแสดงการเปลี่ยนแปลงของสภาพเนื้อสัตว์	28
2.32 แสดงการลดค่าของกรด-ด่าง(pH) หลังสัตว์ตาย	30
2.33 ลักษณะการใช้เร่งกลไกเพื่อทำให้เนื้อนุ่ม	31
2.34 เอนไซม์ทำพอกโปรตีอีส (protease)	32
2.35 การกระตุ้นเนื้อนุ่มด้วยกระแสไฟฟ้า	32
3.1 แผนภาพวงจรการทำงานชุดอุปกรณ์ของเครื่องกระตุ้นเนื้อโคกนุ่มด้วยกระแสไฟฟ้า	35
3.2 วงจรเรียงกระแสแบบบิริดจ์	36
3.3 แรงดันไฟฟ้าที่ข้าอกจากวงจรเรียงกระแสแบบบิริดจ์	36
3.4 กระแสไฟฟ้าที่ข้าอกจากวงจรเรียงกระแสแบบบิริดจ์	37
3.5 วงจรจราษฎร์แห่งดันไฟฟ้ากระแสตรง	37
3.6 แรงดันด้านออกของ ไอซีเบอร์ LM7805	38
3.7 แรงดันด้านออกของ ไอซีเบอร์ LM7812	38
3.8 วงจรเรียงไฟกระแสตรง และวงจรแปลงแรงดันไฟกระแสตรง(ที่ได้สร้างขึ้น)	39
3.9 สัญญาณแรงดันข้าอกของวงจรเรียงกระแสผ่านไอซี LM7812	39
3.10 สัญญาณแรงดันข้าอกของวงจรเรียงกระแสผ่านไอซี LM7805	39
3.11 วงจรขยายสัญญาณพัลส์	40
3.12 สัญญาณแรงดันที่ข้าอกจากวงจรขยายสัญญาณพัลส์	40
3.13 การต่อเพื่อวัดสัญญาณพัลส์จากวงจรขยายสัญญาณพัลส์	41
3.14 สัญญาณแรงดันข้าอกของวงจรขยายสัญญาณพัลส์	41
3.15 สัญญาณพัลส์จากบอร์ดไมโครคอนโทรลเลอร์	42
3.16 วงจรทบระดับแรงดันไฟฟ้า ที่ขดคลวตตัวเหนี่ยวนำ ($L = 140$ มิลลิเอนรี)	43
3.17 ขนาดของแรงดันไฟฟ้า ที่ขดคลวตตัวเหนี่ยวนำ ($L = 140$ มิลลิเอนรี)	44
3.18 ขนาดของกระแสไฟฟ้า ที่ขดคลวตตัวเหนี่ยวนำ ($L = 140$ มิลลิเอนรี)	44
3.19 ขดคลวตตัวเหนี่ยวนำที่ออกแบบขนาด 140 มิลลิเอนรี	46
3.20 วงจรทบระดับแรงดันไฟฟ้า ที่ค่าความด้านทาน (R) เท่ากับ 337 โอห์ม	46
3.21 ขนาดแรงดัน และกระแสทางด้านเอกสารที่พุก ที่ค่าความด้านทาน (R) เท่ากับ 337 โอห์ม	47

สารบัญรูป (ต่อ)

รูปที่	หน้า
3.22 วงจรทบทรงดัน (วงจรที่ได้สร้างขึ้น)	47
3.23 สัญญาณแรงดันขาออกของวงจรทบทรงดัน ($D = 0$ เปอร์เซ็นต์)	47
3.24 สัญญาณแรงดันขาออกของวงจรทบทรงดัน ($D = 50$ เปอร์เซ็นต์)	48
3.25 จำลองวงจรซوبเปอร์โดยใช้โปรแกรม Pspice	49
3.26 แรงดันพัลส์ดีซีจากวงจรซوبเปอร์ โดยใช้โปรแกรม Pspice	49
3.27 กระแสพัลส์ดีซีจากวงจรซوبเปอร์ โดยใช้โปรแกรม Pspice	49
3.28 วงจรซوبเปอร์และวงจรทบทรงดัน (วงจรที่ได้สร้างขึ้น)	50
3.29 แรงดันพัลส์ดีซีจากวงจรซوبเปอร์ (90 วอลต์/10 มิลลิวินาที)	50
3.30 แรงดันพัลส์ดีซีจากวงจรซوبเปอร์ (90 วอลต์/20 มิลลิวินาที)	51
3.31 แรงดันพัลส์ดีซีจากวงจรซوبเปอร์ (90 วอลต์/30 มิลลิวินาที)	51
3.32 แรงดันพัลส์ดีซีจากวงจรซوبเปอร์ (90 วอลต์/40 มิลลิวินาที)	51
3.33 ขนาดของเครื่องกระตุ้นเนื้อโคนุ่มด้วยกระแสไฟฟ้า	53
3.34 แบบจำลองเครื่องกระตุ้นเนื้อโคนุ่มด้วยกระแสไฟฟ้า	54
3.35 ด้านหน้าเครื่องกระตุ้นเนื้อโคนุ่มด้วยกระแสไฟฟ้า	55
3.36 ด้านหลังเครื่องกระตุ้นเนื้อโคนุ่มด้วยกระแสไฟฟ้า	56
3.37 รูปแบบการต่อวงจรของเครื่องกระตุ้นเนื้อโคนุ่มด้วยกระแสไฟฟ้า	56
3.38 รูปแบบลายเส้นการต่อวงจรของเครื่องกระตุ้นเนื้อโคนุ่มด้วยกระแสไฟฟ้า	57
3.39 แผนภาพกำลังใช้งานสูงสุดทางค้านอินพุต	59
3.40 สัญญาณแรงดันทางค้านเอาท์พุท ที่เวลา 1 นาที (90 วอลต์/40 มิลลิวินาที)	59
3.41 สัญญาณแรงดันทางค้านเอาท์พุท ที่เวลา 5 นาที (90 วอลต์/40 มิลลิวินาที)	60
3.42 แผนภาพแรงดันไฟฟ้าที่ 90 วอลต์ 40 มิลลิวินาที 5 นาที	61
3.43 แผนภาพกระแสไฟฟ้าที่ 90 วอลต์ 40 มิลลิวินาที 5 นาที	61
3.44 แผนภาพกำลังไฟฟ้าค้านเอาท์พุทที่ 90 วอลต์ 40 มิลลิวินาที 5 นาที	62
3.45 การสูญเสียน้ำของเนื้อโคนุ่มทำการกระตุ้น	62
4.1 การกระตุ้นเนื้อโคนุ่มด้วยเครื่องกระตุ้นเนื้อโคนุ่มด้วยกระแสไฟฟ้า	63
4.2 ลักษณะภายนอกของเนื้อโคนุ่มด้วยกระแสไฟฟ้าที่แรงดัน 50 วอลต์	64
4.3 ลักษณะภายนอกของเนื้อโคนุ่มด้วยกระแสไฟฟ้าที่แรงดัน 70 วอลต์	64
4.4 ลักษณะภายนอกของเนื้อโคนุ่มด้วยกระแสไฟฟ้าที่แรงดัน 90 วอลต์	64

สารบัญรูป (ต่อ)

รูปที่	หน้า
4.5 เครื่องมือทดสอบเนื้อสัมผัส (เครื่อง Texture Analyser ยี่ห้อ Brookfield)	65
4.6 แผนภูมิแสดงการทดสอบแรงบดของชิ้นเนื้อโค	67
4.7 การใช้เทอร์โนมิเตอร์วัดอุณหภูมิของเนื้อโค	68
4.8 แผนภูมิแสดงการทดสอบอุณหภูมิ	69



สารบัญตาราง

ตารางที่	หน้า
1.1 แผนการดำเนินงาน	3
2.1 อัตราขยายแรงดันของวงจรนูสต์คอนเวอร์เตอร์เมื่อมีการปรับเปลี่ยนค่าดิวตี้ไซเคิล	20
3.1 แสดงค่าตัวประกอนความพร้าว (RF)	45
3.2 การเปรียบเทียบแรงดันไฟฟ้าจากทฤษฎีและจากรหทีออกแบบ	48
3.3 แสดงระดับแรงดันไฟฟ้า 50 โวลต์ เมื่อปรับเปลี่ยนความกว้างพัลส์	52
3.4 แสดงระดับแรงดันไฟฟ้า 70 โวลต์ เมื่อปรับเปลี่ยนความกว้างพัลส์	52
3.5 แสดงระดับแรงดันไฟฟ้า 90 โวลต์ เมื่อปรับเปลี่ยนความกว้างพัลส์	52
3.6 แสดงกระแสไฟฟ้าสูงสุดและกำลังไฟฟ้าสูงสุดทางด้านอินพุต	58
3.7 แสดงกระแสไฟฟ้าตรงและขนาดพัลส์ทางด้านเอาท์พุต	60
4.1 ผลการทดสอบค่าแรงดันของชีนเนื้อโค	66
4.2 ผลการทดสอบอุณหภูมิของชีนเนื้อโคหลังถูกกระตุ้น	68

บทที่ 1

บทนำ

1.1 ที่มาและความสำคัญของโครงงาน

การบริโภคนื้อโคในปัจจุบันผู้บริโภคจะให้ความสำคัญกับคุณภาพเนื้อ ซึ่งความนุ่มนวลของเนื้อโคเป็นลักษณะสำคัญที่บ่งบอกถึงคุณภาพของเนื้อ และมีผลอย่างมากต่อความพึงพอใจของผู้บริโภค รวมทั้งการตัดสินใจซื้อหรือบริโภคซึ่งอีกครั้ง อย่างไรก็ตาม เนื้อโคที่ผลิตและจำหน่าย ในปัจจุบันยังมีความนุ่มน้ำไม่คงที่ ซึ่งกระบวนการที่ทำให้เนื้อนุ่มนี้หลายวิธี เช่น วิธีหาง Kem วิธีหางกล เป็นต้น

ซึ่งกระบวนการทำให้เนื้อนุ่มนี้ต้องอาศัยระยะเวลา และมีความยุ่งยากพอสมควร หากเลือกใหม่ก็คือ การกระตุ้นเนื้อโคด้วยกระแสไฟฟ้า (Electrical Stimulation) โดยมีการพัฒนาและประยุกต์ใช้งานในอุตสาหกรรมเป็นเวลานาน ส่งผลให้เนื้อมีความนุ่ม ใช้ระยะเวลาเพียงสั้นๆ และต้นแบบองค่าใช้จ่ายน้อย ซึ่งเครื่องมือที่ใช้ในปัจจุบันมีราคาแพง ดังนั้นจึงได้กำหนดโครงงานนี้ขึ้น เพื่อพัฒนาประสิทธิภาพของเครื่องมือ และเพิ่มมาตรฐานของเนื้อโคให้มีคุณภาพตามความต้องการของกุ้นผู้บริโภค

1.2 วัตถุประสงค์ของโครงงาน

พัฒนาและสร้างเครื่องกระตุ้นเนื้อโคนุ่มคัวข่างดันพัลส์กระแสตรงแรงดันต่ำให้มีขนาดเล็กลงเพื่อสะดวกต่อการใช้งานในครัวเรือน

1.3 ขอบเขตของโครงการ

- 1) สร้างเครื่องกระตุ้นเนื้อโกนุ่มด้วยแรงดันพัลส์กระแทกใน การกระตุ้น
- 2) สามารถเลือกปรับแรงดันได้ 50-90 โวลต์
- 3) สามารถเลือกปรับเปลี่ยนความกว้างพัลส์ได้ 10, 20, 30 และ 40 มิลลิวินาที
- 4) สามารถปรับเวลาการทำงานได้ ตั้งแต่ 1-5 นาที/ครั้ง
- 5) ใช้กระตุ้นเนื้อโก และใช้เนื้อส่วนสะโพกบนขนาด (กว้าง×ยาว×สูง) 1×2×1 ลูกบาศก์ น้ำในการทดสอบ
- 6) ต้านทานของตัวเครื่องนี้ข้อแสดงผลแล็ปซีด จอแสดงระดับแรงดันและกระแสไฟฟ้า และมีหลอดไฟแสดงสถานะการทำงานของเครื่องกระตุ้นเนื้อโกนุ่มด้วยกระแสไฟฟ้า

1.4 ขั้นตอนการดำเนินงาน

- 1) ศึกษาการทำงานของเครื่องกระตุ้นเนื้อโกนุ่มด้วยกระแสไฟฟ้าแบบเก่า
- 2) ออกแบบวงจร และประดิษฐ์เครื่องกระตุ้นเนื้อโกนุ่มด้วยกระแสไฟฟ้า
- 3) ทดสอบประสิทธิภาพของเครื่องกระตุ้นเนื้อโกนุ่มด้วยกระแสไฟฟ้า
- 4) ปรับปรุงระบบการทำงานของตัวเครื่อง บันทึกผลการทดสอบและตรวจสอบสภาพ ปัญหาที่พบ
- 5) รวบรวมข้อมูลสรุปผล และจัดทำรูปเล่น

1.5 แผนการดำเนินงานตลอดโครงการ

ตารางที่ 1.1 แผนการดำเนินงาน

รายละเอียด	พ.ศ. 2559					พ.ศ. 2560				
	ส.ค.	ก.ย.	ต.ค.	พ.ย.	ธ.ค.	ม.ค.	ก.พ.	มี.ค.	เม.ย.	พ.ค.
1) ศึกษาการทำงานของ เครื่องกระตุนเนื้อโค นุ่มน้ำyle กระแสไฟฟ้า										
2) ศึกษาการทำงานของ ไมโครคอนโทรลเลอร์ และอุปกรณ์ต่างๆ										
3) ออกแบบวงจรไฟฟ้า และโครงสร้างเครื่องกระตุนเนื้อโค นุ่มน้ำyle กระแสไฟฟ้า										
4) สร้างวงจรไฟฟ้าและ เครื่องกระตุนเนื้อโค นุ่มน้ำyle กระแสไฟฟ้า										
5) ทดสอบประสิทธิภาพ และทดสอบคุณภาพ เม็ดโค										
6) รวบรวมข้อมูล สรุปผล จัดทำรูปเล่ม										

1.6 ประโยชน์ที่คาดว่าจะได้รับจากโครงการ

- 1) สร้างเครื่องกระตุนเนื้อโค นุ่มน้ำyle กระแสไฟฟ้า
- 2) มีความสะดวกและปลอดภัยต่อการนำมาใช้ในครัวเรือน
- 3) ประหยัดเวลาในการทำเนื้อโคให้นุ่ม

1.7 งานประมาณ

1) บอร์ด Microcontroller รุ่น Arduino UNO R3	600 บาท
2) แผงวงจรพ่วง	500 บาท
3) มอเตอร์	390 บาท
4) โครงเครื่อง	600 บาท
5) หน้าจอ LCD	250 บาท
6) หน้อแปลงแรงดัน	540 บาท
7) รีเล耶 ปุ่มกดปุ่มหมุน	300 บาท
8) ตัวต้านทาน และตัวเก็บประจุ	300 บาท
9) สายไฟ	350 บาท
10) ค่าถ่ายเอกสารและเข้าเล่มปริญญาภินฑ์	800 บาท
11) เนื้อโโค (สำหรับใช้ทดสอบ)	650 บาท
รวมเป็นเงินทั้งสิ้น (ห้ามหักสองร้อยแปดสิบบาท)	<u>5,280 บาท</u>

หมายเหตุ: ตัวเคลื่อนที่ทุกรายการ

บทที่ 2

หลักการและทฤษฎี

โครงการนี้เป็นการพัฒนาและสร้างเครื่องกระตุ้นเนื้อโคนูมด้วยกระแสไฟฟ้า โดยเครื่องกระตุ้นจะถูกสร้างให้มีขนาดเล็กลง และมีความสามารถในการสร้างแรงดันพัลส์ไฟฟ้ากระแสตรง และสามารถตั้งเวลาการทำงานได้ เช่นเดียวกับเครื่องกระตุ้นเนื้อโคนูมด้วยกระแสไฟฟ้ารุ่นก่อน[1] ดังนั้น โครงการนี้จึงจำเป็นต้องมี ในโครงการนี้Arduino Uno R3 มาควบคุมการทำงานของวงจร การออกแบบวงจรเครื่องกระตุ้นเนื้อโคนูมด้วยกระแสไฟฟ้า ได้แบ่งวงจรออกเป็น 2 ส่วน คือ

1. ส่วนที่เป็นวงจรควบคุม ในส่วนนี้จะประกอบไปด้วย

1.1 ในโครงการนี้Arduino UNO R3

1.2 วงจรจ่ายแรงดันไฟฟ้ากระแสตรง (DC Power Supply)

1.3 วงจรขยายสัญญาณพัลส์ (Switching circuits)

2. ส่วนที่เป็นวงจรกำลัง ในส่วนนี้จะประกอบไปด้วย

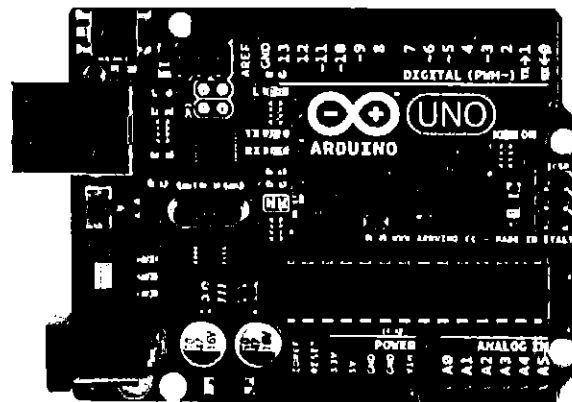
2.1 วงจรเรียงกระแส (Rectifier Circuit)

2.2 วงจรทบแรงดัน (Boost Converter)

2.3 วงจรชอปเปอร์ (Chopper Circuit)

2.1 ในโครงการนี้Arduino

Arduino มีจุดเด่นในเรื่องของความง่ายต่อการเรียนรู้และการใช้งาน เนื่องจากมีรูปแบบคำสั่งพื้นฐานที่ไม่ซับซ้อนสามารถนำมาใช้งานได้หลากหลาย และมีข้อดีมากกว่าบอร์ดสำเร็จรูปชนิดอื่น นอกเหนือ Arduino ยังมีการเพิ่มแพลตฟอร์มที่สามารถต่อArduino ทำให้ผู้ใช้งานสามารถนำบอร์ดไปต่อยอดใช้งานได้หลาย ๆ ด้าน 曩เช่น Arduino ที่ใช้ในโครงการนี้เป็นสถาปัตยกรรมของเอวีอาร์ขนาด 8 บิต โดยเป็นชิปพิมพ์แบบ RISC (Reduced instruction set computer) มีหน่วยความจำแบบชาวยาร์ด (Harvard) ซึ่งจะมีหน่วยความจำโปรแกรมและหน่วยความจำข้อมูล โดยใช้หน่วยความจำแบบแฟลต (Flash) สำหรับเป็นหน่วยความจำโปรแกรมและใช้หน่วยความจำแบบ SRAM สำหรับหน่วยความจำข้อมูลและนอกจากนี้ยังมีหน่วยความจำแบบ EEPROM ซึ่งสามารถเก็บข้อมูลเอาไว้ได้โดยไม่จำเป็นต้องมีไฟเลี้ยง โดย ATmega328 มีคุณสมบัติเด่นดังนี้



รูปที่ 2.1 แผงวงจร Arduino รุ่น UNO R3

ที่มา <http://www.arduinoall.com/product>

แผงวงจร Arduino ที่ใช้ในโครงการนี้มีขนาด 8 บิต โดยเป็นชิปยูแบง RISC (Reduced instruction set computer) มีหน่วยความจำแบบ Harvard ซึ่งจะมีหน่วยความจำโปรแกรม และหน่วยความจำข้อมูล โดยใช้หน่วยความจำแบบแฟลต (Flash) สำหรับเป็นหน่วยความจำโปรแกรมและใช้หน่วยความจำแบบ SRAM สำหรับหน่วยความจำข้อมูลและนอกจากนี้ยังมีหน่วยความจำแบบ EEPROM ซึ่งสามารถเก็บข้อมูลเอาไว้ได้โดยไม่จำเป็นต้องมีไฟเลี้ยง โดย ATmega328 มีคุณสมบัติด่นดังนี้

- 1) หน่วยความจำโปรแกรมแบบ FLASH ขนาด 32 กิโลไบต์
- 2) หน่วยความจำข้อมูลแบบ SRAM ขนาด 2 กิโลไบต์
- 3) หน่วยความจำข้อมูลแบบ EEPROM ขนาด 1 กิโลไบต์
- 4) พอร์ตอินพุตและเอาต์พุตจำนวน 23 บิต
- 5) วงจรแปลงอนาล็อกเป็นดิจิตอลขนาด 10 บิต ในตัวจำนวน 8 ช่อง
- 6) ทำงานได้ตั้งแต่ย่านแรงดัน 1.8-5.5 โวลต์
- 7) วงจรสื่อสารอนุกรม
- 8) ตัวจับเวลาและตัวนับ ขนาด 8 บิต จำนวน 2 ตัว และ U3586 ขนาด 16 บิต 1 ตัว
- 9) ความเร็วสัญญาณนาฬิกา 16 เมกะเฮิร์ตซ์
- 10) สนับสนุนช่องสัญญาณสำหรับการสร้างสัญญาณพีดับเบิลਯูเอ็ม (PWM)
- 11) รองรับการเชื่อมต่อแบบ I2C บัส



รูปที่ 2.2 ไมโครคอนโทรลเลอร์ ATmega328P-PU
ที่มา <http://www.digitalsmarties.net/products/atmega328>

2.2 จอแสดงผลแอลซีดี

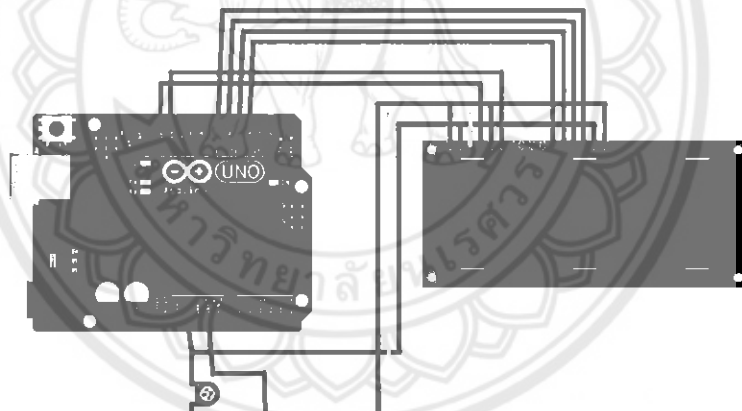
จด Liquid Crystal Display (LCD) ทั่วไปจะประกอบขึ้นด้วยแผ่นแก้วแก้ว 2 แผ่นประยุกต์กันอยู่ โดยเว้นช่องว่างตรงกลางไว้ 6-10 ไมโครเมตร ผิวด้านในของแผ่นแก้วจะเคลือบด้วยตัวนำไฟฟ้าแบบใสเพื่อใช้แสดงตัวอักษร ตรงกลางระหว่างตัวนำไฟฟ้าแบบใสกับผลึกเหลวจะมีชั้นของสารที่ทำให้โมเลกุลของผลึกรวมตัวกันในทิศทางที่แสงส่องมากระแทก เรียกว่า Alignment Layer และผลึกเหลวที่ใช้โดยทั่วไปจะเป็นแบบ Magnetic ใน การนำ LCD มาใช้งานนั้นทำได้โดย การเชื่อมต่อสัญญาณข้อมูลระหว่างไมโครคอนโทรลเลอร์ กับ ส่วนควบคุมจอแอลซีดี สามารถทำได้ 2 ลักษณะ คือ การเชื่อมต่อแบบ 8 บิต (DB0-DB7) และการเชื่อมต่อแบบ 4 บิต (DB4-DB7) ทั้งสองแบบแตกต่างกันเพียงจำนวนขาที่ใช้คือ 8 หรือ 4 ขา และยังสามารถทำงานได้เหมือนกัน อย่างที่แน่นอนในการส่งข้อมูลแบบ 4 ขา ย่อมทำได้ช้ากว่า 8 ขา แต่ไม่ได้หมายความสังเกตได้ด้วยสายตา



รูปที่ 2.3 จอแสดงผลแอลซีดี (LCD)
ที่มา <https://th.aliexpress.com/item/LCD-PI-1602-LCD1602-HD44780/32678906665.html?spm=2114.54010308.4.106.WH9WpA>

ในการควบคุมหรือสั่งงาน ตัวจอกแอลซีดีนั้นมีส่วนควบคุม (Controller) รวมไว้ในตัวแล้ว ผู้ใช้สามารถส่งรหัสคำสั่งควบคุมการทำงานของจอแอลซีดีผ่านส่วนควบคุมว่าต้องการใช้แสดงผลอย่างไร โดยส่วนควบคุมของจอแอลซีดีตัวนี้เป็น Hitachi เบอร์ HD44780 และขาในการเชื่อมต่อระหว่างแอลซีดี กับ ไมโครคอนโทรลเลอร์ มีดังนี้

- 1) GND เป็นกราวด์ใช้ต่อระหว่างกราวด์ของระบบไมโครคอนโทรลเลอร์ กับ แอลซีดี
- 2) VCC เป็นไฟเลี้ยงวงจรที่ป้อนให้กับแอลซีดีขนาด +5 โวลต์
- 3) VO ใช้ปรับความสว่างของหน้าจอแอลซีดี
- 4) RS ใช้บอกให้ส่วนควบคุมทราบว่ารหัสที่ส่งมาทางขา Data เป็นคำสั่งหรือข้อมูล
- 5) R/W ใช้กำหนดว่าจะอ่านหรือเขียนข้อมูลกับส่วนควบคุม
- 6) E เป็นขา Enable หรือ Chips Select เพื่อกำหนดการทำงานให้กับส่วนควบคุม
- 7) DB0-DB7 เป็นขาสัญญาณ Data ใช้สำหรับเปลี่ยนหรืออ่านข้อมูล/คำสั่ง กับแอลซีดี

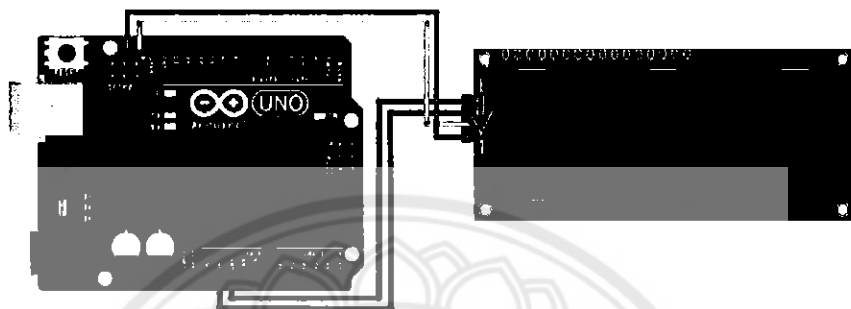


รูปที่ 2.4 เชื่อมต่อจอแอลซีดี แบบ 8 บิต (DB0-DB7)

ที่มา <http://www.arduino-build.com/product/-71/1602lcd-blue-screen-16x2lcd-with-backlight>

ในการควบคุมหรือสั่งงาน โดยทั่วไปจอแอลซีดีจะมีส่วนควบคุม (Controller) อยู่ในตัวแล้ว ผู้ใช้สามารถส่งรหัสคำสั่งสำหรับควบคุมการทำงานของจอแอลซีดี (I2C) เช่นเดียวกันกับจอแอลซีดีแบบธรรมดา เรียกง่ายๆ คือรหัสคำสั่งที่ใช้ในการควบคุมนั้นเหมือนกัน แต่ต่างกันตรงที่รูปแบบในการรับส่งข้อมูล ในบทความนี้เราจะมาพูดถึงจอแอลซีดี 16x2 ที่มีการส่งข้อมูลรูปแบบ I2C ที่ใช้ขาเพียง 4 ขาที่ใช้ในการเชื่อมต่อเท่านั้น

- 1) GND เป็น Ground ใช้ต่อระหว่างกราวด์ของระบบในโครงการกับแอลจีดี
- 2) VCC เป็นไฟเลี้ยงจรที่ป้อนให้กับแอลจีดีมีขนาด +5 โวลต์
- 3) SDA (Serial Data) เป็นขาที่ใช้ในการรับส่งข้อมูล
- 4) SCL (Serial Clock) เป็นขาสัญญาณนาฬิกาในการรับส่งข้อมูล

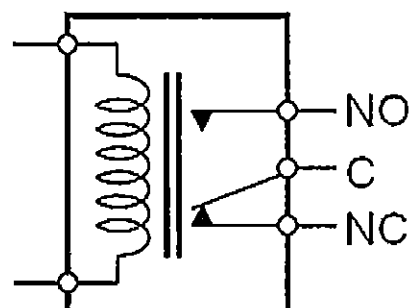


รูปที่ 2.5 เชื่อมต่อของแอลจีดี แบบ 4 บิต (DB4-DB7)

ที่มา <http://www.thaieeasyelec.com/article-wiki/review-product-article>

2.3 รีเลย์

รีเลย์ (Relay) เป็นอุปกรณ์ไฟฟ้าชนิดหนึ่งจะทำหน้าที่เป็นสวิตซ์อิเล็กทรอนิกที่ควบคุมการเปิดปิด หรือทำหน้าที่ตัดต่อวงจรแบบเดียวกับสวิตซ์โดยควบคุมการทำงานด้วยไฟฟารีเลย์ มีหลายประเภท ตั้งแต่รีเลย์ขนาดเล็กที่ใช้ในงานอิเล็กทรอนิกส์ทั่วไป จนถึงรีเลย์ขนาดใหญ่ที่ใช้ในงานไฟฟ้าแรงสูง โดยมีรูปร่างหน้าตาแตกต่างกันออกไป แต่มีหลักการทำงานที่คล้ายคลึงกัน สำหรับการนำรีเลย์ไปใช้งาน จะใช้ในการตัดต่อวงจร โดยสัญลักษณ์วงจรไฟฟ้าของรีเลย์แสดงดังรูปที่ 2.6



รูปที่ 2.6 สัญลักษณ์ในวงจรไฟฟ้าของรีเลย์

จากรูปที่ 2.6 ภายในวงจรรีเลย์จะประกอบไปด้วยชุด kontakt และหน้าสัมผัส NC(Normally Close) เป็นหน้าสัมผัสปกติปิด โดยในสภาวะปักติดหน้าสัมผัสนี้จะต่อเข้ากับขา COM(Common) และจะล็อคหรือไม่สัมผัสนั้นเมื่อมีกระแสไฟฟ้าไหลผ่านชุด kontakt หน้าสัมผัส NO(Normally Open) เป็นหน้าสัมผัสปกติเปิด โดยในสภาวะปักติดจะล็อคอยู่ ไม่ถูกต่อเข้ากับขา COM(Common) แต่จะเชื่อมต่อเข้ากับเมื่อมีกระแสไฟฟ้าไหลผ่านชุด kontakt และมีขา COM(Common) เป็นขาที่ถูกใช้งานร่วมกันระหว่าง NC และ NO ขึ้นอยู่กับว่า ขณะนั้นมีกระแสไฟฟ้าไหลผ่านชุด kontakt หรือไม่ หน้าสัมผัสในรีเลย์ 1 ตัว อาจมีมากกว่า 1 ชุด ขึ้นอยู่กับผู้ผลิตและลักษณะของงานที่ถูกนำมาใช้

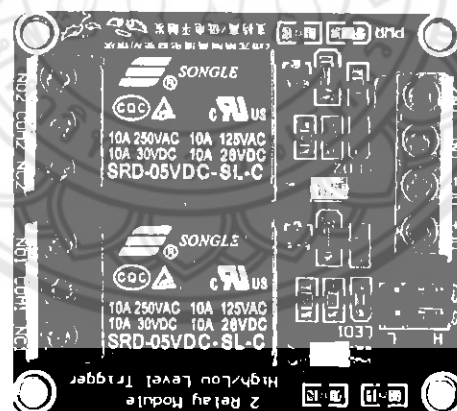
หลักการทำงานของรีเลย์นั้น ในส่วนของชุด kontakt เมื่อมีกระแสไฟฟ้าไหลผ่าน จะทำให้ชุด kontakt เกิดการเห็นี่ยวน้าและทำหน้าที่เสมือนแม่เหล็กไฟฟ้า ส่งผลให้ขา COM ที่เชื่อมต่ออยู่กับหน้าสัมผัส NC (ในสภาวะที่ยังไม่เกิดการเห็นี่ยวน้า) ข้ายกลับเชื่อมต่อเข้ากับหน้าสัมผัส NO แทน และปล่อยให้ขา NC ล็อค เมื่อมองที่ขา NC กับ COM และ NO กับ COM แล้วจะเห็นว่ามีการทำงานปิด-เปิดลักษณะคล้ายการทำงานของสวิตซ์ดังรูปที่ 2.7 เราสามารถอาศัยคุณสมบัตินี้นำไปประยุกต์ใช้งานได้



รูปที่ 2.7 สภาวะการทำงานของรีเลย์

ในโครงงานนี้เลือกจะใช้รีเลย์ที่มีขนาดเล็กเพื่อความคุณการตัดต่อการทำงานของวงจรเครื่องกระตุ้นเนื้อโคนุ่มด้วยกระแสไฟฟ้า โดยใช้รีเลย์แบบ Relay Module 2 Channels แบบ OPTO-ISOLATED ดังแสดงในรูปที่ 2.8 โดยรีเลย์มีเอาท์พุตคอนแทกเตอร์ที่รีเลย์ เป็น NO/COM/NC สามารถใช้กับโหลดได้ทั้งแรงดันไฟฟ้ากระแสสลับ และแรงดันไฟฟ้ากระแสตรง โดยใช้สัญญาณในการควบคุมการทำงานด้วยสัญญาณโลจิก TTL และมีคุณสมบัติ ดังนี้

- 1) การเชื่อมต่อมาตรฐานที่สามารถใช้ควบคุมได้โดยตรงจากไมโครคอนโทรลเลอร์ เช่น Arduino, TTL logic
- 2) สามารถใช้ไฟ 5 โวลต์จากบอร์ด Arduino ที่มีขา 5 โวลต์ ได้
- 3) ใช้ควบคุมไฟฟ้าแรงสูงได้ที่ไฟฟ้ากระแสตรง 30 โวลต์ 10 แอม培ร์, ไฟฟ้ากระแสสลับ 250 โวลต์ 10 แอม培ร์
- 4) มีไฟบอกสถานะการทำงานของรีเลย์ทุกตัว
- 5) เชื่อมต่อด้วยขั้วสกรู ทำให้ติดตั้งได้ง่ายและสะดวก
- 6) ใช้กระแสขับรีเลย์ แต่ละตัวที่ 15-20 มิลลิแอม培ร์
- 7) การส่งสัญญาณควบคุมรีเลย์เป็นแบบ Active High / Active Low
- 8) สามารถสั่งงานด้วยระดับแรงดัน TTL
- 9) มีจัมพ์เพอร์สำหรับเลือกว่าจะใช้กราวด์ร่วมหรือแยก
- 10) มี OPTO-ISOLATED เพื่อแยกกราวด์ส่วนของสัญญาณควบคุมกับไฟฟ้าที่ขับรีเลย์ออกจากกัน



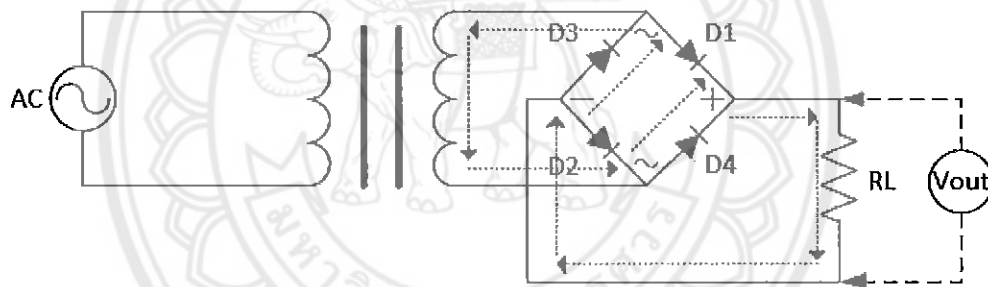
รูปที่ 2.8 รีเลย์ 2 ช่อง (Relay Module 2 Channels)

ที่มา <http://www.dx.com/p/-2channel-5v-relay-module-with-optocouple>

2.4 วงจรเรียงกระแสเติมคลื่นแบบบริดจ์

วงจรเรียงกระแสเติมคลื่นแบบบริดจ์เป็นวงจรที่แก้ไขข้ออ่อนของวงจรเรียงกระแสเติมคลื่น แบบใช้มอแปลงที่มีเซนเตอร์แท็ปซึ่งมีราคาแพง ได้โดยจะนำกระแสครึ่งละด้าว ทำให้ทำงานหนัก ส่วนวงจรเรียงกระแสเติมคลื่นแบบบริดจ์ไม่จำเป็นต้องใช้มอแปลงเซนเตอร์แท็ป ทำให้ประหยัดขึ้นและได้โดยจะนำกระแสครึ่งละสองด้าว ทำให้ได้โอดทนแรงดันสูงขึ้น เอ้าท์พุตของวงจรตลอดจนรู้ปร่างจะมีลักษณะเหมือนกับวงจรเรียงกระแสเติมคลื่นทุกอย่าง

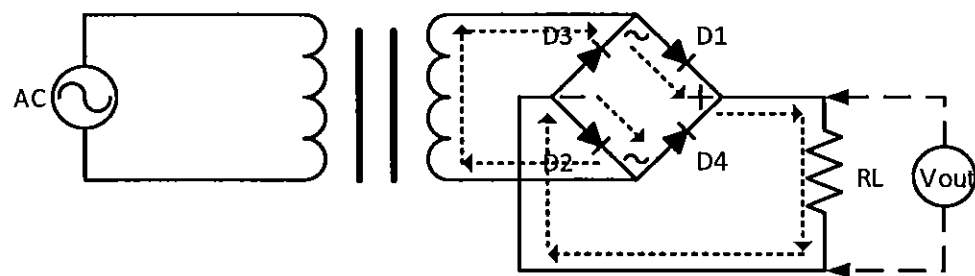
วงจรเรียงกระแสเติมคลื่นแบบบริดจ์ มีลักษณะเหมือนวงจรเรียงกระแสแบบเติมคลื่น เพราะแรงดันเอ้าท์พุตที่ได้เป็นแบบเติมคลื่น ข้อแตกต่างระหว่างการเรียงกระแสเติมคลื่นแบบบริดจ์ และแบบเติมคลื่นธรรมชาติ คือ การต่อวงจร ได้โดยแบบเติมคลื่นจะใช้ไดโอดสองตัว แบบบริดจ์จะใช้ไดโอดสี่ตัว และมอแปลงไฟฟ้าที่ใช้ก็แตกต่างกัน แบบเติมคลื่นธรรมชาติใช้มอแปลงนี้เท่านั้น ประกอบด้วยสามขั้วแบบบริดจ์ ใช้มอแปลงสองขั้ว หรือสามขั้ว ก็ได้ แสดงดังรูปที่ 2.9



รูปที่ 2.9 วงจรเรียงกระแสเติมคลื่นแบบบริดจ์

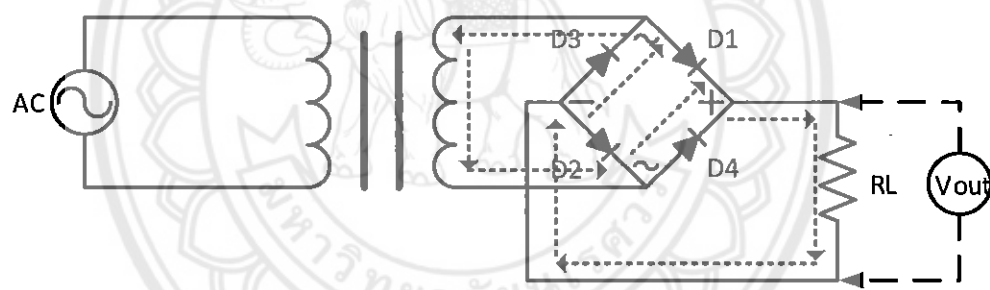
2.4.1 การทำงานของวงจรเรียงกระแสเติมคลื่นแบบบริดจ์

การทำงานของวงจร ไดโอดจะผลักกันนำกระแสครึ่งละสองด้าว โดยเมื่อใช้เกลียวของแรงดันไฟสลับ ปรากฏที่ด้านบนของคุณสมบัติภูมิของมอแปลงและด้านล่างจะเป็นลบ จะทำให้ไดโอด D1 และ D2 ได้รับไบอสตรงจะมีกระแสไหลผ่านไดโอด D1 ผ่านโหลด RL ผ่านไดโอด D2 คร่าวงจรที่มอแปลงด้านล่าง มีแรงดันตกคร่อมโหลด RL ด้านบนเป็นบวก ด้านล่างเป็นลบ ได้แรงดันไฟช่วงบวกออกทางเอ้าท์พุต ดังรูปที่ 2.10

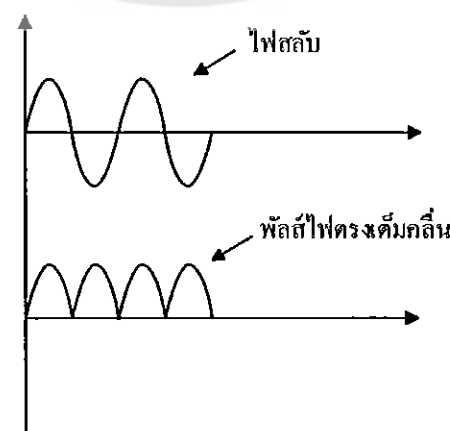


รูปที่ 2.10 ไอดiod D1 และ D2 ได้รับไบอสตรง

ในช่วงเวลาต่อมาใช้เกลล์บนของแรงดันไฟฟ้าบวก ปรากฏที่ด้านบนของคทุคิญมิของหน้า
แบลง และด้านล่างเป็นบวก ดังแสดงในรูปที่ 2.11 ในช่วงเวลาที่ไอดiod D1 และ D2 จะได้รับไบอส
กลับแต่ไอดiod D3 และ D4 จะได้รับไบอสตรง ทำให้มีกระแสไหลผ่านไอดiod D4 ผ่านโหลด RL
และผ่านไอดiod D3 ครบวงจรที่หน้าแบลงด้านบน มีแรงดันตกคร่อมโหลด RL ด้านบนเป็นบวก
ด้านล่างเป็นลบ ไอดiod D3 และ D4 ได้แรงดันไฟฟ้าช่วงบวกออกทางเอาท์พุต ทำให้ได้คลื่นไฟฟาระหว่างกันเดียวกันดังรูปที่
2.12



รูปที่ 2.11 ไอดiod D3 และ D4 ได้รับไบอสตรง

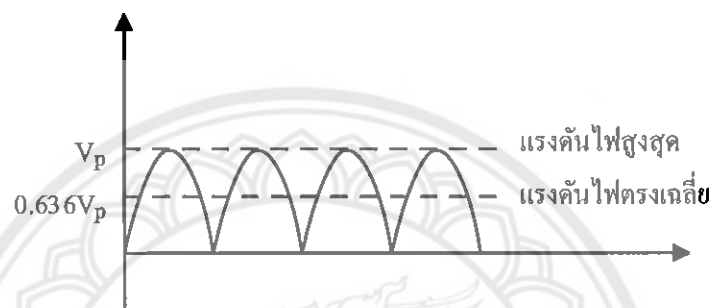


รูปที่ 2.12 รูปคลื่น(V_{out})เปรียบเทียบกับ(V_{in})ของวงจรเรียงกระแสแบบบริดจ์

2.4.2 แรงดันเอาท์พุตของวงจร

วงจรเรียงกระแสเติมคลื่นทั้งแบบมีเทปกลางและแบบบริดจ์จะให้แรงดันเอาท์พุตทุกๆ ครึ่ง รอบของแรงดันไฟฟ้าลับที่เข้ามาทั้งค้านบวกและค้านลบ ค่าเฉลี่ยของแรงดันเอาท์พุตจึงมีค่าเป็น 2 เท่าของ แรงดันไฟฟ้าร่องรอยที่ได้จากการเรียงกระแสแบบครึ่งคลื่น ค่าแรงดันเอาท์พุต (V_{rms}) มีค่าเป็น 0.636 เท่าของแรงดันไฟฟ้าสูงสุด (V_p) ดังสมการที่ 2.1

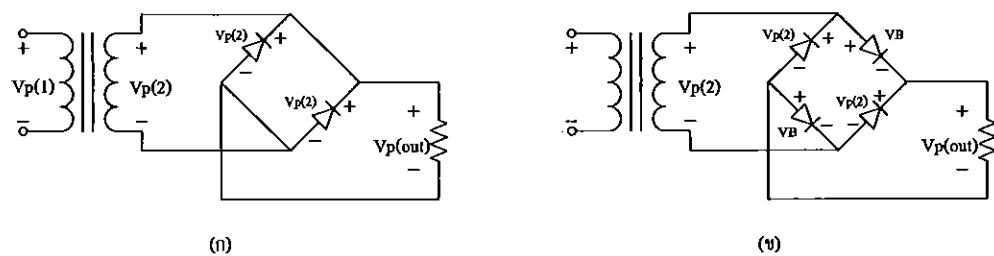
$$V_{rms} = 0.636V_p \quad (2.1)$$



รูปที่ 2.13 แรงดันไฟฟาร่องรอยที่เกี่ยวกับแรงดันไฟฟ้าสูงสุด (V_p) ของวงจรเรียงกระแสแบบเติมคลื่น

2.4.3 แรงดันสูงสุดต้านกลับ (Peak Inverse Voltage)

วงจรเรียงกระแสเติมคลื่นแบบบริดจ์จะมีค่าแรงดันสูงสุดต้านกลับ น้อยกว่าวงจรเรียงกระแสเติมคลื่นที่ใช้หน้อแปลงมีเทปครึ่งหนึ่ง เมื่อพิจารณาจากในรูปที่ 2.14 (ก) เมื่อไฉდ D1 และ D2 นำกระแส ไฉด D1 และ D2 จะทำหน้าที่เหมือนสวิตซ์ปิดวงจร (ถ้าไม่มีคิดแรงดันตกคร่อม ไฉดโอด) จะเห็นว่า แรงดันสูงสุดต้านกลับที่ตกคร่อมไฉด D3 และ D4 ที่ได้รับไปอสักลับจะมีค่าเท่ากับแรงดันพีค

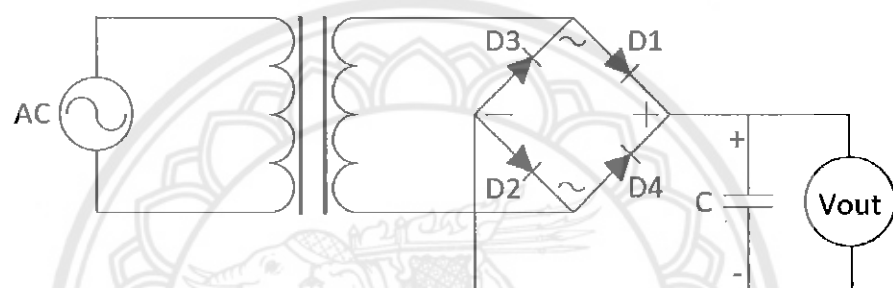


รูปที่ 2.14 แรงดันสูงสุดต้านกลับที่เกิดกับวงจรเรียงกระแสเติมคลื่นแบบบริดจ์

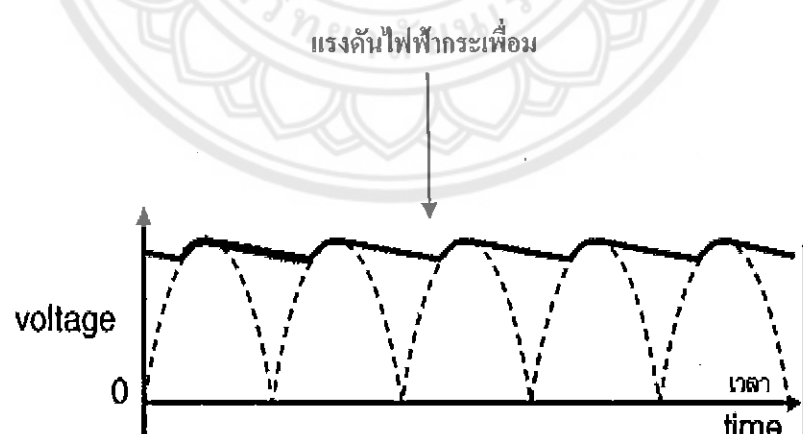
ในทำนองเดียวกันเมื่อพิจารณาค่าแรงดันตกคร่อมไคโอดขณะที่ไดโอด D1 และ D2 นำกระแส (VB) ดังรูปที่ 2.14 (ข) จะเห็นว่าแรงดันสูงสุดต้านกลับ (PIV) ที่เกิดกับไดโอด D3 และ D4 จะสามารถหาได้ดังสมการ 2.2 โดยค่า $V_p(out)$ คือแรงดันสูงสุดทางด้านออก

$$PIV = V_p(out) + VB \quad (2.2)$$

เช่นเดียวกัน ถ้าหากต้องการใช้ไฟตรงที่เรียกกระแสออกนาเรียบขึ้นเราก็ต้องใช้ตัวเก็บประจุค่อนามากๆ เพื่อทำหน้าที่เป็นวงจรกรอง โดยมีลักษณะการต่อวงจร ดังรูปที่ 2.15 ยิ่งตัวเก็บประจุมีค่ามากการพยายามประจุที่ต้องใช้เวลานาน จึงทำให้ไฟฟ้ากระแสตรงที่ออกนาเรียบที่สุด ดังรูปที่ 2.16



รูปที่ 2.15 วงจรเรียงกระแสเติมคลื่นแบบบริดจ์ เมื่อต่อตัวเก็บประจุ



รูปที่ 2.16 แรงดันไฟฟ้าเอาท์พุตของวงจรเรียงกระแสเติมคลื่นแบบบริดจ์ เมื่อต่อตัวเก็บประจุ

2.5 วงจรทบระดับแรงดันไฟฟ้าหรือวงจรบูสต์ค่อนเวอร์เตอร์

วงจรทบระดับแรงดันไฟฟ้าคือวงจรที่ทำการเพิ่มระดับแรงดันไฟฟ้าด้านออกให้สูงกว่าแรงดันไฟฟ้าด้านเข้า ที่เรียกว่างจรบูสต์ค่อนเวอร์เตอร์ (boost converter) ซึ่งมีคุณสมบัติที่สำคัญคือ สามารถเพิ่มระดับแรงดันไฟฟ้าด้านออกสูงกว่าแรงดันไฟฟ้าด้านเข้าได้

2.5.1 เรื่องไขการทำงานของวงจรบูสต์ค่อนเวอร์เตอร์

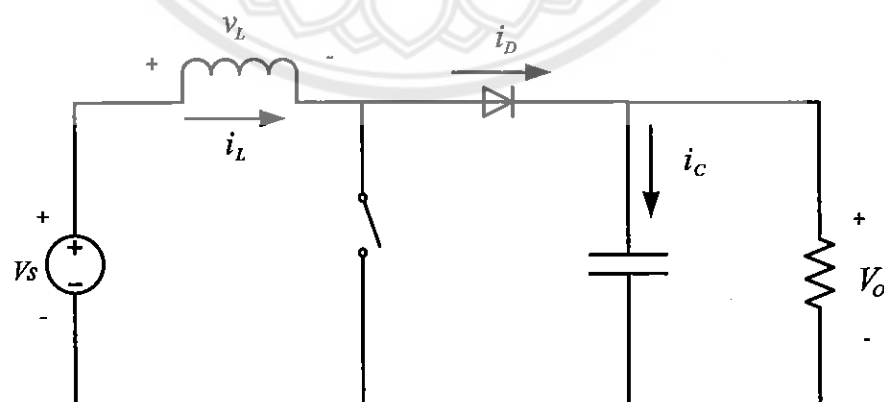
การวิเคราะห์การทำงานของวงจรบูสต์ค่อนเวอร์เตอร์ในช่วงสภาวะอยู่ตัว จะมีการกำหนดเงื่อนไขในการทำงานของวงจรบูสต์ค่อนเวอร์เตอร์ เช่นเดียวกับวงจรบีก้อนเวอร์เตอร์ เพื่อให้ง่ายต่อการวิเคราะห์ดังนี้

1) กระแสไฟฟ้าที่ไหลผ่านตัวเหนี่ยวนำ ตำแหน่งเดียวกันในแต่ละคาบ จะมีค่าเท่ากัน และมีค่านาวากเสมอ

2) แรงดันไฟฟ้าเฉลี่ยต่อกรุ่มตัวเหนี่ยวนำในแต่ละคาบจะเท่ากับศูนย์ หมายถึงผลรวมของผลลัพธ์ระหว่างแรงดันไฟฟ้าต่อกรุ่มตัวเหนี่ยวน้ำกับเวลา ในแต่ละคาบจะเท่ากับศูนย์

3) ตัวเก็บประจุมีขนาดใหญ่ทำให้แรงดันไฟฟ้าด้านออกมีค่าคงที่

4) กำลังไฟฟ้าด้านเข้าเท่ากับกำลังไฟฟ้าด้านออก กรณีนี้ไม่คำนึงถึงการสูญเสียเนื่องจากการทำงานของวงจร โดยกำหนดให้อุปกรณ์ทุกด้านเป็นอุดมคติ ทำให้สามารถสรุปได้ว่าประสิทธิภาพของวงจรเป็นหนึ่งร้อยเปอร์เซ็นต์



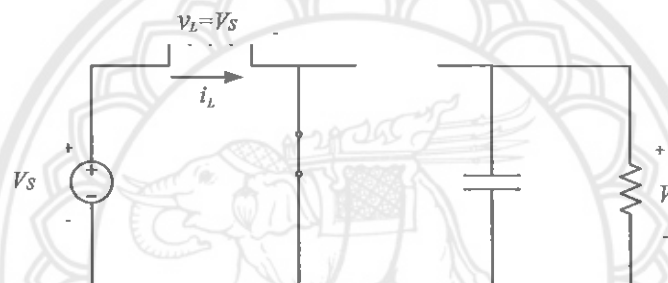
รูปที่ 2.17 วงจรบูสต์ค่อนเวอร์เตอร์ (Boost Converter)

2.5.2 หลักการทำงานของจรณูสต์ค่อนัวอร์เตอร์

หลักการทำงานของจรณูสต์ค่อนัวอร์เตอร์เพื่อให้ได้แรงดันไฟฟ้าด้านออกตามต้องการ จะเริ่มด้นจากข้อกำหนดที่ว่า แรงดันไฟฟ้าเฉลี่ยที่ตอกคร่อมตัวเหนี่ยวนำในแต่ละเวลาจะเท่ากับ ศูนย์ และสามารถหากระแสไฟฟ้าที่ไหลผ่านตัวเหนี่ยวนำได้โดยวิเคราะห์การทำงานของสวิตช์ในแต่ละโหมด ทั้งนี้การทำงานต้องอยู่ในช่วงสภาวะอยู่ตัวดังนี้

2.5.2.1 ขณะนำกระแส

จากรูปที่ 2.17 กระแสไฟฟ้าจากแหล่งจ่ายไฟฟ้ากระแสตรงจะไหลผ่านตัวเหนี่ยวนำ โดยผ่านสวิตช์ ขณะเดียวกันได้ออดจะถูกนำไปอัสข้อนกลับทำให้ไม่สามารถนำกระแสได้ดังแสดงในรูปที่ 2.18 จากกฎของเกอเรซอฟฟ์จะได้สมการของแรงดันไฟฟ้าดังนี้



รูปที่ 2.18 วงจรสมมูลเมื่อสวิตช์นำกระแส

$$-V_s + V_L = 0 \quad (2.3)$$

$$V_L = V_s = L \frac{di_L}{dt} \quad (2.4)$$

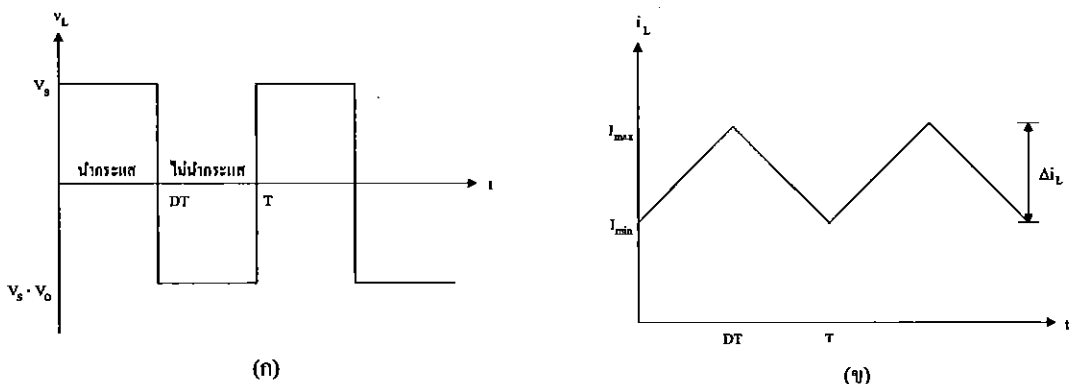
$$\frac{di_L}{dt} = \frac{V_s}{L}$$

โดยที่ V_s คือ แรงดันจากแหล่งกำเนิด, V_L คือ แรงดันที่ตอกคร่อมตัวเหนี่ยวนำ, L คือ ค่าของขดลวดเหนี่ยวนำ ในขณะที่สวิตช์นำกระแส $dt = DT$ เมื่ออัตราการเปลี่ยนแปลงของกระแสคงที่ อาจจะถือว่าการเพิ่มของกระแสไฟฟ้าเป็นเชิงเส้น ทำให้สามารถคำนวณได้จาก

$$\frac{\Delta i_L}{\Delta t} = \frac{\Delta i_L}{DT} = \frac{V_s}{L} \quad (2.5)$$

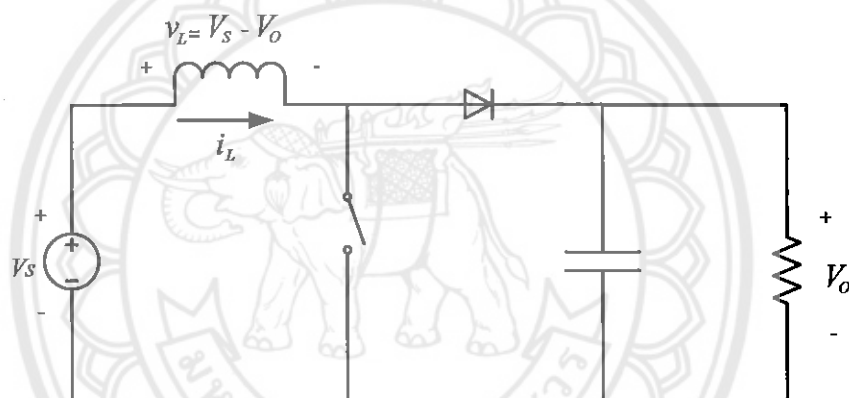
$$\Delta i_{L, on} = \frac{V_s DT}{L} \quad (2.6)$$

โดยที่ $\Delta i_{L, on}$ คือ อัตราการเปลี่ยนแปลงของกระแสไฟฟ้าในตัวเหนี่ยวนำขณะสวิตช์นำกระแส
 Δi_L คือ อัตราการเปลี่ยนแปลงของกระแสไฟฟ้าในตัวเหนี่ยวนำ
 Δt คือ อัตราการเปลี่ยนแปลงของช่วงเวลา



รูปที่ 2.19 (ก) แรงดันไฟฟ้าที่ตอกคร่อมตัวเห็นยวน้ำ (ข) กระแสที่ไหลผ่านตัวเห็นยวน้ำ

2.5.2.2 ขณะสวิตช์ไม่นำกระแส



รูปที่ 2.20 วงจรสมมุติเมื่อสวิตช์ไม่นำกระแส

เมื่อสวิตช์ไม่นำกระแส กระแสไฟฟ้าในตัวเห็นยวน้ำจะเปลี่ยนแปลงทันทีทันใดไม่ได้ ได้โดยจะถูกใบอัลสไปหน้าให้นำกระแส ทำให้กระแสไฟฟ้าไหลผ่านตัวเห็นยวน้ำอย่างต่อเนื่อง สมมุติแรงดันไฟฟ้าที่ค้านออกมีค่าคงที่ จากกฎของเควอร์ชอฟฟ์จะได้สมการของแรงดันไฟฟ้าที่ตอกคร่อมตัวเห็นยวน้ำดังนี้ โดย V_o คือ ค่าแรงดันไฟฟ้าทางด้านเอาท์พุต

$$-V_s + v_L + V_o = 0 \quad (2.7)$$

$$v_L = V_s - V_o$$

$$v_L = L \frac{di_L}{dt}$$

$$\frac{di_L}{dt} = \frac{V_s - V_o}{L} \quad (2.8)$$

ขณะสวิตซ์ไม่นำกระแส $dt = (1 - D)T$ อัตราการเปลี่ยนแปลงของกระแสไฟฟ้าที่ไอล์ฟ่าตัวหนึ่งนำมีค่าคงที่ โดยที่ D คือค่าดิจิตไซเคิล และ T คือความเวลา โดยจะถือว่าการลดลงของกระแสเป็นเชิงเส้นดังรูปที่ 2.19 (ข) ทำให้สามารถคำนวณได้จาก

$$\Delta i_{L,off} = \left(\frac{V_s - V_o}{L} \right) (1 - D) T \quad (2.9)$$

ที่สภาวะอยู่ตัว การเปลี่ยนแปลงของกระแสไฟฟ้าที่ไอล์ฟ่าตัวหนึ่งนำมีสูตรมีค่าเท่ากับคูณจากสมการที่ (2.6) และสมการที่ (2.9) จะได้ว่า

$$\Delta i_{L,on} + \Delta i_{L,off} = 0 \quad (2.10)$$

$$\left(\frac{V_s}{L} \right) + \frac{(V_s - V_o)(1 - D)}{L} = 0$$

$$V_s D + (V_s - V_o)(1 - D) = 0$$

$$V_s D + V_s - V_s D - V_o + V_o D = 0$$

$$V_s - V_o (1 - D) = 0$$

$$\frac{V_o}{V_s} = \frac{1}{1 - D} \quad (2.11)$$

จากการหาความสัมพันธ์ของอัตราส่วนแรงดันด้านออกต่อแรงดันไฟฟ้าด้านเข้าที่เรียกว่า อัตราการขยายแรงดัน (V_o/V_s) สามารถหาได้โดยวิธีง่ายๆ โดยใช้สมการแรงดันไฟฟ้าเฉลี่ยตกคร่อมตัวหนึ่งนำในแต่ละ cabin ซึ่งมีค่าเท่ากับคูณ และได้ผลเท่าเดียวกับสมการที่ (2.11) ดังนี้

$$V_{L,av} = V_{L,on}(t_{on}) + V_{L,off}(t_{off}) = 0 \quad (2.12)$$

จากสมการที่ (2.4)

$$V_{L,on} = V_s$$

และจากสมการที่ (2.8)

$$V_{L,off} = V_s - V_o$$

$$V_{L,av} = (V_s)(t_{on}) + (V_s - V_o)(t_{off}) = 0$$

$$(V_s)(DT) + (V_s - V_o)(1 - D)T = 0$$

$$V_s D + (V_s - V_o)(1 - D) = 0$$

$$V_s D + V_s - V_s D - V_o + V_o D = 0$$

$$V_s - V_o (1 - D) = 0$$

$$\frac{V_o}{V_s} = \frac{1}{1-D} \quad (2.13)$$

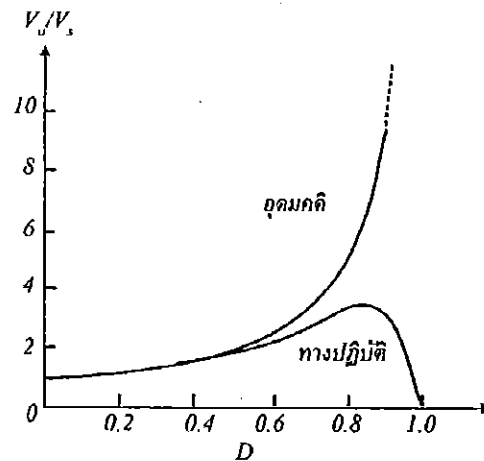
- โดยค่า $V_{L_{no}}$ คือ แรงดันที่ตอกคร่อมชุดลวดเหนี่ยวนำขณะสวิตช์นำกระแส
 $V_{L_{off}}$ คือ แรงดันที่ตอกคร่อมชุดลวดเหนี่ยวนำขณะสวิตช์ไม่นำกระแส
 $V_{L_{av}}$ คือ แรงดันเฉลี่ยที่ตอกคร่อมด้วยเหนี่ยวนำ
 t_{on} คือ ระยะเวลาขณะสวิตช์นำกระแส
 t_{off} คือ ระยะเวลาขณะสวิตช์ไม่นำกระแส

การได้มาซึ่งสมการอัตราส่วนของแรงดันไฟฟ้าด้านออกต่อแรงดันไฟฟ้าด้านเข้า จากสมการที่ (2.11) หรือ (2.13) แท้จริงแล้วมีหลักการทำงานอันเดียวกัน ทำให้สามารถคำนวณค่าอัตราส่วนของแรงดันด้านออกต่อแรงดันไฟฟ้าด้านเข้าได้จากการปรับค่า D ดังแสดงในตารางที่ 2.1

ตารางที่ 2.1 อัตราขยายแรงดันของวงจรบูสต์คอนเวอร์เตอร์เมื่อมีการปรับเปลี่ยนค่า D

Duty ratio (D)	อัตราขยายแรงดัน (Voltage gain) (V_o/V_s)
0.0	1.00
0.1	1.10
0.2	1.25
0.3	1.43
0.4	1.67
0.5	2.00
0.6	2.50
0.7	3.33
0.8	5
0.9	10
1.0	infinity

จากราฟความสัมพันธ์ในรูปที่ 2.21 เมื่อค่า D เพิ่มขึ้นค่าอัตราขยายแรงดันไฟฟ้าจะเพิ่มขึ้นแบบไม่เชิงเส้น ในทางปฏิบัตินิยมปรับอัตราขยายแรงดันไฟฟ้าไม่เกิน 4 เท่าทั้งนี้เพื่อให้วงจร มีความเสถียรภาพ โดยอัตราการขยายแรงดันไฟฟ้าขึ้นต่ำสุดคือ หนึ่งหรือแรงดันไฟฟ้าด้านออกเท่ากับแรงดันไฟฟ้าด้านเข้าตามทฤษฎี แต่ในทางปฏิบัติแรงดันไฟฟ้าด้านออกจะมีค่าน้อยกว่า แรงดันไฟฟ้าด้านเข้าเล็กน้อย เนื่องจากมีแรงดันไฟฟ้าตอกคร่อมໄດ้โอดและตัวอุปกรณ์สวิตช์



รูปที่ 2.21 ความสัมพันธ์ระหว่างอัตราการขยายแรงดันกับ D

(รศ.ดร.วีระเชษฐ์ ขันเงิน และดร.วุฒิพล ราษฎร์ศรีเมธี, 2557)

2.5.3 คุณสมบัติของกรณีกระแสต่อเนื่อง

กระแสไฟฟ้าผ่านตัวหนีบวนนำ (i_L) จะต่อเนื่อง เมื่อ $L > \frac{D(1-D)^2 R}{2f_s}$ ลักษณะรูปคลื่น

แสดงดังรูปที่ 2.22

ขณะช่วงนำกระแส (T_m)

$$V_L = V_S$$

ความชัน(Slope) ของกระแส

$$i_L = \frac{\Delta I_L}{\Delta t} = \frac{-V_L}{L} = \frac{V_S}{L}$$

ขณะช่วงไม่นำกระแส (T_{off})

$$V_S - V_O = -(V_O - V_S)$$

ความชัน(Slope) ของกระแส

$$i_L = \frac{\Delta I_L}{\Delta t} = \frac{V_L}{L}$$

โดยค่า L คือ ค่าของขดลวดเหนี่ยวนำ

R คือ ค่าความต้านทานภายในของโหลด

f_s คือ ค่าของความถี่ในการเปิดและปิดของสวิตช์

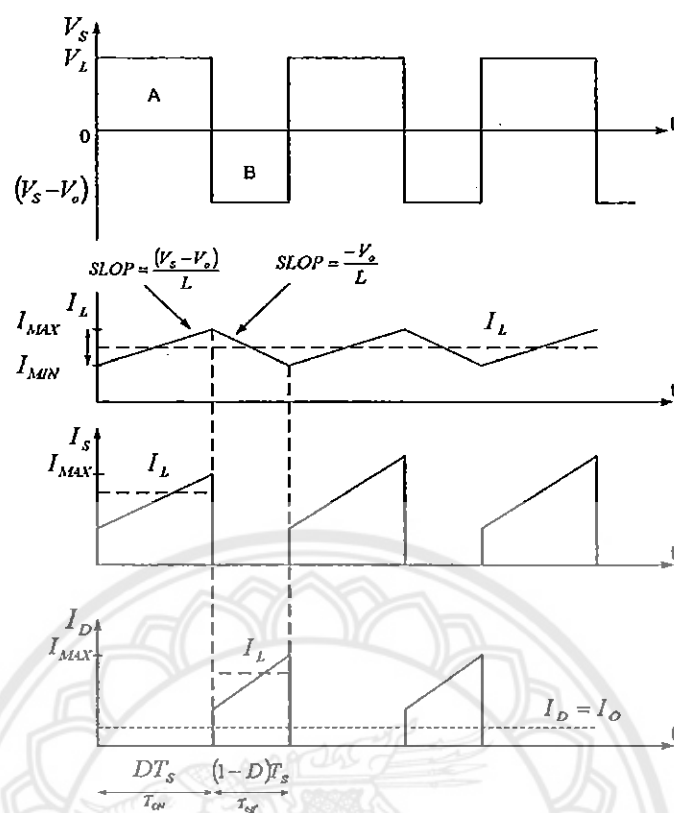
ΔI_L คือ อัตราการเปลี่ยนแปลงของกระแสไฟฟ้าในตัวหนีบวนนำ

V_o คือ ค่าแรงดันไฟฟ้าทางด้านอาทิตย์

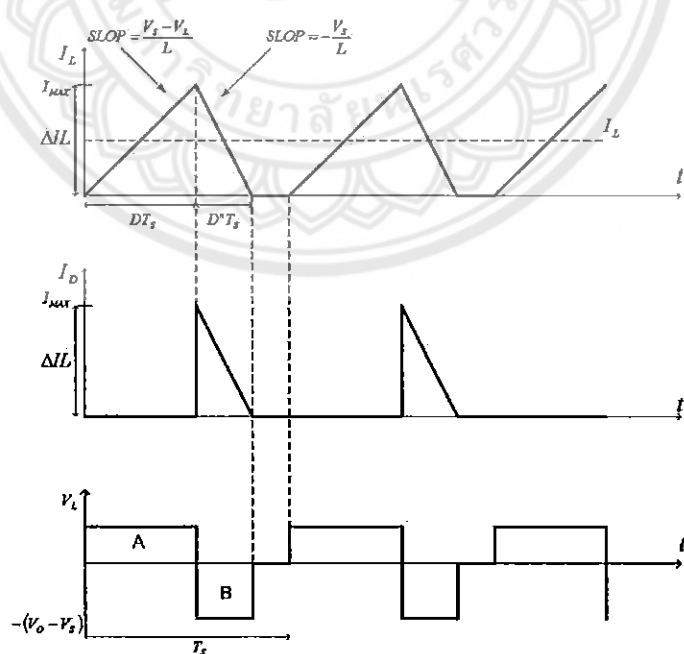
2.5.4 คุณสมบัติของกรณีกระแสไม่ต่อเนื่อง

วงจรทบทรัคคันแรงดันไฟฟ้าจะทำงานเป็นแบบกระแสไม่ต่อเนื่อง เมื่อ $L < \frac{D(1-D)^2 R}{2f_s}$

มีลักษณะดังรูปที่ 2.23



รูปที่ 2.22 กราฟกระแสที่ไอล์ฟ่านตัวเหนี่ยวนำต่อเนื่อง
(รศ.ดร.วีระเชษฐ์ ขันเงิน และดร.วุฒิพลด ชาราชีรเศรษฐ์, 2557)



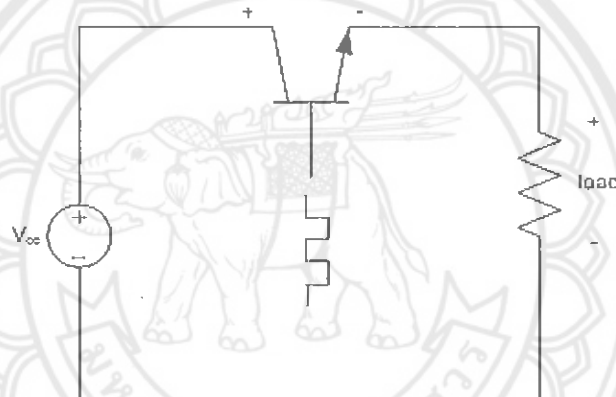
รูปที่ 2.23 กราฟกระแสที่ไอล์ฟ่านตัวเหนี่ยวไม่มีต่อเนื่อง
(รศ.ดร.วีระเชษฐ์ ขันเงิน และดร.วุฒิพลด ชาราชีรเศรษฐ์, 2557)

2.6 วงจรชดเปอร์

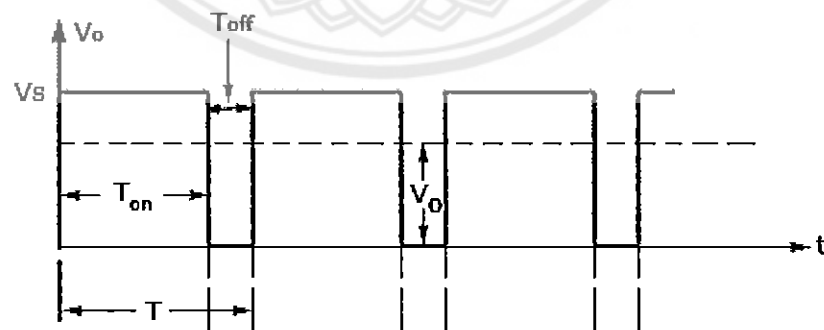
เป็นวงจรที่ทำหน้าที่เปลี่ยนแรงดันไฟฟ้ากระแสตรง จากแหล่งจ่ายไฟฟ้าที่มีค่าคงที่ ให้ได้แรงดันเอาท์พุตกระแสตรง ที่สามารถปรับค่าได้ตามที่ต้องการ โดยใช้หลักการ เปิด และปิด อิเล็กทรอนิกส์สวิตซ์การเปิด และปิด อิเล็กทรอนิกส์สวิตซ์มีวิธีการ 2 แบบคือ

1) Constant – frequency เป็นวงจรชดเปอร์ที่ควบคุมให้ความเวลาคงที่ แล้วปรับเวลาเปิด การควบคุมในลักษณะนี้เรียกว่า ความกว้างพัลส์

2) Variable - frequency เป็นวงจรชดเปอร์ที่ปรับความเวลา โดยการปรับเวลาเปิด หรือเวลาปิด การควบคุมแบบนี้เรียกว่า การมอւเลชั่นทางความถี่ แต่เนื่องจากการควบคุมในลักษณะนี้ ความถี่มีการเปลี่ยนแปลงในย่านกว้างทำให้ยากในการกรอง



รูปที่ 2.24 วงจรชดเปอร์

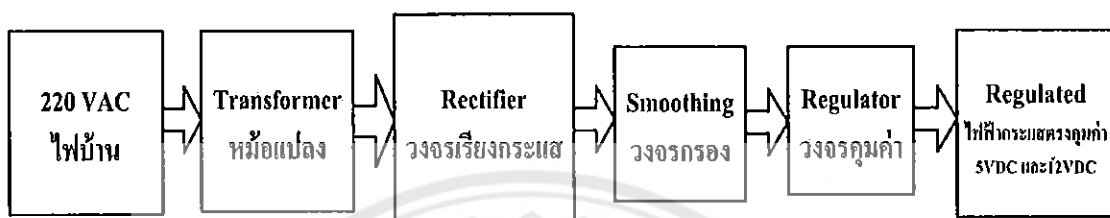


รูปที่ 2.25 รูปสัญญาณแรงดันวงจรชดเปอร์

ที่มา <http://www.circuitstoday.com/wp-content/uploads/2012/01/Output-Voltage-and-Current-Waveforms.jpg>

2.7 วงจรจ่ายแรงดันไฟฟ้ากระแสสลับ

วงจรจ่ายแรงดันไฟฟ้า (DC Power Supply) คือ ชนิดของแหล่งจ่ายไฟ แหล่งจ่ายไฟมีหลายชนิด ส่วนใหญ่ออกแบบเพื่อแปลงไฟบ้านซึ่งมีแรงดันสูง (ไฟฟ้ากระแสสลับ 220 โวลต์) ให้ได้แรงดันไฟฟ้าต่ำ (ไฟฟ้ากระแสสลับ) ที่เหมาะสมใช้กับวงจรอิเล็กทรอนิกส์หรืออุปกรณ์อื่น ๆ แหล่งจ่ายไฟสามารถเขียนเป็นลีอคไดอะแกรม ซึ่งแต่ละบล็อกมีหน้าที่เฉพาะต่างกัน ดังรูปที่ 2.26

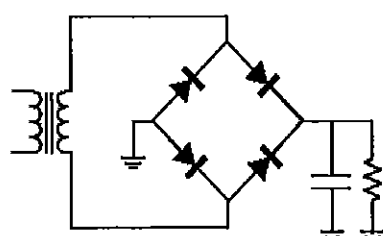


รูปที่ 2.26 บล็อกไดอะแกรมวงจรแหล่งจ่ายไฟฟ้า

จากบล็อกไดอะแกรม พบว่าหม้อแปลงไฟฟ้าทำหน้าที่ปรับระดับแรงดันไฟฟ้า (ไฟบ้าน) ให้ลดลง (step-down) และส่งไปยังวงจรเรียงกระแสแบบบริดจ์ เพื่อเปลี่ยนแรงดันไฟฟ้ากระแสสลับให้เป็นไฟฟ้ากระแสสลับ และผ่านวงจรกรองเพื่อทำให้แรงดันไฟฟ้ากระแสสลับนี้ความเรียบขึ้น จากนั้นส่งไปยังวงจรคุณค่า หรือวงจรเรกเกอร์เลเตอร์เพื่อปรับลด และคุณค่าระดับแรงดันไฟฟ้าเอาท์พุตที่เราต้องการ เช่น 5 โวลต์

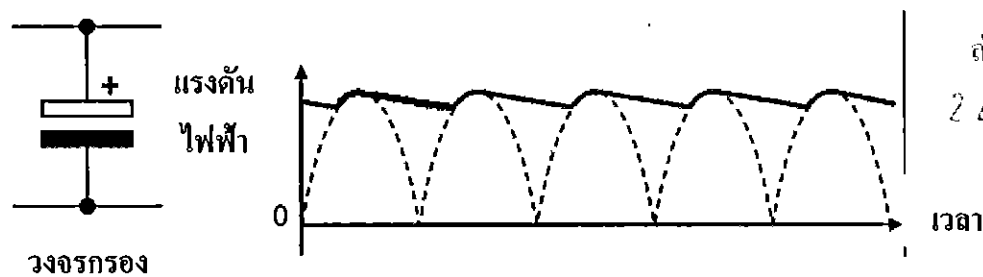
2.7.1 วงจรกรอง

วงจรกรอง (Smoothing) การกรองเกิดขึ้นโดยการต่อ คาปิชิเตอร์ หรือตัวเก็บประจุคู่สูง คู่ร่วมไฟกระแสสลับที่ออกจากวงจรเรียงกระแสแบบบริดจ์ ดังรูปที่ 2.27 ทำหน้าที่เมื่อมันบ่อเก็บน้ำ คือ ป้อนแรงดันไฟฟ้าให้กับเอาท์พุต เมื่อแรงดันไฟฟ้าที่ขาเข้าของวงจรกรองตกคร่อม ดังรูป 2.28 แสดงให้เห็นการตกของแรงดันไฟฟ้ากระแสสลับที่ยังไม่กรอง (เส้นประ) และแรงดันไฟฟ้ากระแสสลับที่กรองแล้ว (เส้นทึบ) ถ้าตัวเก็บประจุมีค่ามาก จะทำให้แรงดันไฟฟ้าตรงทางด้านเอาท์พุต มีความเรียบมากขึ้นไปด้วย



รูปที่ 2.27 วงจรกรอง

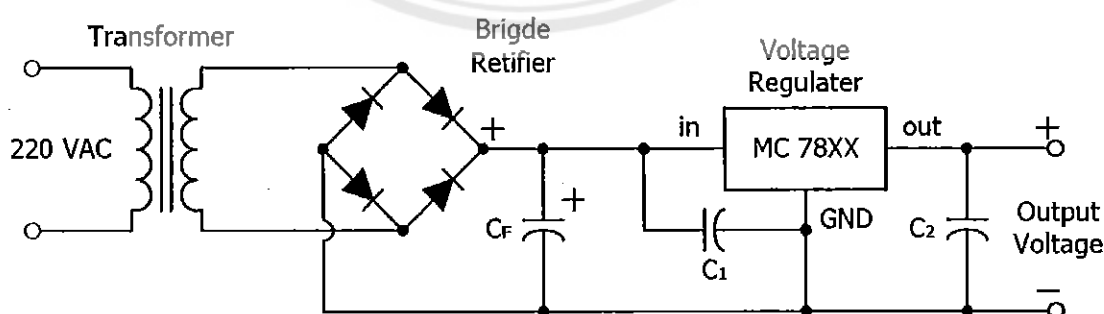
19220261



รูปที่ 2.28 แรงดันไฟฟ้าที่ยังไม่ผ่านการกรอง และผ่านการกรองแล้ว

2.7.2 วงจรคุณค่า

วงจรคุณค่า (Regulator) จะใช้ไอซีคุณค่าแรงดันไฟฟ้า เพื่อทำให้ค่าแรงดันไฟฟ้าเอาท์พุตคงที่ เช่น LM7805 และ LM7812 ทำหน้าที่รักษาระดับแรงดันไฟฟ้า 5 โวลต์ และ 12 โวลต์ ตามลำดับ ไอซีคุณค่าส่วนใหญ่จะมีวงจรการป้องกันอัตโนมัติจาก กระแสเกิน (overload protection) และความร้อนเกิน (thermal protection) ไอซีคุณค่าแรงดันไฟฟ้าแบบคงที่ส่วนมากมี 3 ขา และมีลักษณะคล้ายเพาเวอร์ทรานซิสเตอร์ดังนั้นวงจรคุณค่า หรือวงจรเริกภูเลเตอร์ โดยใช้ไอซีจะรับสัญญาณแรงดันไฟฟ้าอินพุตมาจากการเรียงกระแสแบบบริดจ์ที่ผ่านการกรองแรงดันมาแล้ว โดยวงจรเริกภูเลเตอร์จะทำหน้าที่จ่ายแรงดันไฟฟ้า และรักษาระดับแรงดันให้คงที่ตลอดการใช้งาน วงจรเริกภูเลเตอร์ที่ใช้เป็นไอซี ซึ่งไอซีที่ใช้จะทำหน้าเปล่งแรงดันไฟฟ้าที่ระดับสูง ให้เป็นแรงดันไฟฟ้าที่ระดับต่ำกว่า โดยจะกล่าวถึงการใช้ IC 78xx Series ในวงจรจ่ายแรงดันไฟฟ้า ดังรูปที่ 2.29 ซึ่งเป็นวงจรจ่ายแรงดันไฟฟ้าแบบ Fixed Linear Voltage Regulator คือไม่สามารถเปลี่ยนแรงดันเอาท์พุตได้ (มี Linear Voltage Regulator บางตัวที่สามารถเปลี่ยนค่าแรงดันเอาท์พุตได้)

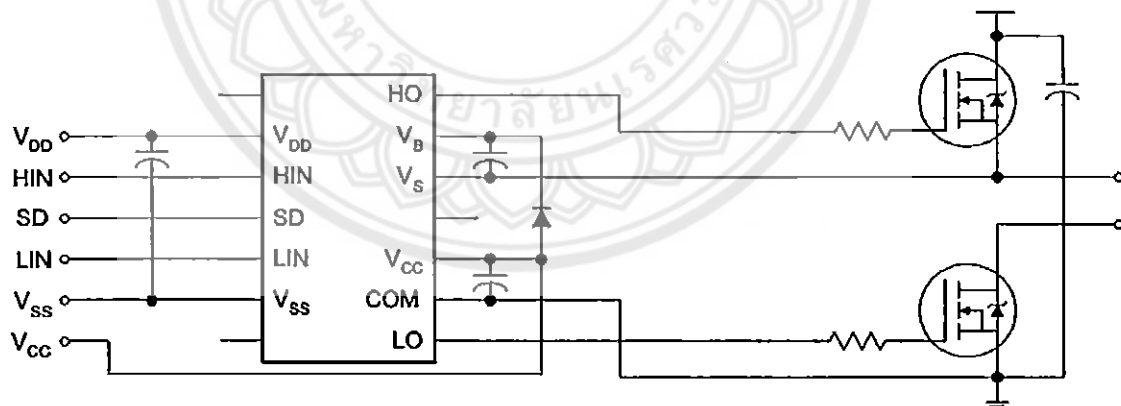


รูปที่ 2.29 วงจรจ่ายแรงดันไฟฟ้าโดยใช้ไอซี

2.8 วงจรขยายสัญญาณพัลส์

อุปกรณ์อิเล็กทรอนิกส์สารกึ่งตัวนำทางชนิด เช่น นอสเฟต ทรานซิสเตอร์ชนิดในโพลาร์ และอุปกรณ์อิเล็กทรอนิกส์สารกึ่งตัวนำชนิดพิเศษอื่น ๆ อีกเป็นจำนวนมากสามารถถูกนำมาใช้งาน เป็นสวิตซ์อิเล็กทรอนิกส์ได้เป็นอย่างดี การนำอุปกรณ์อิเล็กทรอนิกส์เหล่านี้มาใช้งานเพื่อเป็นสวิตซ์ อิเล็กทรอนิกส์ ปกติมักจะมีขั้นส่วนอิเล็กทรอนิกส์อื่นๆ เช่น ตัวต้านทาน และตัวเก็บประจุไฟฟ้ามา ประกอบร่วมกันเป็นวงจรไฟฟ้านี้ด้วย วงจรไฟฟ้านี้ถูกเรียกว่า "วงจรสวิตซ์ชิ่ง" (Switching circuits) ซึ่งผลการทำงานของวงจรสวิตซ์นี้จะทำให้ได้สัญญาณไฟฟ้าซึ่งอาจเป็นกระแสหรือแรงดันก็ได้ที่มี รูปร่างลักษณะเป็นหัวใจ ซึ่งไม่ใช่คลื่นไซน์ (Nonsinusoidal wave) แต่เป็นลักษณะของคลื่นที่มี เหลี่ยมนิมุน โดยที่รูปคลื่นแต่ละช่วงอาจจะซ้ำกันหรือไม่ก็ได้ คลื่นไฟฟ้าดังกล่าวเรียกว่า "พัลส์" (Pulse)

ในการสร้างวงจรสวิตซ์ชิ่ง (Switching circuits) โดยใช้สัญญาณพัลส์ PWM (Pulse Width Modulation) ขนาด 5 โวลต์ จากบอร์ด Arduino UNO R3 เพื่อมาควบคุมการทำงานของเพาเวอร์มอเต ไฟฟ้าในการทำหน้าที่เป็นสวิตซ์ จึงจำเป็นต้องมีวงจรขยายสัญญาณพัลส์ให้มีขนาดเพิ่มขึ้น ซึ่ง โดยทั่วไปการสวิตซ์ชิ่งมอสเฟตให้สามารถทำงาน จะต้องให้แรงดันที่ขาเกต (GATE) สูงกว่าแรงดัน ที่ขาซอร์ส (SOURCE) ประมาณ 10-15 โวลต์ ดังนั้นจึงใช้ไอซีเบอร์ IR 2110 ในการขยายสัญญาณ พัลส์ วงจรขยายสัญญาณพัลส์ดังรูปที่ 2.30



รูปที่ 2.30 วงจรขยายสัญญาณพัลส์ (IR2110)

ที่มา http://images.elektroda.net/12_1158303218.gif

2.9 เนื้อสัตว์

เนื้อสัตว์ประกอบด้วยน้ำและโปรตีนเป็นส่วนใหญ่ และโดยปกติกินร่วมกับอาหารอย่างอื่น เนื้อสัตวนั้นกินดิบ ๆ ได้แต่ปกติจะกินสุกและสามารถปรุงรสได้หลายวิธี หากไม่ผ่านการปรุงรูป เนื้อสัตว์จะเน่าในเวลาไม่ถึงวัน การเน่าเสียของเนื้อสัตวนั้นเกิดจากการติดเชื้ออันมีอาจหลักเดี่ยงได้ และจากการย่อยสลายโดยแบคทีเรียและฟังไง ซึ่งอาจมาจากตัวเนื้อสัตว์เอง มากตามนุญช์ จัดการกับเนื้อสัตว์ และจากกระบวนการปรุงอาหาร การบริโภคน้ำสัตวนั้นมีหลากหลายทั่วโลก ขึ้นอยู่กับวัฒนธรรม หรือศาสนา หรือสถานะทางเศรษฐกิจ ผู้กินมังสวิรัติเลือกไม่กินเนื้อ ด้วยเหตุผลด้านจริยธรรม สิ่งแวดล้อม ศาสนาหรือสุขภาพ ซึ่งสัมพันธ์กับการผลิตและบริโภคน้ำสัตว์ โดยส่วนใหญ่ เนื้อสัตว์หมายถึงกล้ามเนื้อโครงร่างและไขมันและเนื้อเยื่ออื่น ๆ ที่เกี่ยวข้อง แต่อาจหมายถึงเนื้อเยื่อที่กินได้ เช่น เครื่องในสัตว์ ในทางกลับกัน เนื้อสัตว์ บางครั้งใช้เรียกอย่างจำกัด คือหมายถึงเพียงเนื้อของสัตว์เลี้ยงสุกด้วยน้ำ (หมู, ปศุสัตว์, แกะ, ฯลฯ) ที่ถูกเลี้ยงคุณและเตรียมไว้ให้มนุษย์บริโภค แต่ไม่รวมถึงปลา สัตว์ทะเลต่าง ๆ สัตว์ปีก หรือสัตว์ชนิดอื่น ๆ

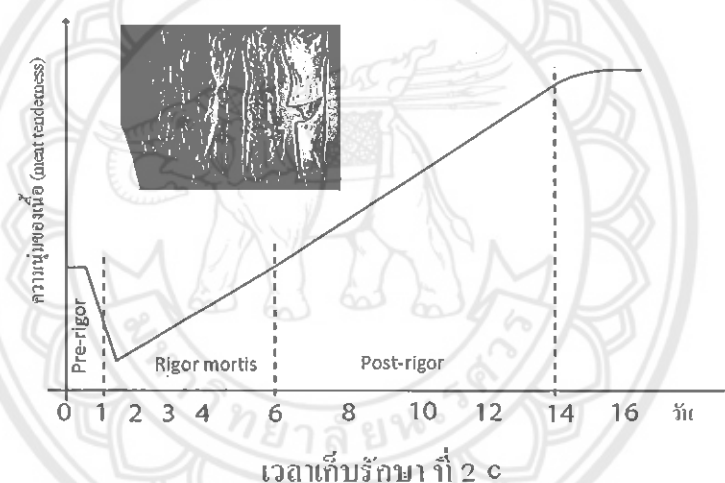
2.9.1 การเปลี่ยนแปลงของเนื้อสัตว์หลังการฆ่า

การเปลี่ยนแปลงของเนื้อสัตว์หลังการฆ่า สัตว์หลังการฆ่า มีปริมาณออกซิเจนที่หล่อเลี้ยงเซลล์เนื้อเยื่อจะค่อยๆ ลดลง จนหมดไปในที่สุด แต่เซลล์ยังคงมีชีวิตและพยายามที่จะคงความมีชีวิตไว้ด้วยกระบวนการเมแทบอลิซึมแบบไม่ใช้ออกซิเจน ทำให้เนื้อสัตว์มีการเปลี่ยนแปลงอย่างต่อเนื่อง ทั้งจากการทางชีวเคมีของสัตว์เองและจากภูมิคุ้มกันที่รักษาการทำงานของกล้ามเนื้อสัตว์หลังจากการฆ่า มีดังนี้

2.9.1.1 การเกร็งตัวของกล้ามเนื้อ (rigor mortis)

กล้ามเนื้อของสัตว์จะมีชีวิตจนนุ่ม ยืดหยุ่น เคลื่อนไหวได้ แต่เมื่อสัตว์ตายแล้ว จะหยุดหายใจและหัวใจ停搏 ร่างกายจะเกร็ง แข็งและเหนียว เรียกว่า ระยะเกร็ง หรือ ริกอร์มอร์ติส (rigor mortis) เกิดจาก การหดตัวในระดับโมเลกุลของโปรตีนเส้นใยกล้ามเนื้อ (myofibril) เนื่องจากการเคลื่อนที่เข้ามายังตัวกันของโปรตีนแอกติน (actin) และในโอะซิน (myosin) เป็นแอคโตไมโอะซิน ขณะที่สัตว์มีชีวิตอยู่ การจับตัวกันของแอกตินและไมโอะซิน จะถูกตัวได้ เนื่องจากมีพลังงาน ATP จากการหายใจที่ให้กล้ามเนื้อยืดหยุ่นและเคลื่อนไหวได้ เมื่อสัตว์ตาย เซลล์กล้ามเนื้อขาดพลังงานจากการหายใจ แอกตินกับไมโอะซินที่เลื่อนเข้ามาหากัน จะจับกันล็อกแน่น ทำให้กล้ามเนื้อหดตัว แต่ถ้าหากตัวไม่ได้เนื่องจากขาด ATP ทำให้ขาดสัตว์เกร็ง แข็งทื่อ อาการนี้จะเป็นอยู่ระยะเวลาหลังจากที่สัตว์ตาย สัตว์ที่มีขนาดใหญ่ เช่น วัว ควาย หมู จะมีระยะเวลา rigor mortis นานกว่าสัตว์เล็ก เช่น ชากโภค มีระยะเวลาประมาณ 24 ชั่วโมง ชากรหมูมีระยะเวลาประมาณ 10 ชั่วโมง ชากรแกะประมาณ 7-8 ชั่วโมง และชากร

ไก่ใช้เวลาเพียง ประมาณ 2-4 ชั่วโมง เป็นต้น ในระยะ Rigor mortis เป็นระยะที่เนื้อแน่น เหนียว โดยเฉพาะสัตว์ใหญ่ เช่น วัว ไม่เหมาะสมกับนำเนื้อสัตว์ไปปรุงอาหาร ควรรอให้พันธะนี้ไปแล้ว ให้เข้าสู่ หลังระยะเกร็งตัว (post-rigor) ความนุ่มของเนื้อสัตว์ (meat tenderness) เพิ่มขึ้น เนื่องจาก เอนไซม์โปรตีอีส (protease) ที่มีอยู่ในเนื้อสัตว์ย่อย เส้นใยโปรตีนกล้ามเนื้อที่เกร็งตัว รวมทั้ง โปรตีนที่เป็นเนื้อเยื่อเกี่ยวพัน เช่น คอลลาเจนมีผลให้เนื้อมีความนุ่มเพิ่มขึ้น ตามระยะเวลาที่การเก็บ รักษา ชากระดูกขนาดใหญ่ เช่น ชากรโค จึงมีการบ่ม (meal aging) โดยการเก็บชากรหรือก้อนเนื้อไว้ ในห้องเย็นที่อุณหภูมิ ประมาณ 1-4 องศาเซลเซียส และควบคุมความชื้นสัมพัทธ์ ประมาณ 70% ปอร์เช่นต์ เพื่อป้องกันการเพิ่มจำนวนของจุลินทรีย์ ซึ่งเป็นสาเหตุการเสื่อมเสียของเนื้อสัตว์ การบ่ม เนื้อจะใช้เวลา 2-4 สัปดาห์ เนื้อสัตว์ที่ผ่านการบ่มจะนุ่ม มีรสชาติดี แนะนำกับการปรุงอาหาร การบ่มชากรโค จึงมีผลต่อความนุ่มและรสชาติของเนื้อวัว ซึ่งเป็นสัตว์ใหญ่มากกว่าเนื้อสัตว์อื่น ดังแสดงในรูปที่ 2.31



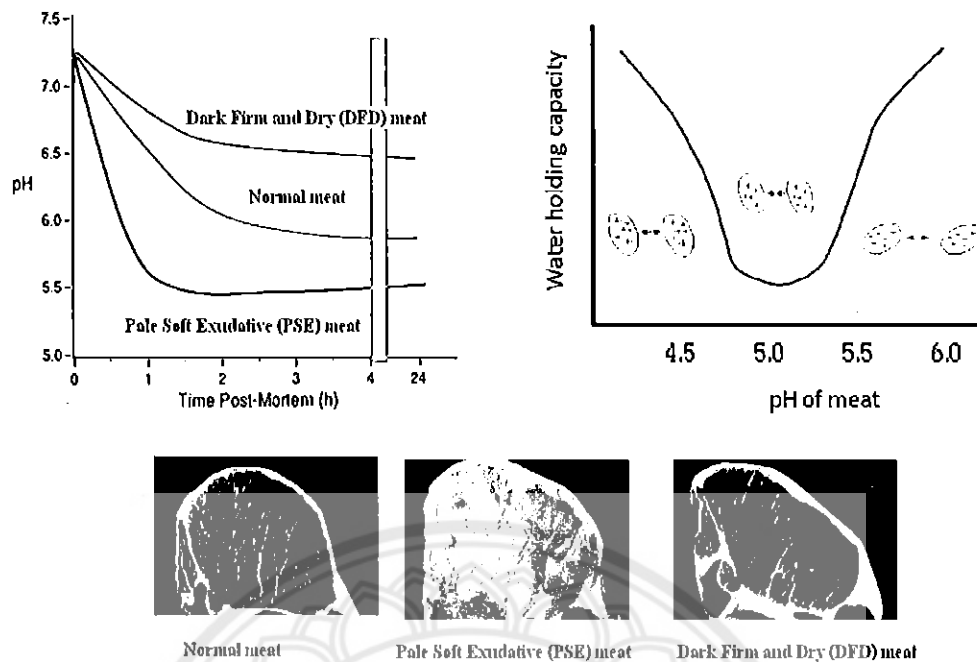
รูปที่ 2.31 กราฟแสดงการเปลี่ยนแปลงของสภาพเนื้อสัตว์

ที่มา <http://www.foodnetworksolution.com/uploaded/meat%20aging.JPG>

2.9.1.2. การเปลี่ยนแปลงค่า pH

การเปลี่ยนแปลงค่า pH ของเนื้อสัตว์หลังการ死 มีผลต่อคุณภาพของเนื้อสัตว์ ทั้งด้านรสชาติ และลักษณะเนื้อสัมผัส คุณภาพผลิตภัณฑ์แปรรูปจากเนื้อสัตว์ และยังมีผลต่อการเสื่อมเสีย เนื่องจากจุลินทรีย์ การเปลี่ยนแปลงค่า pH ของเนื้อสัตว์มีสาเหตุหลักมาจากการ glycolysis ซึ่งเป็น かる์โบไฮเดรตที่เป็นแหล่งพลังงานในกล้ามเนื้อของสัตว์ ประกอบด้วยโมเลกุลของน้ำตาลกลูโคส เข้ามตอกัน มีโครงสร้างคล้าย อะโนโล กะทิน (amylopectin) ไกลโคเจนในกล้ามเนื้อจะถูกใช้ใน กิจกรรมการเคลื่อนไหวกล้ามเนื้อของสัตว์ เช่น การเดิน การวิ่ง โดยอาศัยปฏิกิริยาที่เรียกว่า "ไกล โคลิซิส (glycolysis)" เพื่อเป็นแหล่งพลังงานโดยไม่ต้องใช้อกซิเจน และจะได้การผลิตก๊าซ ซึ่งทำ

ให้เกิดการเมื่อยล้าของกล้ามเนื้อบำบัดที่สัตว์มีชีวิต กรณ์แล็กทิกจะถูกนำไปด้วยการหายใจแบบใช้ออกซิเจน เพื่อรักษาระดับค่า pH ของกล้ามเนื้อให้เป็นปกติ สัตว์ที่ได้รับการเลี้ยงดูที่ดี มีการพักผ่อนเพียงพอไม่บาดเจ็บ ไม่มีโรคภัยจะมีปริมาณไกลโคเจนในกล้ามเนื้อสูง สัตว์ที่มีขนาดใหญ่จะมีปริมาณไกลโคเจนในกล้ามเนื้อมากกว่าสัตว์ที่มีขนาดเล็ก หลังจากที่สัตว์ถูกฆ่า เชลล์สัตว์ยังคงมีชีวิต และพยาบาลรักษาความมีชีวิตไว้ ในภาวะที่เซลล์ขาดออกซิเจนด้วยการถ่ายไกลโคเจนที่สะสมอยู่ในกล้ามเนื้อ เกิดเป็นกรณ์แล็กทิก สัตว์ที่ถูกเลี้ยงดูดี ได้รับอาหารดี มีสุขภาพดี ไม่เจ็บป่วยหรือบาดเจ็บ ไม่มีความเครียด มีการผ่าแบบไม่ทรมาน เช่น ทำให้สัตว์สลบ (stunning) ก่อนการผ่า จะเนื้อสัตว์ที่ได้มีคุณภาพดี ค่า pH ของเนื้อสัตว์ลดลง จากระดับค่า pH ของกล้ามเนื้อ ขณะมีชีวิต ซึ่งมีค่าประมาณ 7.4 ถึงประมาณ 6.2 หรือ ต่ำกว่านี้เล็กน้อยในเวลา 24 ชั่วโมง เนื้อสัตว์จะมีคุณภาพดี มีกลิ่น สีปกติ รสชาติดี และมีการอุ่นน้ำที่ดี เหมาะสมกับการบริโภค และนำไปแปรรูปเป็นผลิตภัณฑ์ เนื้อสัตว์ นอกจานนี้กรณ์แล็กทิกที่เกิดขึ้น จะช่วยป้องกันการเริญของจุลินทรีย์ที่เป็นสาเหตุของการเสื่อมเสียของเนื้อสัตว์ ผลงานอัตราการเปลี่ยนแปลงค่า pH ต่อคุณภาพเนื้อสัตว์ การเปลี่ยนแปลงค่า pH ของเนื้อสัตว์หลังการผ่าสัตว์ มีผลมากต่อคุณภาพของชาบสัตว์และเนื้อสัตว์ อัตราการเปลี่ยนแปลงค่า pH ที่เกิดขึ้นช้า หรือเร็วเกินไป ทำให้เกิดลักษณะที่ไม่ต้องการในเนื้อสัตว์ โดยเฉพาะนื้อจากสัตว์ที่มีขนาดใหญ่ เช่น เนื้อวัว เนื้อหมู แพะ แกะ คือ Dark Firm Dry (DFD) เป็นลักษณะที่ไม่ต้องการของเนื้อสัตว์คือ มีสีเข้ม (dark) เนื้อแน่น (firm) เหนียวผิดปกติ และวิวน้ำแห้ง ไม่ชุ่มชื้น (dry) มีสาเหตุมาจากกล้ามเนื้อสัตว์ ขณะที่มีปริมาณไกลโคเจนเริ่มต้นในกล้ามเนื้อน้อย เนื่องจาก การเลี้ยงดูที่ไม่ดี สัตว์มีสภาวะเครียด อดอย่าง ขาดอาหาร บาดเจ็บหรือมีโรค เมื่อสัตว์ตายค่า pH ของเนื้อสัตว์สูงสุดพิเศษ เพราะกรณ์แล็กทิกจากการถ่ายตัวของไกลโคเจนปริมาณน้อยรasha ไม่ดี เนื้อสัมผัสแข็งเหนียว ไม่ยืดหยุ่น นอกจานนี้เนื้อสัตว์ลักษณะ DFD ยังเสื่อมเสียจากจุลินทรีย์ได้ง่าย เพราะค่า pH สูง ไม่มีกรณ์แล็กทิกซึ่งช่วยบั้งยั้งการเริญของจุลินทรีย์ และ Pale Soft Exudative (PSE) เป็นลักษณะของเนื้อสัตว์ที่ไม่ต้องการ เช่น กัน ลักษณะคือ มีสีซีด (pale) เนื้อนิ่ม (soft) มีน้ำเย็น (exudative) เกิดกับสัตว์ที่ได้รับการเลี้ยงดูปกติ มีระดับไกลโคเจนในกล้ามเนื้อปกติ แต่สัตว์ที่มีความเครียดระยะสั้นๆ ก่อนถูกฆ่า เช่น ระหว่างการขนส่งไปโรงฆ่าสัตว์ สัตว์ดื้อรนต่อสู้ ด้วยความตกลง หาดกล้าว การผ่าด้วยความรุนแรง ทำรุณ ซึ่งทำให้สัตว์ใช้ไกลโคเจน ที่สะสมอยู่ในกล้ามเนื้อ เพื่อเป็นพลังงาน และได้กรณ์แล็กทิกปริมาณมาก หลังจากสัตว์ถูกฆ่า ค่า pH ของเนื้องอกย่างรวดเร็ว จากประมาณ 7.4 เหลือ ประมาณ 5.4-5.6 ใช้เวลาเพียง 1 ชั่วโมง เป็นค่า pH ที่อยู่ในช่วง Isoelectric point มีประจุบวกและประจุลบพอๆ กัน เกิดการดึงดูดกันของโปรตีนกับโปรตีน (protein-protein interaction) มากกว่าโปรตีนกันน้ำ ทำให้เนื้อสัตว์อุ่นน้ำได้น้ำลง ส่งผลให้เนื้อสูญเสียน้ำที่อยู่ภายในเนื้อ ทำให้เนื้อมีคุณภาพดี กลืนรสนิยม สัมผัสมีดีและมีผลต่อคุณภาพผลิตภัณฑ์เนื้อสัตว์ เนื้อสัตว์ที่นำไปแข็งเยือกแข็ง จะเกิดการสูญเสียน้ำ (drip loss) มากภายในระยะเวลา โดยสามารถแสดงได้ดังรูปที่ 2.32



รูปที่ 2.32 แสดงการลดค่าของกรด-ด่าง(pH) หลังสัตว์ตาย

ที่มา <http://www.foodnetworksolution.com/uploaded/meat%20aging.JPG>

2.9.2 การเปลี่ยนแปลงทางกายภาพของเนื้อสัตว์

1) สีของเนื้อ สีของเนื้อจะขึ้นอยู่กับชนิดของสัตว์ อายุ เพศ การทำงานของกล้ามเนื้อ ปริมาณเม็ดสีในเลือดและเม็ดสีในกล้ามเนื้อ และการเปลี่ยนแปลงของสีภายในกล้ามเนื้อ เป็นต้น สีที่เปลี่ยนไปแล้วก่อให้เกิดปัญหาในเนื้อสัตว์ คือ ในโอโกลินแบลลี่บันเป็นสารสีน้ำตาลแดงชื่อ เมทไน โอโกลิน จะเกิดขึ้นเมื่อเหล็กในรีมเปลี่ยนจาก ferrous เป็น ferric เนื่องจากเหล็กถูกเติมออกซิเจน การเปลี่ยนเป็นสีน้ำตาลแดงไม่ได้ทำให้รสชาติของเนื้อเสียไป แต่มองดูไม่น่ากินเท่านั้น

2) ความนุ่มนวลของเนื้อสัตว์ชนิดและปริมาณของเนื้อเยื่อเก็บวพัน(พังผืด) เนื้อที่มีพังผืดมากจะเหนียวมาก ถ้ามีพังผืดน้อยก็จะไม่เหนียว เนื้อเยื่อเก็บวพันในเนื้อสัตว์มี 2 ชนิด คือ คอลลาเจนสีขาว และอีลาสตินที่มีสีเหลือง แม้ว่าเมื่อเนื้อแข็งดิบ อีลาสตินจะเหนียวห้องกว่าคอลลาเจน แต่อีลาสตินไม่เปลี่ยนแปลงเมื่อได้รับความร้อนในขณะที่คอลลาเจนลายตัวให้เจลลาติน

3) ความแน่นเนื้อของเนื้อสัตว์มีชีวิตอยู่นั้นกล้ามเนื้อจะมีลักษณะที่ค่อนข้างแน่นและสามารถคงรูปร่างที่แน่นอนได้ตลอดเวลา

4) ความสามารถในการอุ้มน้ำในกล้ามเนื้อมีน้ำเป็นองค์ประกอบอยู่ประมาณ 65-80 เปอร์เซ็นต์ของน้ำหนักกล้ามเนื้อทั้งหมด น้ำเหล่านี้ จะถูกจับไว้ในเส้นใยกล้ามเนื้อ โดยแกะอยู่กับโปรตีน

2.9.3 การทำให้เนื้อนุ่ม

เนื่องจากการบดโภคเนื้อโภคในปัจจุบันผู้บริโภคส่วนมากจะให้ความสำคัญกับคุณภาพเนื้อซึ่ง ความนุ่มนวลของเนื้อเป็นลักษณะสำคัญที่บ่งบอกถึงคุณภาพของเนื้อ และมีผลอย่างมากต่อความพึงพอใจของผู้บริโภค รวมทั้งการตัดสินใจซื้อหรือบริโภคซ้ำอีกด้วย อย่างไรก็ตาม เนื้อโภคที่ผลิตและจำหน่าย ในปัจจุบันยังมีความนุ่มที่ไม่คงที่ ซึ่งกระบวนการที่ทำให้เนื้อนุ่มนี้มี 3 วิธีดังนี้

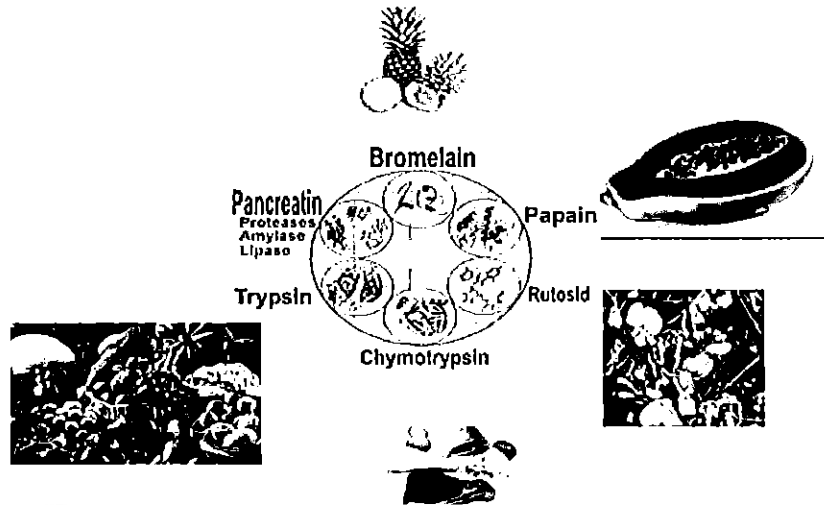
1) วิธีการใช้แรงกล การใช้แรงทางกล คือการใช้แรงในการกระแทก หรือทุบ จนทำให้เส้นใยเนื้อเยื่อเกี่ยวพันพิเกขาด จึงทำให้เนื้อนั้นมีความนุ่มนึนขึ้นได้ แต่การใช้แรงกลจะไม่สามารถควบคุมความนุ่มนวลของเนื้อได้แน่นอน อีกทั้งยังทำให้เนื้อนั้นมีลักษณะปรากว่า ที่ไม่น่ารับประทาน โดยใช้อุปกรณ์คือค้อนทุบเนื้อ หรือวัตถุที่มีความแข็ง ทุบลงไปที่ชิ้นเนื้อดังรูปที่ 2.33



รูปที่ 2.33 ลักษณะการใช้แรงกลเพื่อทำให้เนื้อนุ่ม

ที่มา <http://www.streetdeal.co.th/images/deals/697740199604316.jpg>

2) วิธีการทางเคมี การใช้สารเคมีในการทำให้เนื้อนุ่ม จะต้องอาศัยความเชี่ยวชาญเป็นพิเศษ โดยรูปแบบของสารเคมีที่นำมาใช้เพื่อให้เนื้อนุ่ม มีทั้งที่เป็นกรด(acid) เช่นการใช้กรดอ่อนเพื่อช่วยให้เกิดการบวนน้ำของคอลลาเจน ซึ่งทำให้ พันธะไฮโดรเจนภายในคอลลาเจนถูกตัดขาดจึงทำให้เนื้อนุ่มนึน ค่า(base) เกลือฟอสเฟต และบางครั้งอาจใช้ออนไซม์(enzyme) จำพวก โปรตีอีส(protease) เช่น เออนไซม์ป้าเปน(papain) ที่มีในยางจากใบและผลมะละกอดิบ เออนไซม์ไบรมิลิน(bromelin) ในสับปะรด เป็นต้น ดังรูปที่ 2.34 เออนไซม์เหล่านี้มี คุณสมบัติในการย่อยโปรตีนໄicide แต่จะต้องใช้ในปริมาณ และเวลาที่เหมาะสม เพราะหากใช้เป็นเวลา หรือปริมาณที่มากเกินไป จะทำให้เนื้อเปื่อยได้ ซึ่งจะเห็นได้ว่าการใช้สารเคมีนั้น จะมีความซับซ้อนและยากต่อการควบคุม อีกทั้งสารเคมีบางตัวยังมีราคาที่ค่อนข้างสูง



รูปที่ 2.34 เอนไซม์จำพวกโปรตีอีส (protease)

ที่มา https://cdn.slidesharecdn.com/ss_thumbnails/proteaseenzymes-151006023528-lva1-app6892-thumbnail-4.jpg?cb=1444098991

3) วิธีการกระตุ้นเนื้อให้นุ่มด้วยกระแสไฟฟ้าดังรูปที่ 2.45 จะใช้หลักการของสنانแม่เหล็กไฟฟ้าปล่อยกระแสไฟฟ้าให้ผ่านเข้าไปในชิ้นเนื้อ ซึ่งกระแสไฟฟ้าจะเคลื่อนที่ผ่านความชื้นที่มีอยู่ในชิ้นเนื้อ โดยผลของการกระแสไฟฟ้าจะทำให้อัมโมนียัค(Amino-acid) หรือโปรตีน เกิดการเดียวกันพัฒนาต่อ โดยเซลล์ของโปรตีนจะถูกทำลาย เมื่อเซลล์ของโปรตีนถูกทำลายทำให้เซลล์ของกล้ามเนื้อถูกขาด มีผลทำให้เส้นใยของกล้ามเนื้อห่างออกจากกัน ดังนั้นจึงเกิดช่องว่างขึ้นในชิ้นเนื้อ ซึ่งจะมีผลให้เนื้อบริเวณนั้นมีความนุ่ม



รูปที่ 2.35 การกระตุ้นเนื้อนุ่มด้วยกระแสไฟฟ้า

บทที่ 3

การออกแบบและการทดสอบวงจร

ในบทนี้จะเป็นการอธิบายถึงขั้นตอนในการออกแบบและพัฒนาเครื่องไข่มีขนาดเล็กลงจากเครื่องรุ่นก่อน[1] โดยได้ทำการสร้างวงจรควบคุม และวงจรกำลัง ขึ้นมาใหม่ให้มีขนาดเล็กลงโดยมีวงจรที่ทำการพัฒนาดังนี้

1 วงจรเรียงกระแส

2 วงจรจ่ายแรงดันไฟฟ้ากระแสตรง

3 วงจรขยายสัญญาณพัลส์ หรือวงจรขับสัญญาณ

4 วงจรบระดับแรงดัน

5 วงจรชดเชย

รวมถึงการทดสอบวงจร วิธีการใช้ และขั้นตอนการประกอบวงจรของเครื่องกระตุ้นเนื้อโคนุ่มด้วยกระแสไฟฟ้า

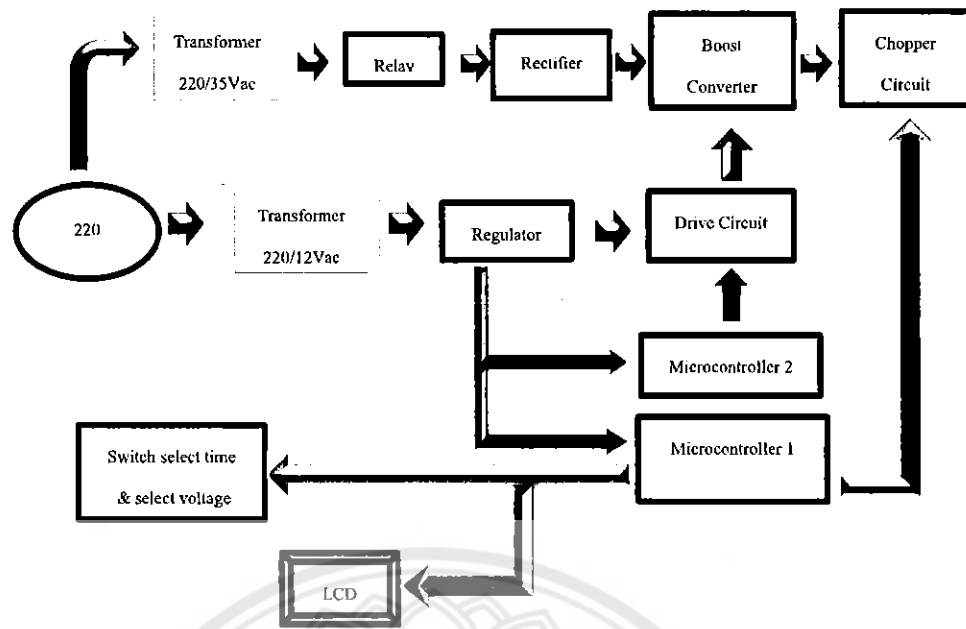
3.1 การพัฒนาวงจรเครื่องกระตุ้นเนื้อโคนุ่มด้วยกระแสไฟฟ้า

แนวทางในการพัฒนา การออกแบบเครื่องกระตุ้นเนื้อโคนุ่มด้วยกระแสไฟฟ้านั้นยังคงยึดหลักการเดิม ซึ่งมีการออกแบบให้มีพิกัดแรงดันไม่เกิน 90 โวลต์ เนื่องจากข้อจำกัดของอุปกรณ์ และเรื่องความปลอดภัยแก่ผู้ใช้

ส่วนของวงจรควบคุม ได้เลือกใช้ในครั้งนี้ในครั้งนี้เป็นครั้งแรก Arduino UNO R3 เป็นตัวควบคุม เช่นเดียวกับเครื่องรุ่นก่อน[1] โดยที่ตัวในครั้งนี้Arduino UNO R3 จะไปควบคุมการปล่อยสัญญาณ PWM (Pulse Width Modulation) ที่ปล่อยออกมากในรูปคลื่นสี่เหลี่ยม (Square-wave) ให้วงจรขยายสัญญาณพัลส์ หรือวงจรขับสัญญาณ (Drive Circuit) เพื่อไปสวิตซ์ชิงมอเตอร์ ของ วงจรบระดับแรงดัน และทรานซิสเตอร์ในวงจรชดเชยให้ทำงาน ตามลำดับ นอกจากนี้ยังมีอุปกรณ์ ต่อเพิ่มเติมในวงจรควบคุมเพื่อให้สามารถต่อการใช้งานเครื่อง โดยอาศัยสัญญาณควบคุมจาก Arduino เช่นจอดแสดงผลแล็ปท็อปเพื่อใช้แสดงคำสั่งต่างๆดังนี้

- 1) สวิตช์ (Switch) เพื่อใช้ในการกด เพิ่ม-ลดเวลา และเริ่ม-หยุดการทำงานของวงจรกำลัง
 - 2) หลอดแอลอีดีเพื่อใช้เป็นสัญญาณไฟแสดงการทำงานของวงจรควบคุม
 - 3) วงจรรีเลย์ เพื่อใช้ตั้งเวลาการส่งแรงดันไฟฟ้าของวงจรกำลัง
 - 4) ตัวต้านทานปรับค่าได้ ใช้ปรับค่าความต้องการเพิ่ม-ลดระดับแรงดันไฟฟ้า
- เครื่องกระดูนเนื้อ โคนุ่มด้วยกระแสไฟฟ้าที่พัฒนาแล้ว จะมีคุณสมบัติดังนี้
- 1) ใช้ได้กับไฟกระแสสลับ 220 โวลต์
 - 2) สามารถปรับตั้งเวลาการทำงานได้
 - 3) มีขนาดของตัวเครื่องที่เล็กลงทำให้สะดวกต่อการเคลื่อนย้ายและใช้งาน
- การพัฒนาวงจรกำลังในส่วนนี้ ยังคงใช้ขนาดของหน้อแปลงขนาดแรงดันเท่าเดิมแต่มีการเปลี่ยนเบอร์ของมอเตอร์ ที่ใหม่มีความสามารถในการทนแรงดันมากขึ้น ทำให้มอเตอร์ทนความร้อนได้มากขึ้น และเครื่องสามารถทำงานได้ต่อเนื่องนานขึ้น ในส่วนของหน้อแปลงจะทำหน้าที่แปลงแรงดัน 220 โวลต์ ให้เป็น 35 โวลต์ (AC-AC) ขนาดกระแส 1 แอมป์ มีกำลังค้านออก 35 วัตต์ และส่งแรงดันไปยังวงจรเรียงกระแส (AC-DC) โดยมีวงจรรีเลย์ทำหน้าที่ตัดหรือต่อการจ่ายแรงดันไฟฟ้า ให้กับวงจรบรรดับแรงดันต่อไปเพื่อทำการเพิ่มระดับแรงดันในระดับที่ต้องการ จากนั้นจ่ายแรงดันไปที่ วงจรซอร์ปเปอร์ (สร้างพลัสแรงดัน) ตามลำดับ

วงจรควบคุมในส่วนนี้ได้ใช้บอร์ด Arduino UNO R3 ทำหน้าที่สร้างสัญญาณพัลส์เพื่อไปสวิตช์ชิงมอเตอร์ ในวงจรบรรดับแรงดัน โดยสัญญาณพัลส์จะต้องผ่านวงขยายสัญญาณพัลส์ (Drive Circuit) ก่อนเพื่อบรรยายสัญญาณให้มีขนาดเพิ่มขึ้นพอที่จะสวิตช์ชิงมอเตอร์ให้เริ่มทำงานได้ นอกจากนี้ยังใช้ Arduino UNO R3 เป็นตัวควบคุมอุปกรณ์ต่างๆ เช่น จอแสดงผลแอลอีดี และสวิตช์เป็นต้น



รูปที่ 3.1 แผนภาพวงจรการทำงานชุดอุปกรณ์ของเครื่องกระตุ้นเนื้อโคน้ำมันด้วยกระแสไฟฟ้า

3.2 ขั้นตอนพัฒนาการออกแบบตัวเครื่องและการทดสอบวงจร

สำหรับโครงการนี้ เป็นการพัฒนาการออกแบบและสร้างเครื่องกระตุ้นเนื้อโคน้ำมันด้วยกระแสไฟฟ้าให้มีขนาดเล็กลงเพื่อความสะดวกต่อการใช้งานในชีวิตประจำวัน เพื่อที่จะสามารถลดขนาดและช่วยในการประหยัดการใช้สายไฟ จึงได้ทำการออกแบบวงจรไฟฟ้าภายในใหม่ โดยเปลี่ยนแปลงจากแผ่นลายวงจรปกติ เป็นแพนเปอร์นิค์ (Printed Circuit Board: PCB) และทำให้เครื่องดูไม่ซับซ้อนมากจนเกินไป และวงจรอื่นๆยังคงใช้วงจรเดิม ดังนี้

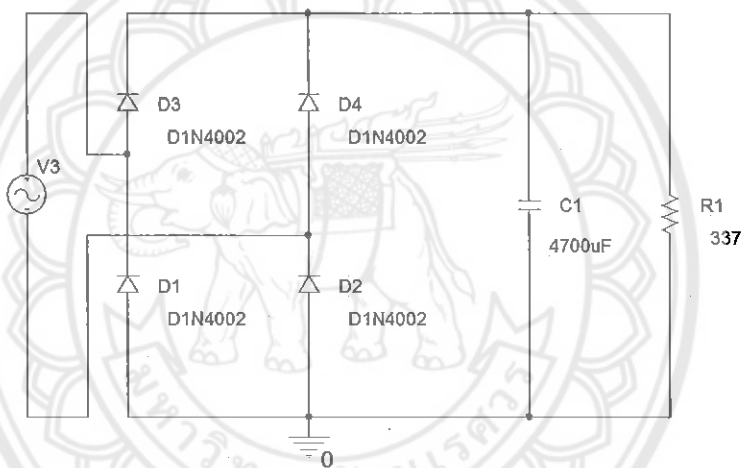
- 1) วงจรเรียงกระแส
- 2) วงจรจ่ายแรงดันไฟฟ้ากระแสตรง
- 3) วงจรขยายสัญญาณพัลส์ หรือวงจรขับสัญญาณ
- 4) วงจรอาร์ดับเบิลแรงดัน
- 5) วงรชอปเปอร์

โดยมีรายละเอียดในพัฒนา และในการเลือกใช้อุปกรณ์ต่าง ๆ อย่างเหมาะสมดังนี้

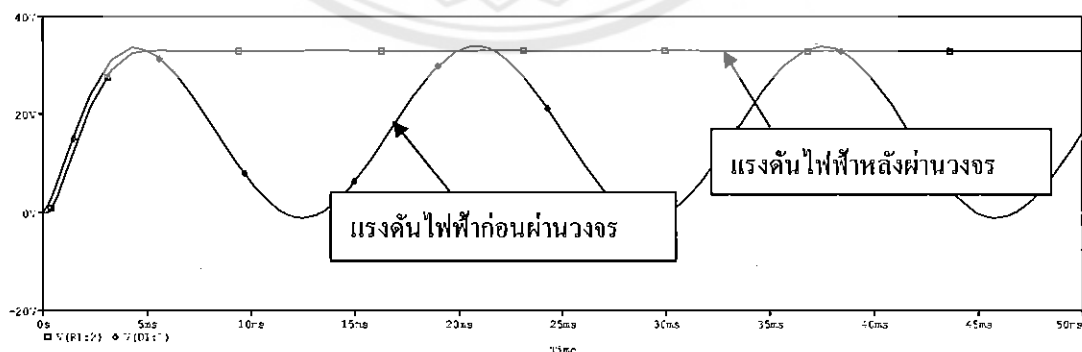
3.2.1 การพัฒนาวงจรเรียงกระแส

ในส่วนของวงจรเรียงกระแสนั้นสามารถใช้การออกแบบตามเดิม แต่มีการปรับเปลี่ยนให้มีขนาดเล็กลงจึงได้ทำการออกแบบลายวงจรพิชีบี ดังรูปที่ 3.8 เนื่องจากเครื่องกระตุ้นเนื้อโภคุณด้วยกระแสไฟฟ้านี้ ต้องการไฟฟ้ากระแสตรง ดังนั้นจึงได้มีวงจรเรียงกระแส เพื่อแปลงไฟฟ้ากระแสสลับที่ได้รับจากหม้อแปลงเป็นแรงดันไฟฟ้ากระแสตรงทางค้านข้าอก

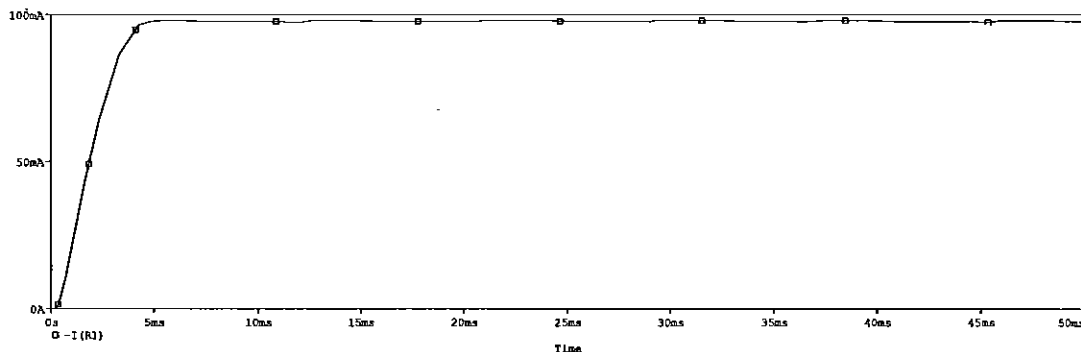
สำหรับโครงงานนี้เราได้เลือกใช้วงจรเรียงกระแสแบบบริดจ์เนื่องจากไม่จำเป็นต้องใช้หม้อแปลง(AC-DC)ซึ่งมีราคาค่อนข้างสูง ทำให้ประหยัดค่าใช้จ่าย อีกทั้งได้โดยง่ายสำหรับการทดสอบและส่องคัว ทำให้ได้ผลทดแทนแรงดันสูงขึ้น จึงทำการทดสอบด้วยโปรแกรม Pspice ดังรูปที่ 3.2 และได้สัญญาณแรงดันข้าอก ดังแสดงในรูปที่ 3.3 และ 3.4



รูปที่ 3.2 วงจรเรียงกระแสแบบบริดจ์



รูปที่ 3.3 แรงดันไฟฟ้าที่ข้าอกจากวงจรเรียงกระแสแบบบริดจ์

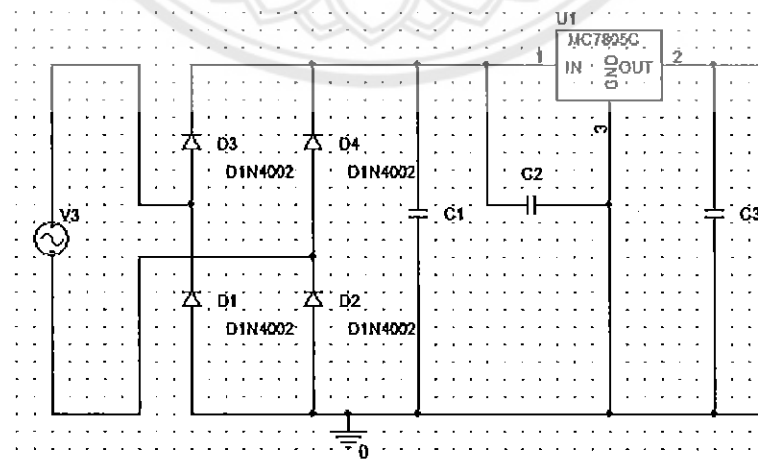


รูปที่ 3.4 กระแสไฟฟ้าที่ข้ออกจากวงจรเรียงกระแสแบบบริดจ์

ทำการต่อวงจรเรียงกระแสที่เกบได้ออกแบบไว้โดยใช้ตัวเก็บประจุขนาด 4700 ไมโครฟาร์ด และวงจรบริดจ์ และเมื่อใช้โปรแกรม Pspice ทำการจำลองรูปสัญญาณพบว่า สัญญาณจะมีลักษณะที่เรียบ เนื่องจากสัญญาณแรงดันข้อออกถูกวงจรเรียงกระแสเปลี่ยนจากรูปสัญญาณที่ไม่เรียบ ให้มีลักษณะที่เรียบ ดังแสดงในรูปที่ 3.3

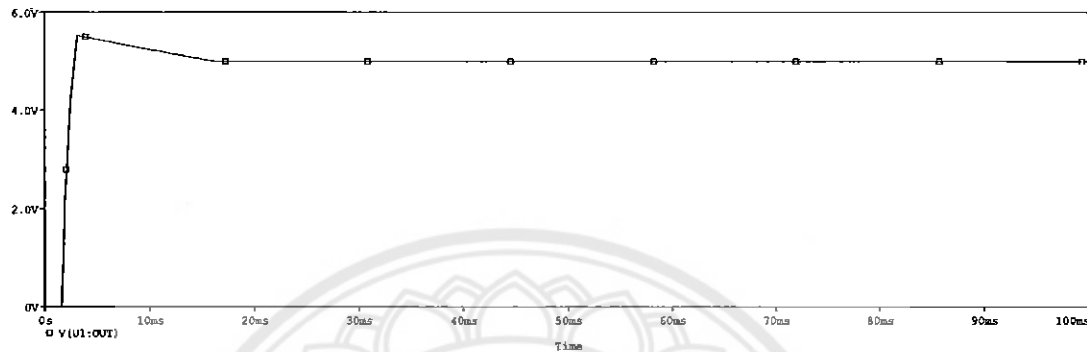
3.2.2 การพัฒนาวงจรจ่ายแรงดันไฟฟ้ากระแสตรง

เนื่องจากวงจรขยายสัญญาณพัลส์ใช้ไอซีเบอร์ IR 2110 ทำหน้าที่ขยายสัญญาณพัลส์เพื่อนำไปสวิตช์ช่อง mosfet นั้นสามารถทำงานได้ดี ดังนั้นจึงไม่จำเป็นต้องเปลี่ยนแปลงวงจรและได้ทำการรวมวงจรเรียงกระแส และวงจรจ่ายแรงดันไฟฟ้ากระแสตรงไว้ในแผ่นวงจรพีซีบี เดียวกันดังรูปที่ 3.8 โดยมีไอซีเรกเกลเตอร์(IC Regulator) ทำหน้าที่แปลงระดับไฟฟ้ากระแสตรงและรักษาการดับแรงดัน โดยใช้ไอซีเบอร์ LM7805 และ LM7812 ตามเดิม มาต่อวงจรดังรูปที่ 3.5 เพื่อใช้เป็นไฟเลี้ยงให้กับไอซีเบอร์ IR 2110 ในวงจรขยายสัญญาณพัลส์

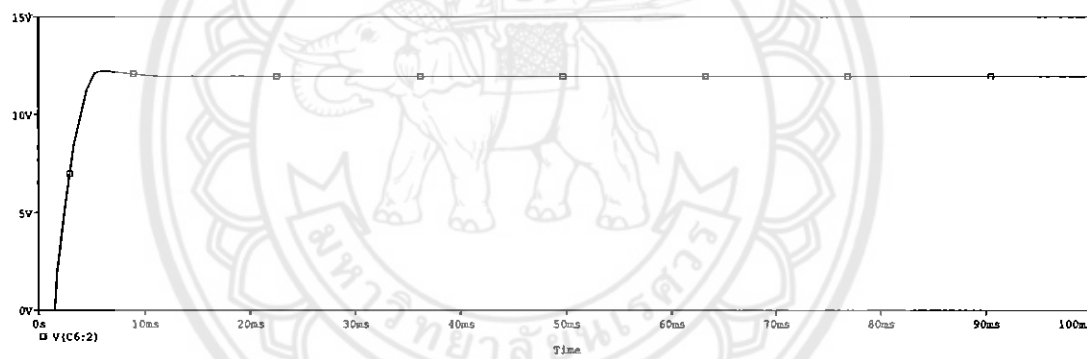


รูปที่ 3.5 วงจรจ่ายแรงดันไฟฟ้ากระแสตรง

ในการใช้ไอซีเบอร์ LM7805 และ LM7812 แปลงแรงดันให้มีแรงดันทางด้านเอาท์พุตเป็น 5 โวลต์ และ 12 โวลต์ ตามลำดับ โดยแรงดันทางด้านอินพุตจะถูกส่งมาจากวงจรบีริดจ์เรียงกระแส โดยได้ทดสอบวัดค่าด้วยโปรแกรม Pspice มีผลการจำลองดังรูปที่ 3.6 และ 3.7

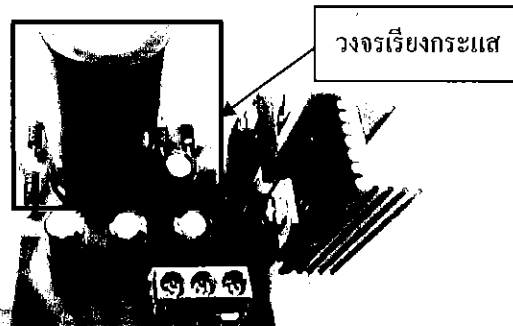


รูปที่ 3.6 แรงดันด้านออกของ ไอซีเบอร์ LM7805

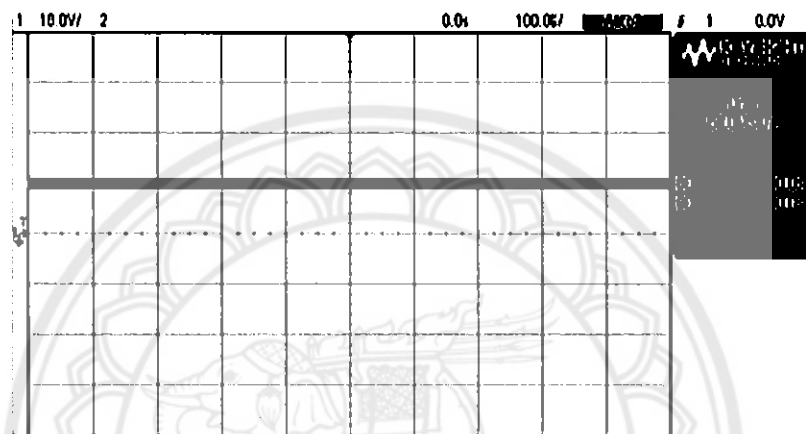


รูปที่ 3.7 แรงดันด้านออกของ ไอซีเบอร์ LM7812

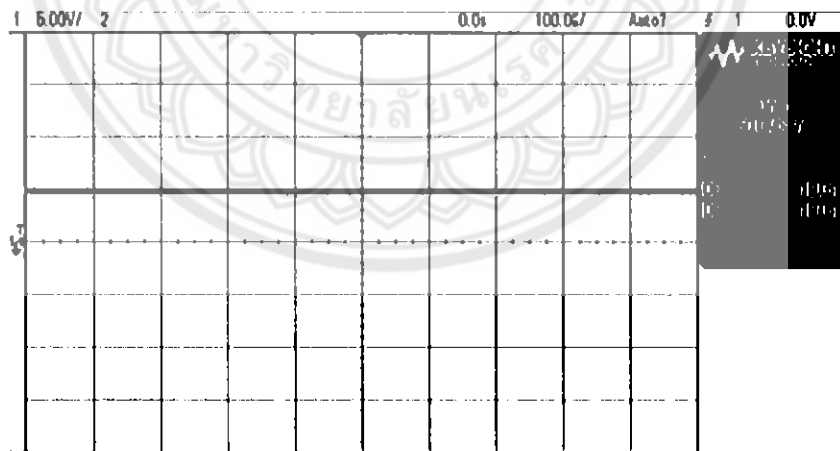
ทำการต่อวงจร และทดสอบการทำงานของวงจรเรียงกระแส และวงจรแปลงแรงดันไฟกระแสตรงดังรูปที่ 3.8 และได้มีการทดสอบ โดยใช้ออสซิลโลสโคปวัดสัญญาณแรงดันขาออก ซึ่งจะได้สัญญาณแรงดันขาออกดังรูปที่ 3.9 และ 3.10



รูปที่ 3.8 วงจรเรียงไฟกระแสตรง และวงจรแปลงแรงดันไฟกระแสตรง(ที่ได้สร้างขึ้น)



รูปที่ 3.9 สัญญาณแรงดันขาออกของวงจรเรียงกระแสผ่านไอซี LM7812 (10 V/div, 0 Time/div)

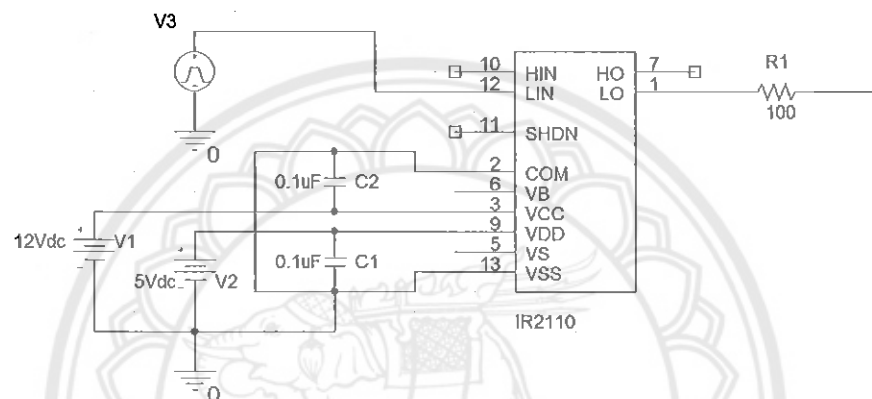


รูปที่ 3.10 สัญญาณแรงดันขาออกของวงจรเรียงกระแสผ่านไอซี LM7805 (5 V/div, 0 Time/div)

แรงดันไฟที่ก่อต้นที่จะเข้าวงจรนี้ จะเห็นได้ว่าสัญญาณค่านอกเป็นลักษณะเด็นตรง ที่มีขนาด 12 โวลต์ เพราะมีการแปลงแรงดันไฟฟ้าโดยผ่านไอซี LM7812 ดังรูปที่ 3.9 และ มีแรงดันไฟกระแสตรง 5 โวลต์ เพราะมีการแปลงแรงดันไฟฟ้าโดยผ่านไอซี LM7805 ดังรูปที่ 3.10 ในวงจรแปลงแรงดันไฟกระแสตรง

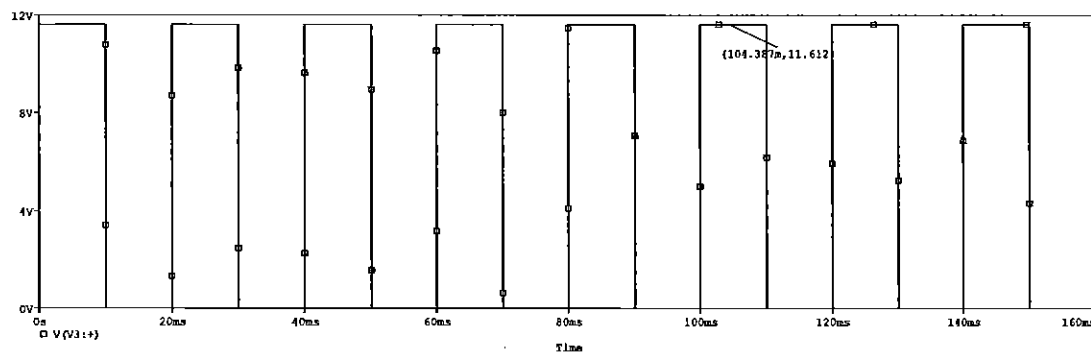
3.2.3 การพัฒนาวงจรขยายสัญญาณพลัส หรือวงจรขับสัญญาณ

ในวงจรขยายสัญญาณพลัสนี้ได้ทำการออกแบบให้วงจรมีขนาดเล็กลง โดยการออกแบบ แผ่นบอร์ดที่ ดังรูปที่ 3.13 โดยวงจรจะสร้างสัญญาณพลัสที่ความถี่ 25 กิโลเฮิร์ตซ์ จากเบอร์ IR 2110 เพื่อนำสัญญาณพลัสที่ได้จาก Arduino UNO R3 ไปขยายสัญญาณสวิตช์ชิ้นอสเฟต เนื่องจาก สัญญาณพลัสที่สร้างจากบอร์ด Arduino มีค่าแอนปริจุดประมาณ 5 โวลต์ไม่เพียงพอที่จะไปสวิตช์ ชิ้นอสเฟต ให้ทำงาน ได้จำเป็นต้องนำรับขยายสัญญาณพลัส โดยมีสัญญาณที่ถูกขยาย สามารถนำไปสวิตช์ชิ้นอสเฟตในวงจรที่ระดับแรงดัน



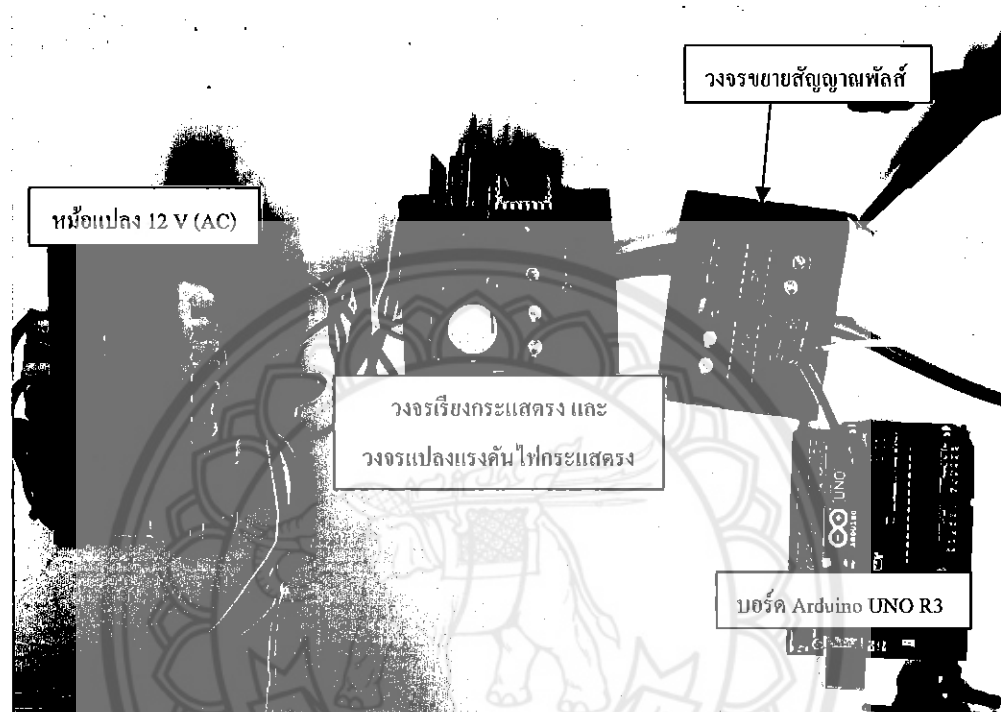
รูปที่ 3.11 วงจรขยายสัญญาณพลัส

วงจรขยายสัญญาณพลัสหรือวงจรสวิตช์ชิ้นอสเฟต โดยวงจรจะประกอบไปด้วยไอซี เบอร์ IR 2110 ต่อกับตัวเก็บประจุและตัวต้านทาน โดยสัญญาณที่ออกมากจากไมโครคอนโทรลเลอร์ จะเป็นสัญญาณรูปคลื่นสี่เหลี่ยม เมื่อใช้โปรแกรม Pspice ทำการจำลองวงจรพบว่าสัญญาณแรงดันที่ ออกมากจากไมโครคอนโทรลเลอร์ มีค่าเท่ากับ 5.2 โวลต์ เมื่อแรงดันผ่านเข้าไปในวงจรขยายสัญญาณ พลัส จะทำให้แรงดันข้าออกมีค่าเพิ่มขึ้น เมื่อได้ทดสอบวัดค่าทางด้านออกด้วยโปรแกรม Pspice โดยมีผลการจำลอง พบว่าสัญญาณแรงดันมีค่า 11.61 โวลต์ ดังแสดงในรูปที่ 3.12

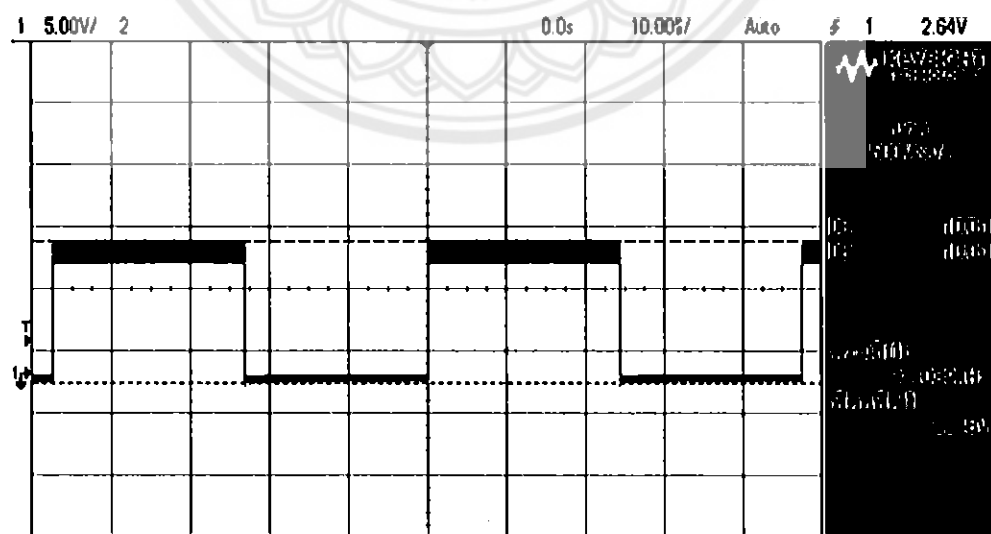


รูปที่ 3.12 สัญญาณแรงดันที่ออกจากรวงจรขยายสัญญาณพลัส

ได้ทำการต่อวงจร และทดสอบการทำงานของวงจรขยายสัญญาณพัลล์ โดยวงจรขยายสัญญาณพัลล์จะรับแรงดันขาเข้า มาจากวงจรเรียงไฟกระแสตรงและวงจรแปลงแรงดันไฟกระแสตรง และรับสัญญาณพัลล์มาจาก Arduino UNO R3 ดังรูปที่ 3.13 และได้มีการทดสอบโดยใช้ ออสซิลโลสโคปวัดสัญญาณแรงดันขาออกที่วงจรขยายสัญญาณพัลล์ได้ดังรูปที่ 3.14

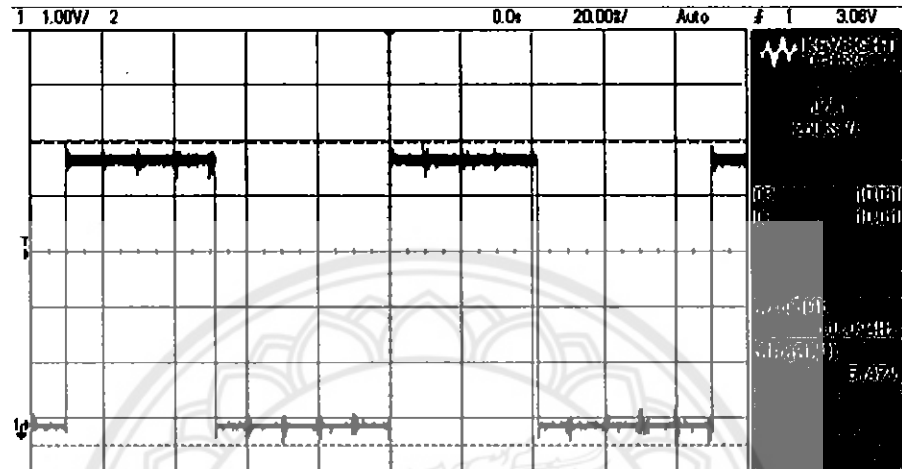


รูปที่ 3.13 การต่อเพื่อวัดสัญญาณพัลล์จากวงจรขยายสัญญาณพัลล์



รูปที่ 3.14 สัญญาณแรงดันขาออกของวงจรขยายสัญญาณพัลล์ (5 V/div, 0 Time/div)

จะเห็นได้ว่ารูปที่ 3.14 สัญญาณที่ออกมาจะเป็นพัลส์เหลี่ยม ขนาดแรงดัน 11.5 โวลต์ และความถี่เกินประมาณ 50 เมอร์เซนต์ โดยที่วงจรขยายสัญญาณพัลส์นั้น จะรับแรงดันพัลส์จากบอร์ดในโครงการโทรศัพท์ซึ่งออกมาเพียง 5.47 โวลต์เท่านั้น ดังรูปที่ 3.15 ซึ่งแสดงให้เห็นว่า วงจรขยายสัญญาณพัลส์สามารถทำงานได้ปกติ



รูปที่ 3.15 สัญญาณพัลส์จากบอร์ดในโครงการโทรศัพท์ (1 V/div, 0 Time/div)

3.2.4 การพัฒนาวงจรบรรดับแรงดัน

วงจรบรรดับแรงดันได้มีการปรับเปลี่ยนมอสเฟตจากเบอร์ IRFP150 เป็นเบอร์ IRFP260 เพื่อที่เครื่องจะสามารถทนรับแรงดันได้มากขึ้นจากเดิม ทันแรงดันได้ 100 โวลต์ เป็น 250 โวลต์ ซึ่งจะทำให้เครื่องทำงานต่อเนื่องได้นานขึ้น และสามารถลดระดับความร้อน ของมอสเฟตลง ได้ด้วย และจากเครื่องรุ่นก่อน[1] ได้มีการหาค่าความต้านทานของเนื้อโค ซึ่งมีผลต่อการทำงานของ วงจรบรรดับแรงดันจึงจำเป็นต้องทดสอบหาค่าความต้านทานไฟฟ้าของเนื้อโค โดยจ่าย แรงดันไฟฟ้ากระแสตรงที่พิกัด 50 โวลต์ เข้าไปในเนื้อโค แล้ววัดกระแสได้ 0.148 แอมเปอร์ จาก

$$V = IR \quad (3.1)$$

จากสมการ (3.1) ทำให้สามารถคำนวณหาค่าความต้านทานของเนื้อ ได้ค่าความต้านทานของ เนื้อโค มีค่าเท่ากับ 337 โอห์ม และการออกแบบวงจรบรรดับแรงดัน จำเป็นต้องมีขนาดของตัว เหนี่ยววน้ำที่มีค่าเหมาะสมกับวงจรที่ใช้งานในโหมดกระแสต่อเนื่องได้ เพื่อทำให้แรงดันทางด้าน เอาท์พุตเพิ่มขึ้นอย่างมีประสิทธิภาพ ซึ่งหาได้จากสมการของ L_{min} ดังนี้ (โดยค่าของ L จะเป็นจุดแบ่ง ระหว่างการทำงานแบบกระแสต่อเนื่องกับไม่ต่อเนื่อง)

$$L_{min} = \frac{D(1-D)^2 R}{2f_s} \quad (3.2)$$

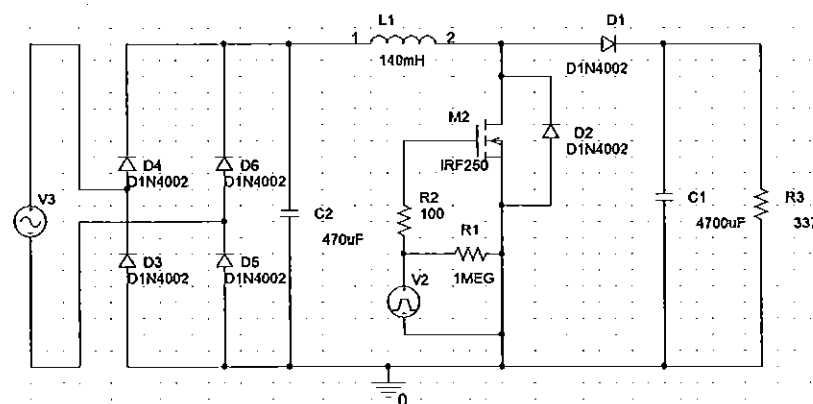
โดยการออกแบบกำหนดให้มี ค่าความถี่ที่ใช้งาน (f_s) เท่ากับ 25 กิโลเฮิร์ตซ์ ค่าความต้านทาน (R) เท่ากับ 337 โอห์ม แรงดันทางด้านอินพุต (V_{in}) เท่ากับ 50 โวลต์ แรงดันทางด้านเอาท์พุต (V_{out}) เท่ากับ 90 โวลต์ และมีวัฏจักรงาน (D) ในโหนดกระแสต่อเนื่อง (ค่าของคิวตี้ไซเกลที่เหมาะสมสำหรับการทำงานของวงจรที่โหนดกระแสต่อเนื่อง)

$$D = 1 - \frac{V_{in}}{V_{out}} \quad (3.3)$$

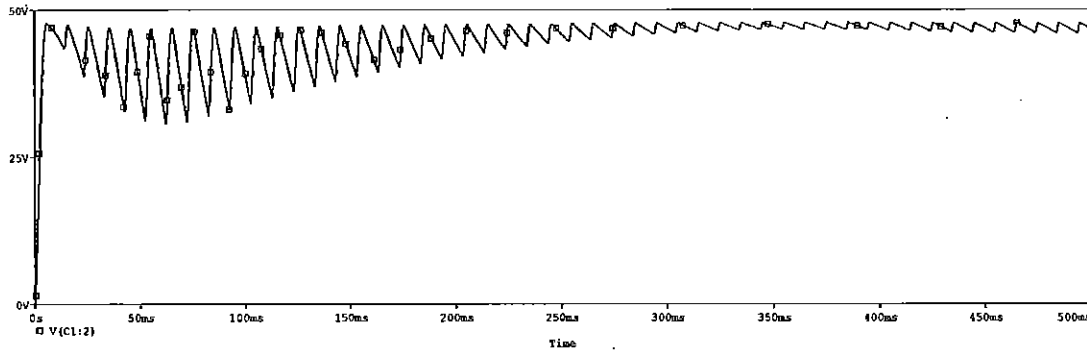
จากสมการ(3.3) สามารถหาวัฏจักรงาน (D) ที่เหมาะสมเท่ากับ 0.44 และจากสมการ(3.2) สามารถคำนวณหาขนาดของ ขดลวด (L_{min}) เท่ากับ 0.93 มิลลิเมตร ซึ่งเป็นค่าที่เป็นจุดแบ่งระหว่าง โหนดการทำงานที่กระแสต่อเนื่องกับ โหนดการทำงานที่กระแสไม่ต่อเนื่อง โดยการพิจารณาเลือกใช้ ค่าขดลวดตัวหนึ่งที่ยาน้ำที่เหมาะสมพิจารณาจากค่า $L > L_{min}$ จะเป็นกรณีกระแสต่อเนื่อง แต่ถ้า $L < L_{min}$ จะเป็นกรณีกระแสไม่ต่อเนื่อง

จากที่ได้คำนวณหาค่าพารามิเตอร์ต่างๆ ใช้โปรแกรม Pspice จำลองวงจรบนระดับ แรงดันไฟฟ้าเพื่อใช้พิจารณาเลือกค่าของขดลวดตัวหนึ่งที่สามารถใช้งานได้กับวงจรบนระดับ แรงดันไฟฟ้าในโหนดการทำงานที่กระแสต่อเนื่องได้อย่างเหมาะสม โดยขนาดของขดลวดที่ พิจารณามีขนาด 1, 10, 50, 100 และ 140 มิลลิเมตร ซึ่งจะพิจารณาจากค่าน้ำดูแรงดันไฟฟ้า และค่าขนาดกระแสไฟฟ้า เป็นหลัก และใช้โปรแกรมพิจารณา ค่าน้ำดูแรงดันไฟฟ้า และค่าน้ำดูของ กระแสไฟฟ้า ในขณะที่ค่าความต้านทานของเนื้อมีค่าเปลี่ยนแปลงไป ดังต่อไปนี้

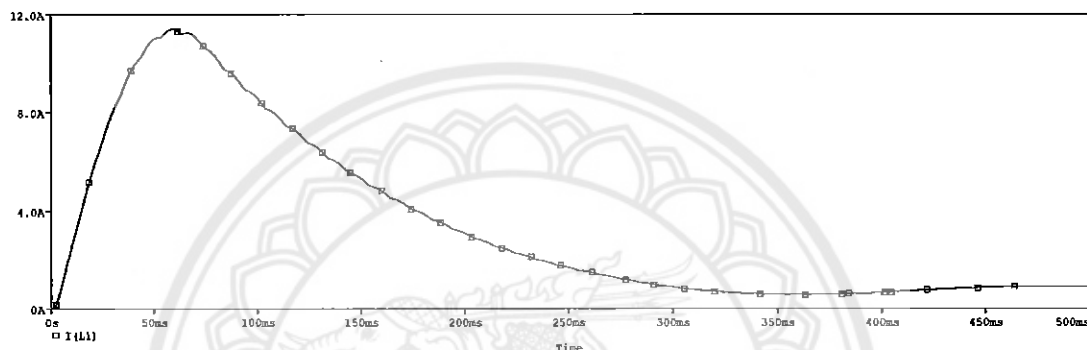
ทั้งนี้ได้ทำการยกตัวอย่างการทดสอบ โดยกำหนดให้ขดลวดตัวหนึ่งยาน้ำขนาด 140 มิลลิเมตร เท่านั้น แต่ได้ทำการทดสอบขดลวดตัวหนึ่งยาน้ำขนาด 1, 10, 50, 100 และ 140 มิลลิเมตร โดย ได้สรุปค่าไว้ในตารางที่ 3.1 ค่าความต้านทานขนาด 337 โอห์ม และแหล่งจ่าย 35 โวลต์กระแสสลับ โดยใช้โปรแกรม Pspice ในการจำลองวงจรไฟฟ้าพิจารณาการเปลี่ยนแปลงขนาดของแรงดันไฟฟ้า และขนาดของกระแสไฟฟ้าที่ขดลวดตัวหนึ่งยาน้ำ



รูปที่ 3.16 วงจรบนระดับแรงดันไฟฟ้า ที่ขดลวดตัวหนึ่งยาน้ำ ($L = 140$ มิลลิเมตร)



รูปที่ 3.17 ขนาดของแรงดันไฟฟ้าที่ขดลวดตัวเหนี่ยววนนำ ($L = 140$ มิลลิเอมิร)



รูปที่ 3.18 ขนาดของกระแสไฟฟ้าที่ขดลวดเหนี่ยววนนำ ($L = 140$ มิลลิเอมิร)

ผลที่ได้จากการใช้โปรแกรม Pspice พบว่าขนาดของแรงดันไฟฟ้าของขดลวดตัวเหนี่ยววนนำ ขนาด 140 มิลลิเอมิร จากรูปที่ 3.17 จะเห็นได้ว่า มีการแกว่งเกิดขึ้นเล็กน้อยในช่วงเวลาเริ่มต้นตั้งแต่ 0-250 มิลลิวินาที และในช่วงท้ายแรงดันไฟฟ้ามีความเรียบ ในช่วงเวลาที่พิจารณา 500 มิลลิวินาที โดยมีค่าแรงดันไฟฟ้าสูงสุดอยู่ที่ 48 โวลต์ ต่ำสุดที่ 30 โวลต์ โดยเฉลี่ยอยู่ที่ 48 โวลต์ และพบว่าขนาดของกระแสไฟฟ้ามีค่าพุ่งสูงขึ้น ที่สามารถยอมรับได้ในช่วงแรก และในช่วงเวลาต่อมาจนถึง 500 มิลลิวินาที กระแสไฟฟ้ามีค่าต่ำมาก ดังรูปที่ 3.18 ซึ่งเป็นผลมาจากการขดลวดตัวเหนี่ยววนนำที่มีค่าเพิ่มมากขึ้น ทำให้กระแสมีการแกว่งลดลงมาก และยังส่งผลให้ตัวเรียงกระแส หรือระบบส่งจ่ายไฟฟ้าเข้าขดลวดตัวเหนี่ยววนนำมีค่าตัวประกอบความผลี้ (Ripple factor, RF) น้อยลงมาก (สำหรับตัวเรียงกระแสที่ส่งจ่ายแรงดันไฟฟ้าให้กับวงจรบรรดับแรงดันไฟฟ้าในอุดมคติจะมี $FF = 1$ และ $RF = 0$) โดยสามารถพิจารณาได้ดังนี้

$$RF = \sqrt{FF^2 - 1} \quad (3.4)$$

ตัวประกอบรูปแบบ (Form factor, FF) เป็นตัววัดรูปร่างลักษณะของแรงดันไฟฟ้าที่ส่งจ่ายให้กับวงจรทบทะระดับแรงดันที่ผ่านขดลวดตัวเหนี่ยวนำ

$$FF = \frac{V_{rms}}{V_{dc}} \text{ จะได้ } FF = \frac{50}{48} = 1.042$$

จากสมการที่ (3.4)

$$RF = \sqrt{1.04^2 - 1}$$

$$RF = 0.292$$

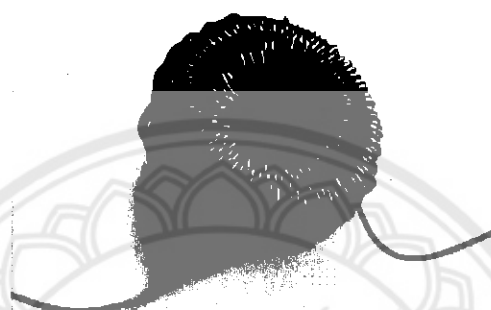
ดังนั้น ค่าตัวประกอบความคลื่ว (RF) ผลที่ได้จากการใช้โปรแกรม Pspice ในกรณีค่าขดลวดเหนี่ยวนำต่างๆ เมื่อพิจารณาจากกราฟพบว่า ด้านภาคของขดลวดตัวเหนี่ยวนำ (L) มีค่าเพิ่มมากขึ้นจะทำให้การแก่วงของระดับแรงดันไฟฟ้ามีค่าน้อยลง และการปั๊บ-ลงของกระแสไฟฟ้าจะมีค่าลดลงไปด้วย โดยขนาดของขดลวดตัวเหนี่ยวนำไปในแต่ละกรณีมีค่าที่แตกต่างกันมาก เป็นเพราะว่าขนาดของขดลวดตัวเหนี่ยวนำไปเปลี่ยนแปลงไป เนื่องจากขนาดของขดลวดตัวเหนี่ยวจะทำหน้าที่เป็นตัวสะสน พลังงานไฟฟ้า และทำหน้าที่หน่วงกระแส ดังนั้นจึงเลือกใช้ขนาดของขดลวดตัวเหนี่ยวนำ (L) ที่มีขนาดเท่ากับ 140 มิลลิเอนรี่ โดยจะพิจารณาจาก ค่าตัวประกอบความคลื่ว (Ripple factor, RF) ดังตารางที่ 3.1 โดยค่าตัวประกอบความคลื่ว คือ ความสามารถของวงจรเรียงกระแสเพิ่มค่านี้แบบบริจ์ในการจ่ายแรงดันไฟฟ้าให้กับวงจรทบทะระดับแรงดันไฟฟ้า

เนื่องจากสัญญาณระดับแรงดันไฟฟ้าอาจที่พุ่งของวงจรเรียงกระแสเพิ่มค่านี้แบบบริจ์ จะมีทั้งองค์ประกอบไฟฟ้าตรงและองค์ประกอบไฟฟ้าสลับ โดยวงจรเรียงกระแสเพิ่มค่านี้แบบบริจ์ ในอุดมคติจะมีค่าตัวประกอบความคลื่ว ซึ่งจะเท่ากับ 0 ซึ่งสามารถเป็นตัวจ่ายแรงดันไฟฟ้าตรงได้ที่สุด จึงเลือกใช้ขนาดตัวเหนี่ยวนำ 140 มิลลิเอนรี่ เป็นค่าที่เหมาะสมสำหรับกับการใช้งาน ในส่วนของวงจรทบทะระดับแรงดันไฟฟ้าในการเพิ่ม-ลดระดับแรงดันไฟฟ้า ที่ค่าความต้านทาน (R) ของเนื้อโภคเท่ากับ 337 โอห์ม

ตารางที่ 3.1 แสดงค่าตัวประกอบความคลื่ว (RF)

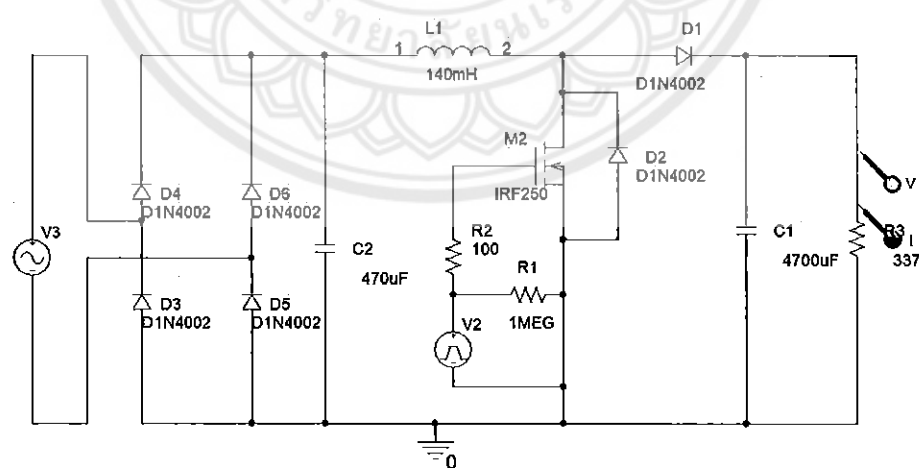
ขนาดของขดลวดเหนี่ยวนำ (mH)	ค่าตัวประกอบความคลื่ว (RF)
1	1.368
10	1.049
50	0.646
100	0.456
140	0.292

จากตารางสามารถสรุปได้ว่า ถ้าขดลวดเหนี่ยวนำ (L) มีค่ามาก กระแสจะขึ้น-ลงช้า (Ripple factor น้อย) และถ้าหากขดลวดเหนี่ยวนำ (L) มีค่าน้อย กระแสจะขึ้น-ลงเร็ว (Ripple factor มาก) จากการจำลอง และพิจารณาเลือกใช้ขนาดของขดลวดตัวเหนี่ยวนำ โดยใช้โปรแกรม Pspice จากนั้นสร้างขดลวดตัวเหนี่ยวนำขนาด 140 มิลลิเซนต์ โดยสร้างจากน้ำหลวงทองแดงพันเข้ากับแกนแกรไฟต์กลม ดังรูปที่ 3.19

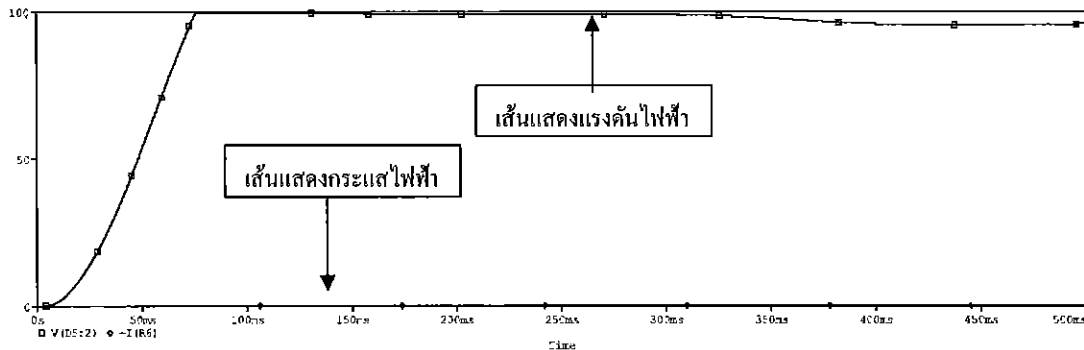


รูปที่ 3.19 ขดลวดเหนี่ยวนำที่ออกแบบขนาด 140 มิลลิเซนต์

ในการต่อขดลวดตัวเหนี่ยวนำ 140 มิลลิเซนต์ ในวงจรบรรดับแรงดันไฟฟ้า โดยใช้โปรแกรม Pspice ดังรูปที่ 3.20 และทดสอบขนาดแรงดันไฟฟ้า และขนาดกระแสไฟฟ้าเอาไว้พุ่ง ดังรูปที่ 3.21

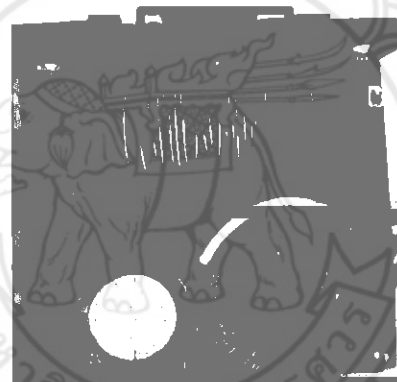


รูปที่ 3.20 วงจรบรรดับแรงดันไฟฟ้า ที่ค่าความต้านทาน (R) เท่ากับ 337 โอห์ม



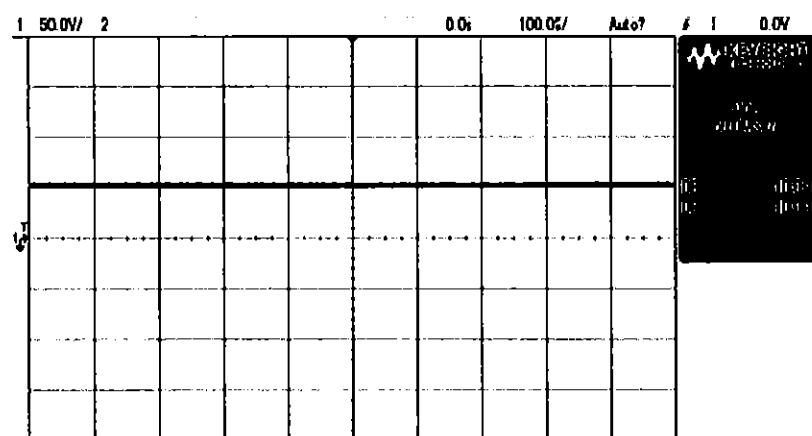
รูปที่ 3.21 ขนาดแรงดัน และกระแสทางด้านเอาท์พุต ที่ค่าความต้านทาน (R) เท่ากับ 337 โอห์ม

ขั้นตอนไป กีอิการสร้างวงจรทบทรังคัน เพื่อใช้ในการเพิ่มแรงดันขาเข้าให้มีค่าเพิ่มขึ้น เพื่อใช้ในการกระตุนเน็ตโอดิโน่ โดยใช้พารามิเตอร์ที่ได้คำนวณไว้ข้างต้นมาประกอบเป็นวงจรทบทรังคันดังรูปที่ 3.22

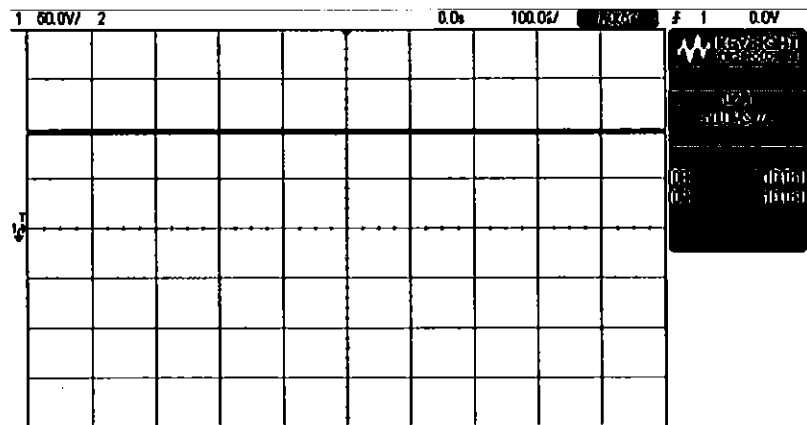


รูปที่ 3.22 วงจรทบทรังคัน (วงจรที่ได้สร้างขึ้น)

หาระดับของแรงดัน โดยใช้ออสซิลโลสโคปวัดสัญญาณแรงดันขาออก โดยปรับค่าดิวตี้ไซเคิลค่าสุด และสูงสุด ได้สัญญาณแรงดันขาออก ดังแสดงในรูปที่ 3.23 และ 3.24 ตามลำดับ



รูปที่ 3.23 สัญญาณแรงดันขาออกของวงจรทบทรังคัน ($D = 0\%$), (50 V/div, 0 Time/div)



รูปที่ 3.24 สัญญาณแรงดันขาออกของวงจรทบแรงดัน ($D = 50\%$), (50 V/div, 0 Time/div)

การเปรียบเทียบระดับแรงดันไฟฟ้าเอาท์พุตที่ได้จากการคำนวณทางทฤษฎี กับระดับแรงดันไฟฟ้าเอาท์พุต ที่ออกจากรวงจรทบระดับแรงดันไฟฟ้าที่ได้ทำการออกแบบ โดยใช้เครื่องมือวัด ออสซิลโลสโคป เพื่อวัดระดับแรงดันไฟฟ้า พบร่วมเมื่อค่า D มากขึ้นระดับแรงดันทางด้านเอาท์พุตของวงจรทบระดับแรงดัน ก็จะมีค่าเพิ่มขึ้น ดังตารางที่ 3.2

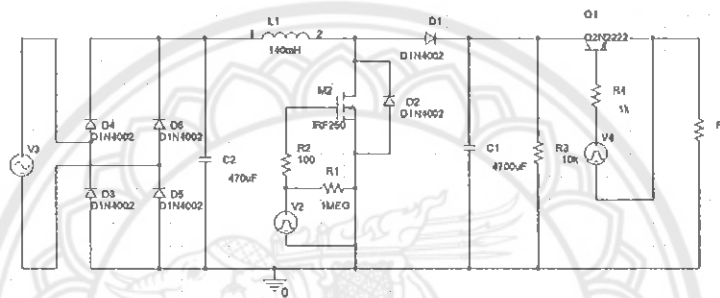
ตารางที่ 3.2 การเปรียบเทียบแรงดันไฟฟ้าจากทฤษฎีและจากวงจรที่ออกแบบ

ค่าดิจิต์ไซเคิล(%)	แรงดันขาเข้า(VDC)	แรงดันขาออกจาก(VDC)	
		จากทฤษฎี $\frac{V_o}{V_s} = \frac{1}{1-D}$	จากวงจร
0	50	50.00	50.00
20	50	62.50	61.70
30	50	71.42	70.85
40	50	83.33	82.16
50	50	100.00	100.00

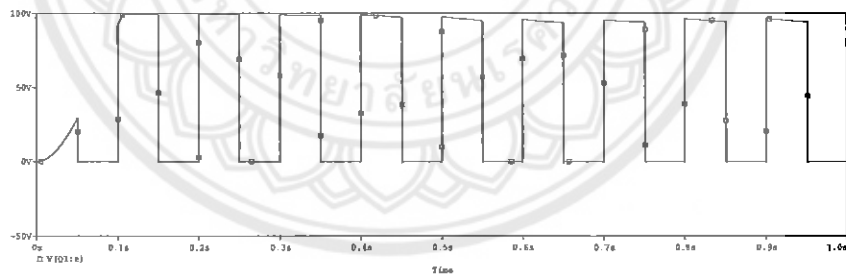
ซึ่งค่าความคาดเดือนนี้ อาจเกิดจากในทางทฤษฎี เมื่อค่า D เพิ่มขึ้นค่าอัตราขยายแรงดันไฟฟ้าจะเพิ่มขึ้นแบบไม่เชิงเส้น โดยอัตราการขยายแรงดันไฟฟ้าขึ้นต่ำสุดคือ หนึ่งหรือแรงดันไฟฟ้าด้านออกเท่ากับกับแรงดันไฟฟ้าด้านเข้าตามทฤษฎี แต่ในทางปฏิบัติแรงดันไฟฟ้าด้านออกจะมีค่าน้อยกว่าแรงดันไฟฟ้าด้านเข้าเล็กน้อย เนื่องจากมีแรงดันไฟฟ้าตกร่องໄ/do โอดและ ตัวอุปกรณ์สวิตช์

3.2.5 การพัฒนาวงจรชوبเปอร์

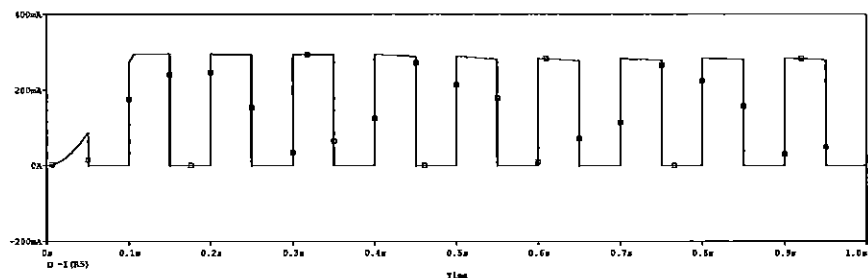
เครื่องกระดูนเนื้อโคนุ่มตัวยกระดับไฟฟ้า จะมีแรงดันไฟฟ้ากระแสตรงทางด้านเอาท์พุต ในลักษณะเป็นพัลส์แรงดัน โดยแรงดันไฟฟ้ากระแสตรงเหล่านี้ถูกส่งมาจากวงจรทบทรับดับแรงดัน นำจังหวะชوبเปอร์เพื่อสร้างแรงดันให้มีลักษณะเป็นพัลส์แรงดันขนาดต่างๆ โดยรูปแบบวงจรจะเปลี่ยนแปลงให้เล็กลง โดยการออกแบบลักษณะวงจรลงบนแผ่นวงจรพิชีซี จำนวนวงจรทบทรับ แรงดันและวงจรชوبเปอร์เข้าไว้ในแผ่นวงจรเดียวกัน โดยจะสามารถใช้โปรแกรม Pspice จำลอง สัญญาณแรงดันพัลส์ดีซี และกระแสพัลส์ดีซีได้ดังรูปที่ 3.26 และ 3.27 ตามลำดับ โดยภายในวงจร ชوبเปอร์จะต้องประกอบไปด้วยทรานซิสเตอร์ซึ่งทำหน้าที่คลายสวิตซ์อยู่ภายในวงจรด้วยดังรูป 3.25



รูปที่ 3.25 จำลองวงจรชوبเปอร์โดยใช้โปรแกรม Pspice

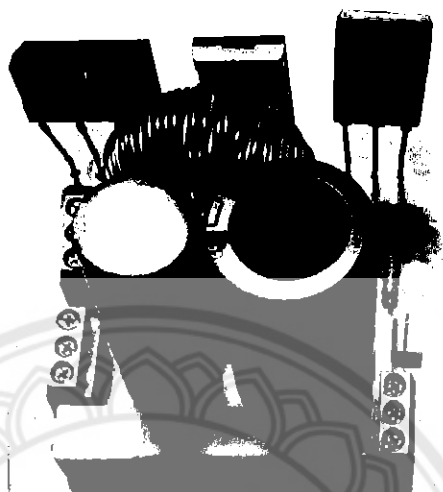


รูปที่ 3.26 แรงดันพัลส์ดีซีจากวงจรชوبเปอร์ โดยใช้โปรแกรม Pspice



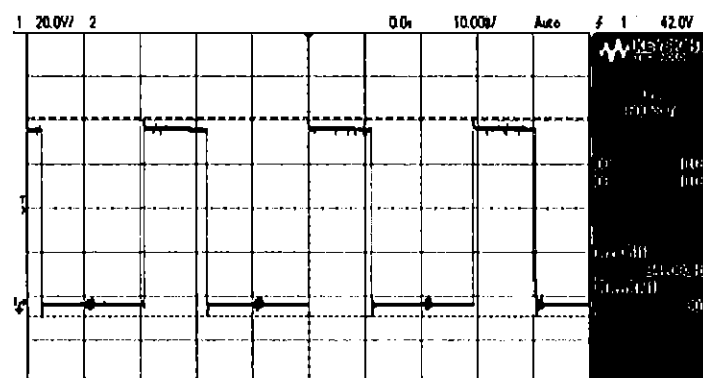
รูปที่ 3.27 กระแสพัลส์ดีซีจากวงจรชوبเปอร์ โดยใช้โปรแกรม Pspice

ขั้นตอนต่อไปคือการสร้างวงจรชอปเปอร์ตามวงจรที่ออกแบบไว้ จะได้วงจรชอปเปอร์และวงจรบระดับแรงดันอยู่ในแผงวงจรเดียวกัน โดยได้นำพารามิเตอร์ที่ได้คำนวณไว้ซึ่งตั้งมาสร้างเป็นแผงวงจรปรินต์ ดังรูปที่ 3.28

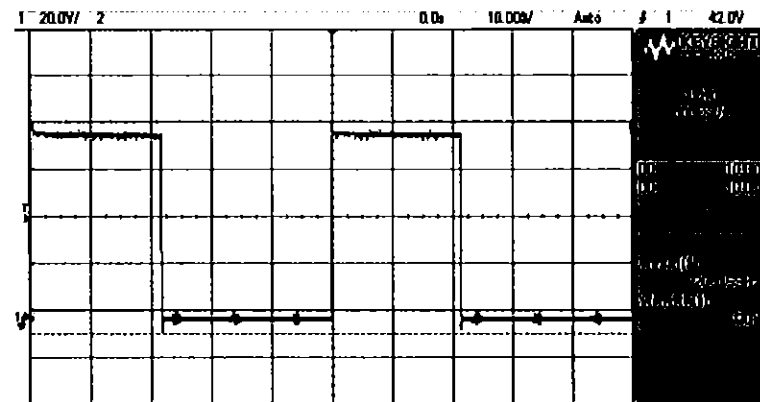


รูปที่ 3.28 วงจรชอปเปอร์และวงจรบระดับแรงดัน (วงจรที่ได้สร้างขึ้น)

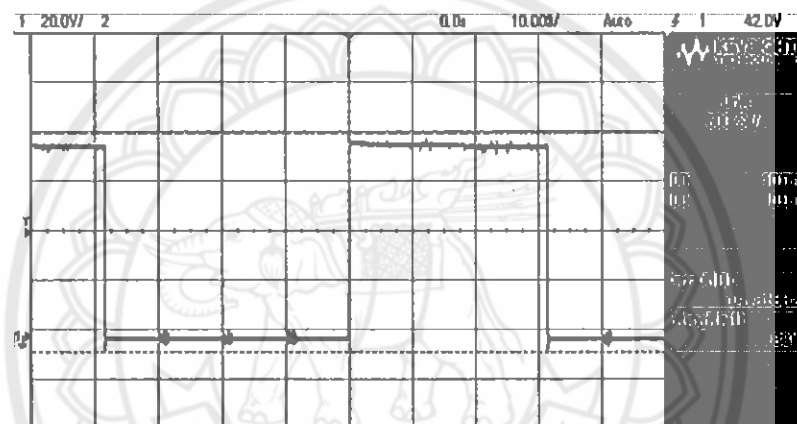
วงจรชอปเปอร์สามารถเลือก ระดับแรงดัน ได้หลายระดับตามต้องการ รวมถึงสามารถเลือกความกว้างพัลส์ได้หลายนาภาคอิกค์วาย ซึ่งขนาดความกว้างพัลส์นั้นจะมีผลต่อนาฬของแรงดันไฟฟ้าเพียงเล็กน้อยเท่านั้นเนื่องจากมีช่วงเวลาการ เปิด-ปิด ของกรานซิสเตอร์เท่ากันทุกช่วง ความกว้างพัลส์ โดยได้เลือกขนาดพัลส์ของแรงดันไฟฟ้ากระแสตรงทางด้านขวาที่พุดมีพิกัดแรงดัน 50, 70 และ 90 โวลต์ ทำการวัดแรงดันด้านนอกของวงจรชอปเปอร์ด้วยอุปกรณ์วัด օสซิโลสโคป และได้สรุปค่าต่างๆดังตารางที่ 3.3, 3.4 และ 3.5 ซึ่งได้ยกตัวอย่างในการปรับเปลี่ยนช่วงพัลส์หรือขนาดของพัลส์แรงดัน ได้ 10, 20, 30 และ 40 มิลลิวินาที โดยขนาดของแรงดันไฟฟ้ามีค่าเท่ากับ 90 โวลต์ ดังรูปที่ 3.29, 3.30, 3.31 และ 3.32 ตามลำดับ



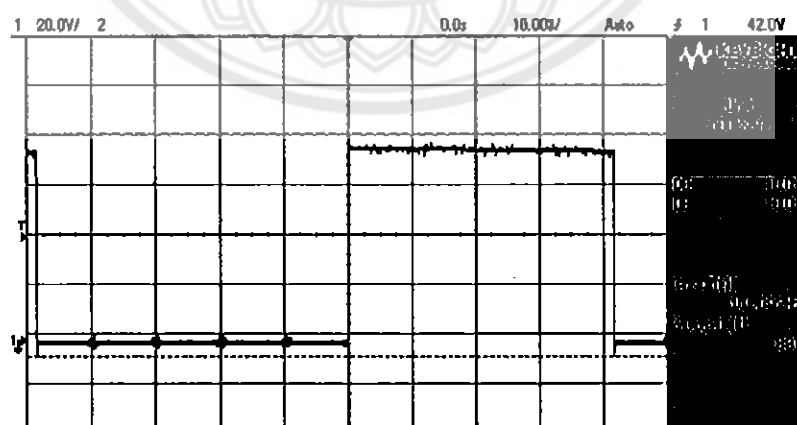
รูปที่ 3.29 แรงดันพัลส์ดีซีจากวงจรชอปเปอร์ (90 โวลต์/10 มิลลิวินาที), (20 V/div, 10 Time/div)



รูปที่ 3.30 แรงดันพัลส์ดีซีจากวงจรชดเปอร์ (90 วอลต์/20 มิลลิวินาที), (20 V/div, 10 Time/div)



รูปที่ 3.31 แรงดันพัลส์ดีซีจากวงจรชดเปอร์ (90 วอลต์/30 มิลลิวินาที), (20 V/div, 10 Time/div)



รูปที่ 3.32 แรงดันพัลส์ดีซีจากวงจรชดเปอร์ (90 วอลต์/40 มิลลิวินาที), (20 V/div, 10 Time/div)

ตารางที่ 3.3 แสดงระดับแรงดันไฟฟ้า 50 โวลต์ เมื่อปรับเปลี่ยนความกว้างพัลส์

พิกัดแรงดันไฟฟ้า (VDC)	ความกว้างพัลส์ (ms)	พัลส์แรงดันเอาท์พุต (VDC)	ค่าความคลาดเคลื่อน (%)
50	10 ms	50.00	0.00
	20 ms	50.00	0.00
	30 ms	50.00	0.00
	40 ms	50.00	0.00

ตารางที่ 3.4 แสดงระดับแรงดันไฟฟ้า 70 โวลต์ เมื่อปรับเปลี่ยนความกว้างพัลส์

พิกัดแรงดันไฟฟ้า (VDC)	ความกว้างพัลส์ (ms)	พัลส์แรงดันเอาท์พุต (VDC)	ค่าความคลาดเคลื่อน (%)
70	10 ms	70.00	0.00
	20 ms	70.00	0.00
	30 ms	70.00	0.00
	40 ms	70.00	0.00

ตารางที่ 3.5 แสดงระดับแรงดันไฟฟ้า 90 โวลต์ เมื่อปรับเปลี่ยนความกว้างพัลส์

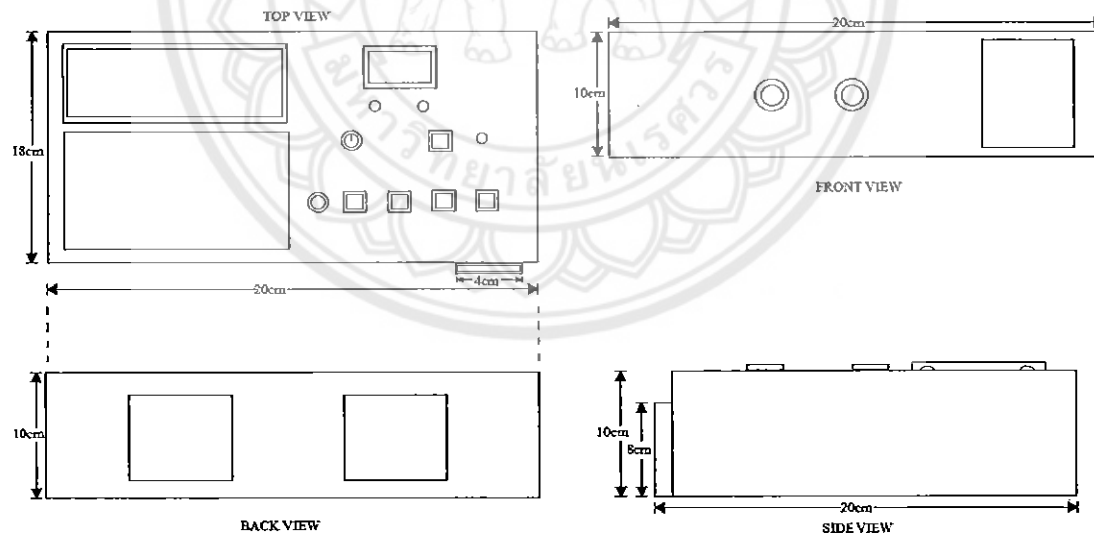
พิกัดแรงดันไฟฟ้า (VDC)	ความกว้างพัลส์ (ms)	พัลส์แรงดันเอาท์พุต (VDC)	ค่าความคลาดเคลื่อน (%)
90	10 ms	90.00	0.00
	20 ms	88.00	2.22
	30 ms	88.00	2.22
	40 ms	89.00	1.11

3.3 การออกแบบเครื่องกระตุ้นเนื้อโคนุ่มด้วยกระแสไฟฟ้า

จากการพัฒนาวงจรกำลัง และวงจรควบคุมแล้วจากนั้นนำแต่ละวงจรต่อเข้าด้วยกันเพื่อให้ วงจรแต่ละวงจรสามารถทำงานร่วมกันได้อย่างมีประสิทธิภาพ และทำการประเมินคุณลักษณะ โดยรวมของอุปกรณ์และหน้าเปล่งต่างๆ โดยคำนึงถึงหลักความเป็นจริง เช่น ความสูง และความ กว้างของอุปกรณ์จริง จึงสามารถคำนวณและประเมินการออกแบบลักษณะตัวเครื่องที่มีรูปลักษณะ ใหม่และมีขนาดเล็กกว่า เครื่องกระตุ้นเนื้อรุ่นเดิมอย่างเห็นได้ชัดเจน

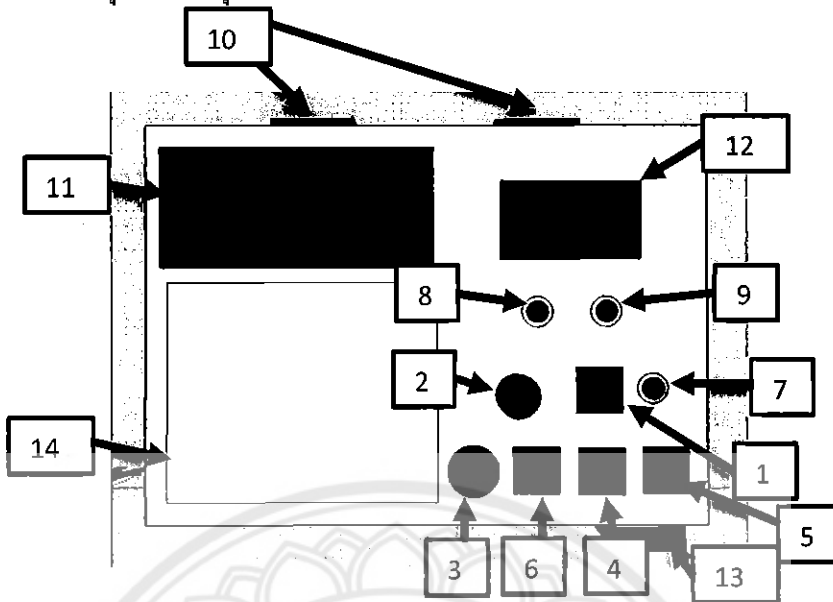
3.3.1 จำลองแบบโครงสร้างเครื่องกระตุ้นเนื้อโคนุ่มด้วยกระแสไฟฟ้า

จากที่ได้ออกแบบโครงสร้างของแต่ละวงจร และวิธีขั้นตอนการทำงานของวงจรต่างๆ ภายในเครื่องกระตุ้นเนื้อโคนุ่มด้วยกระแสไฟฟ้า จากนั้นจึงทำการออกแบบโครงสร้างของ เครื่องกระตุ้นเนื้อโคนุ่มด้วยกระแสไฟฟ้าโดยใช้โปรแกรม SketchUp ในการออกแบบ โดยมีขนาด ของตัวเครื่อง ดังรูปที่ 3.33 และลักษณะโดยรวมของเครื่อง ดังรูปที่ 3.34 โดยจะมีพื้นในส่วนของ วงจรกำลังและวงจรควบคุมรวมอยู่ด้วยกัน เช่น มีปุ่มกด จอแสดงผลแอลซีดี เพื่อปรับตั้งค่า และ แสดงผลต่างๆ เพื่อให้สะดวกต่อการใช้งาน สะดวกต่อการเคลื่อนย้าย และมีความปลอดภัยต่อการใช้ งานต่อผู้ใช้



รูปที่ 3.33 ขนาดของเครื่องกระตุ้นเนื้อโคนุ่มด้วยกระแสไฟฟ้า

เครื่องกระตุ้นเนื้อโคนุ่มด้วยกระแสไฟฟ้าที่ได้ออกแบบโดยใช้โปรแกรม SketchUp



รูปที่ 3.34 แบบจำลองเครื่องกระตุ้นเนื้อโคนุ่มด้วยกระแสไฟฟ้า

ส่วนประกอบต่างๆของเครื่องกระตุ้นเนื้อโคนุ่มด้วยกระแสไฟฟ้า

- 1) ปุ่มเปลี่ยนความกว้างพัลส์แรงดันไฟฟ้า
- 2) ปุ่มปรับระดับแรงดัน
- 3) ปุ่มเริ่มการทำงาน
- 4) ปุ่มกดปรับตั้งเพิ่มเวลา
- 5) ปุ่มกดปรับตั้งลดเวลา
- 6) ปุ่มกดเริ่มการทำงาน
- 7) หลอดแอลอีดีแสดงสถานะเลือกการตั้งความกว้างพัลส์แรงดันไฟฟ้า
- 8) หลอดแอลอีดีแสดงสถานะขณะทำงาน
- 9) หลอดแอลอีดีแสดงสถานะหยุดการทำงาน
- 10) พัดลมระบายความร้อน
- 11) หน้าจอแสดงผลการทำงาน
- 12) หน้าจอแสดงระดับแรงดันไฟฟ้าและกระแสไฟฟ้า
- 13) กล่องใส่สายและหัวไฟrob
- 14) คู่มือแสดงการใช้งาน

3.3.2 วงจรภายในและโครงสร้างเครื่องกระตุนเนื้อโคนุ่มนด้วยกระแสไฟฟ้า

การสร้างเครื่องกระตุนเนื้อโคนุ่มนด้วยกระแสไฟฟ้าที่ได้ออกแบบไว้แล้วด้วยโปรแกรม SketchUp โดยเครื่องที่ได้ทำการสร้างขึ้นมีลักษณะของเครื่องดังรูปที่ 3.35 และ 3.36 ซึ่งการประกอบตัวเครื่องและวงจรสามารถทำได้ง่ายขึ้น โดยจำนวนของการใช้สายไฟในการเชื่อมต่อมีจำนวนที่น้อยลง เนื่องมาจากการตัวเครื่องมีขนาดเล็กลง และแพลงลายวงจร ได้ออกแบบเป็นแพลงลายวงจรปรินต์โดยมีวิธีการต่อวงจรดังนี้

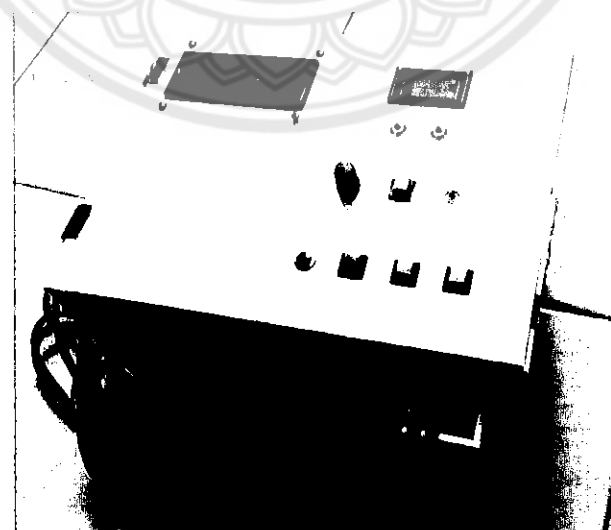
1) ต่อแหล่งจ่ายไฟฟ้ากระแสตรง เข้ากับตัววงจรทบระดับแรงดัน เพื่อส่งจ่ายแรงดันขนาด 50 โวลต์ เข้าสู่วงจรทบระดับแรงดันดังกล่าว โดยถูกกำหนดให้เป็นแรงดันขาเข้า

2) ต่อแหล่งจ่ายไฟฟ้ากระแสตรงขนาด 5 โวลต์ และ 12 โวลต์ เข้ากับวงจรขยายสัญญาณพัลส์ เพื่อให้เป็นไฟเลี้ยงให้กับไอซิเบอร์ IR 2110 ในวงจรขยายสัญญาณพัลส์ให้สามารถทำงานได้

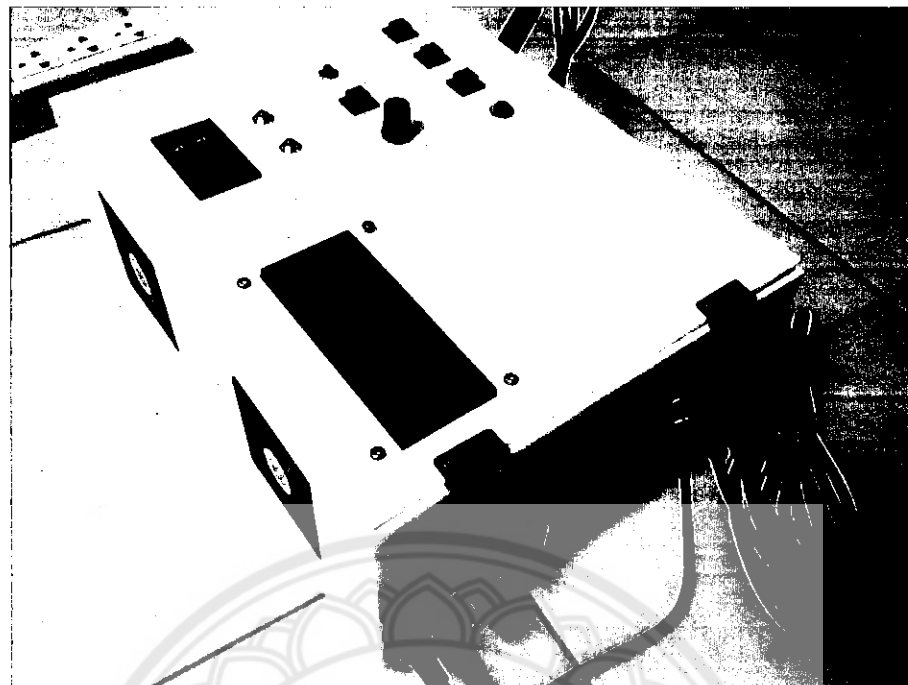
3) นำบอร์ด Arduino ที่สร้างสัญญาณพัลส์ไปต่อเข้ากับวงจรขยายสัญญาณพัลส์ เพื่อทำให้สัญญาณพัลส์มีขนาดของแอนบิจูดเพิ่มมากขึ้น

4) นำสัญญาณพัลส์ที่ถูกขยายแล้วไปต่อเข้ากับวงจรทบระดับแรงดัน เพื่อมาใช้สวิตช์ชีวะ mosfet ในแพลงวงจรทบระดับแรงดันเพื่อให้วงจรสามารถทำงานเป็นตัวสวิตช์ชีวะได้

5) ปรับค่าดิวตี้ไซเคิล โดยการปรับค่าตัวต้านทานปรับค่าได้ที่ออกแบบไว้เพื่อควบคุมการทำงานของวงจรทบระดับแรงดันให้ออกมาตามต้องการ จากนั้นนำแรงดันที่ได้ส่งจ่ายไปยังในส่วนของวงจรชอปเปอร์ เพื่อทำให้แรงดันเอาท์พุตมีลักษณะเป็นพัลส์แรงดัน



รูปที่ 3.35 ด้านหน้าเครื่องกระตุนเนื้อโคนุ่มนด้วยกระแสไฟฟ้า

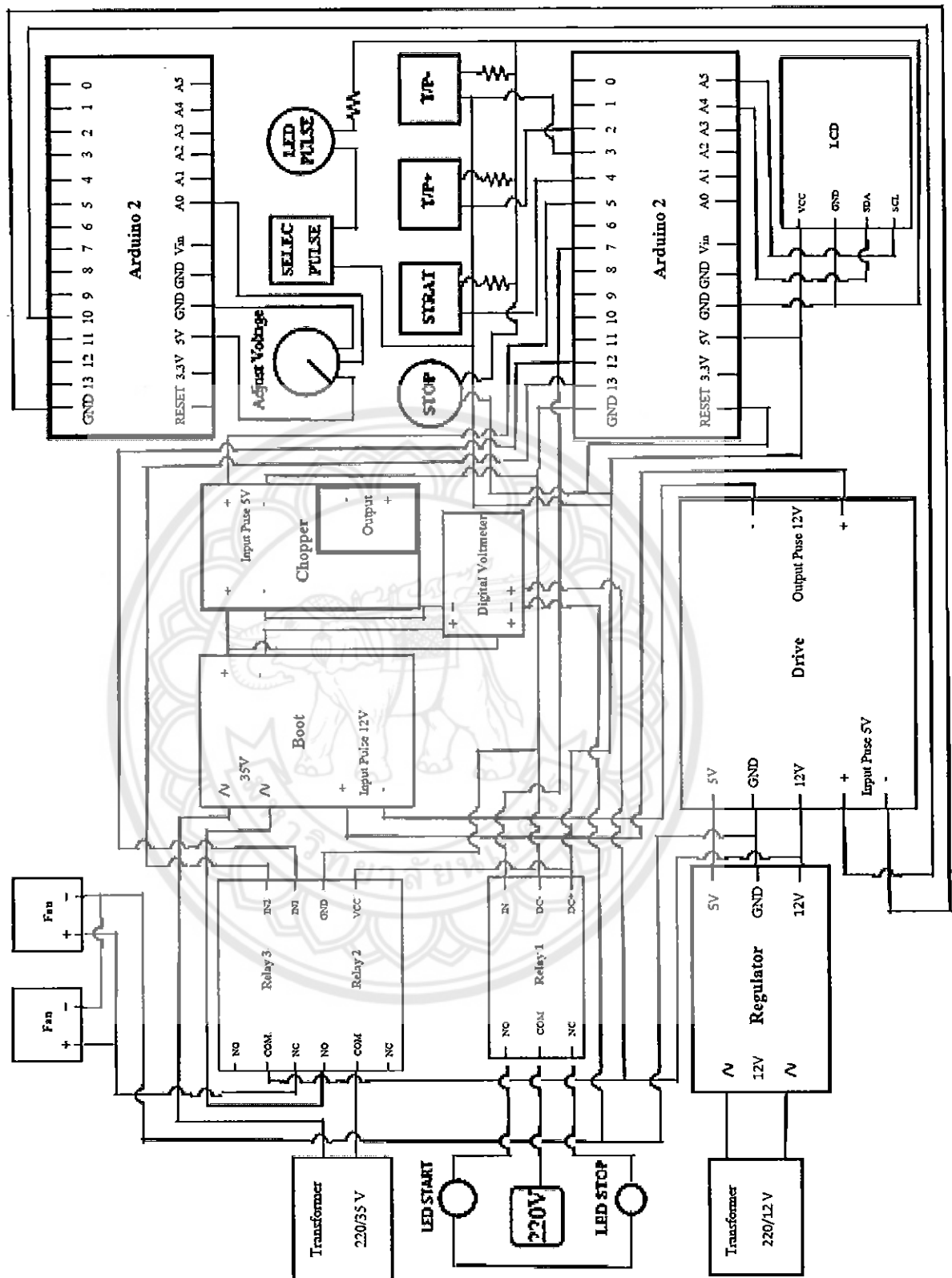


รูปที่ 3.36 ค้านหลังเครื่องกระตุ้นเนื้อโคนุ่มด้วยกระแสไฟฟ้า

จากวิธีการต่อวงจรหรือขั้นตอนการต่อวงจรกำลังให้สามารถทำงานร่วมกับวงจรควบคุมเพื่อนำมาสร้างเครื่องกระตุ้นเนื้อโคนุ่มด้วยกระแสไฟฟ้า โดยจะมีลักษณะของการต่อวงจรไฟฟ้าภายในเครื่องกระตุ้นเนื้อโคนุ่มด้วยกระแสไฟฟ้า ดังรูปที่ 3.37 และแผนผังการต่อวงจรดังรูปที่ 3.38



รูปที่ 3.37 รูปแบบการต่อวงจรของเครื่องกระตุ้นเนื้อโคนุ่มด้วยกระแสไฟฟ้า



รูปที่ 3.38 รูปแบบลายเส้นการต่อวงจรของเครื่องกระตุ้นเนื้อโคน้ำด้วยกระแสไฟฟ้า

3.4 การทดสอบประสิทธิภาพ

จากการสร้างเครื่องกระตุ้นเนื้อโค่นมดด้วยกระแสไฟฟ้าโดยมีการติดตั้งแมงวงจรให้ทำงานร่วมกัน และติดตั้งอุปกรณ์อื่นๆเพิ่มเติม จากนั้นจึงทำการทดสอบการทำงานของตัวเครื่อง โดยใช้เครื่องมือวัด เช่น ออสซิล โลสโคป โวลต์มิเตอร์ และมัลติมิเตอร์ เพื่อใช้วัดขนาดของแรงดันไฟฟ้า และขนาดของกระแสไฟฟ้าหลังการทำงาน ซึ่งเป็นการทดสอบทางด้านขีดจำกัดการทำงานของเครื่อง และความปลอดภัยของเครื่องต่อการใช้งาน

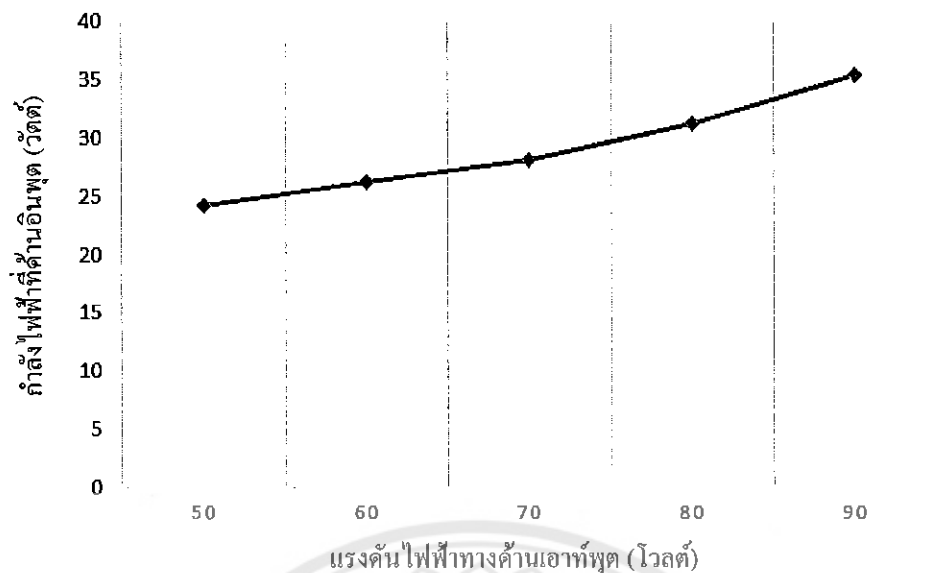
3.4.1 ทดสอบกำลังใช้งานสูงสุดทางด้านอินพุต

ทำการทดสอบหากำลังไฟฟ้าที่เครื่องใช้งานสูงสุดที่ ระดับแรงดันเอาท์พุตที่ 50, 60, 70, 80 และ 90 โวลต์ โดยได้ทำการวัดค่ากระแสไฟฟ้าที่ด้านอินพุต ทางผิวของหม้อแปลง 35 โวลต์ และ 12 โวลต์ ขนาด 1 แอมป์ ดังตารางที่ 3.6

ตารางที่ 3.6 แสดงกระแสไฟฟ้าสูงสุดและกำลังไฟฟ้าสูงสุดทางด้านอินพุต

ขนาดแรงดันเอาท์พุต ไฟฟ้ากระแสตรง (VDC)	ขนาดแรงดันไฟฟ้า อินพุตกระแสสลับ (VAC)	กระแสไฟฟ้าที่ด้าน อินพุต (A)	กำลังไฟฟ้าสูงสุดที่ ด้านอินพุต (W)
50	220	0.110	24.20
60	220	0.119	26.18
70	220	0.128	28.16
80	220	0.142	31.24
90	220	0.161	35.42

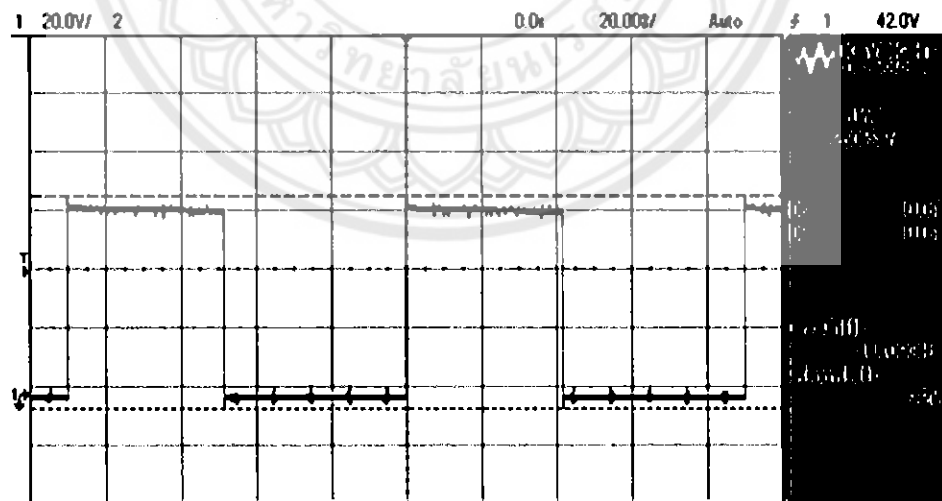
จากตารางที่ 3.6 จะเห็นได้ว่าเมื่อปรับแรงดันไฟฟ้า ทางด้านเอาท์พุตของตัวเครื่องให้มีค่ามากขึ้น กำลังไฟฟ้าที่ใช้ก็จะมีค่ามากตามไปด้วย โดยสามารถสังเกตได้จากรูปที่ 3.39



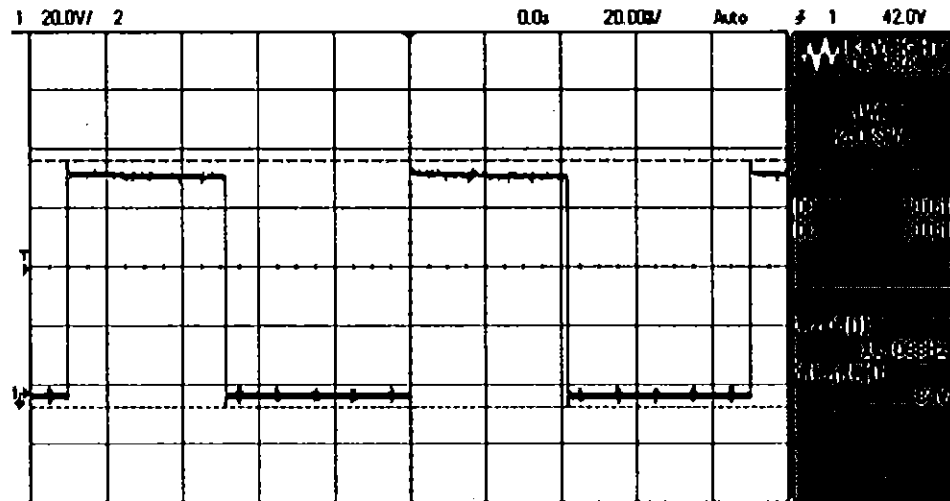
รูปที่ 3.39 แผนภาพกำลังไฟงานสูงสุดทางด้านอินพุต

3.4.2 ทดสอบการเปลี่ยนแปลงของกำลังไฟฟ้าทางด้านเอาท์พุต

ทำการทดสอบโดยวัดระดับแรงดัน และกระแสไฟฟ้า ทางด้านเอาท์พุตของวงจรซูปเปอร์ โดยใช้เครื่องมือวัด ออสซิลโลสโคป ในการทดสอบที่ระดับแรงดัน 90 โวลต์ ขนาดพัลส์ 40 มิลลิวินาที เป็นระยะเวลา 5 นาที คั่งรูป 3.40 และ 3.41 โดยเทียบขนาดแรงดันและขนาดไฟฟ้ากระแสตรงทางด้านเอาท์พุต ดังตารางที่ 3.7



รูปที่ 3.40 สัญญาณแรงดันทางด้านเอาท์พุตของวงจรซูปเปอร์ ที่เวลา 1 นาที (90โวลต์/40มิลลิวินาที), (20 V/div, 20 Time/div)

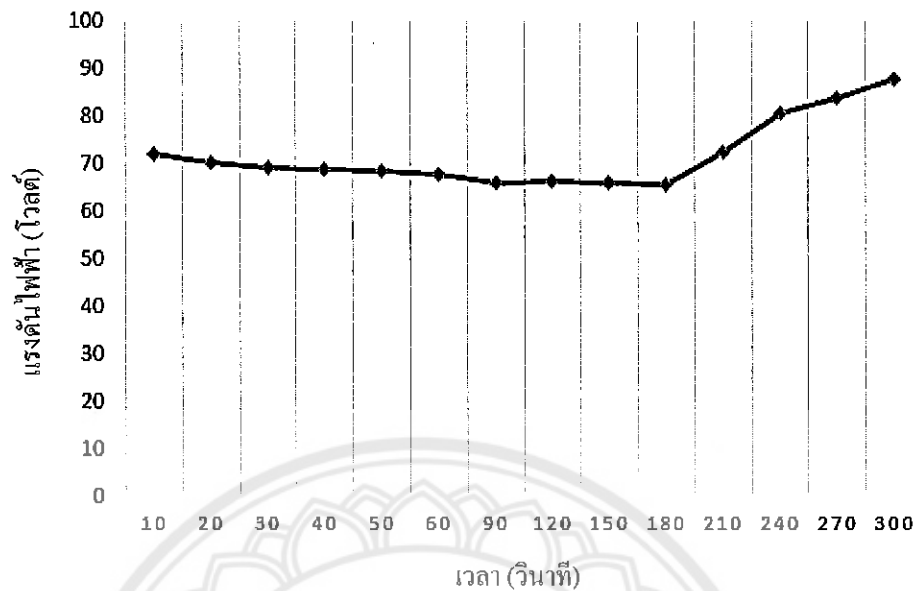


รูปที่ 3.41 สัญญาณแรงดันทางค้านเอาท์พุตของวงจรชดเปอร์ ที่เวลา 5 นาที
(90 โวลต์/40 มิลลิวินาที), (20 V/div, 20 Time/div)

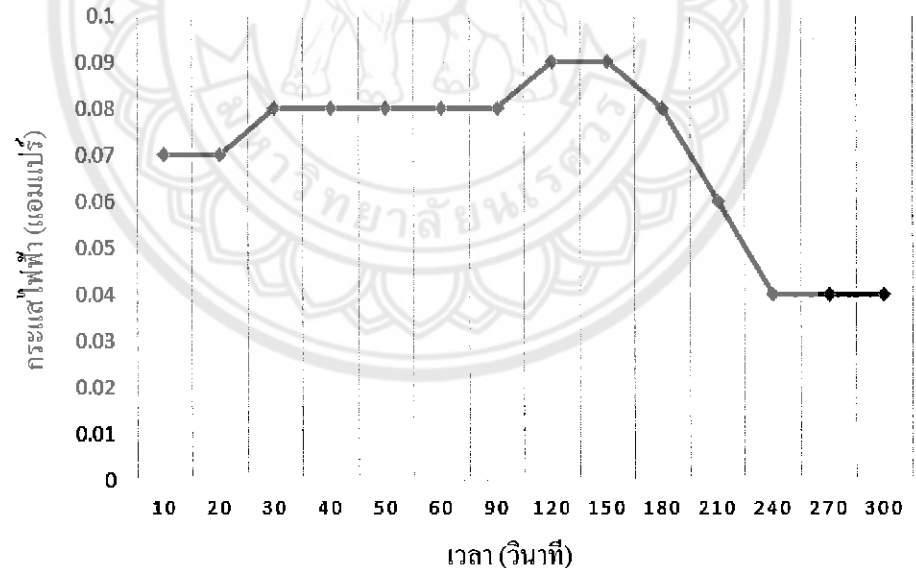
ตารางที่ 3.7 แสดงกระแสไฟฟ้าและขนาดพัลส์ทางค้านเอาท์พุตของวงจรชดเปอร์

ระยะเวลาใน การกระตุ้น (min)	ขนาด แรงดันไฟฟ้า (VDC)	ขนาดพัลส์ (ms)	ขนาด แรงดันไฟฟ้า ทางค้านออก (V)	ขนาด กระแสไฟฟ้า (A)	กำลังไฟฟ้าที่ ค้านเอาท์พุต (W)
1	90	40	72.00	0.077	5.544
2	90	40	65.95	0.080	5.276
3	90	40	65.50	0.085	5.568
4	90	40	76.30	0.050	3.815
5	90	40	84.00	0.040	3.360

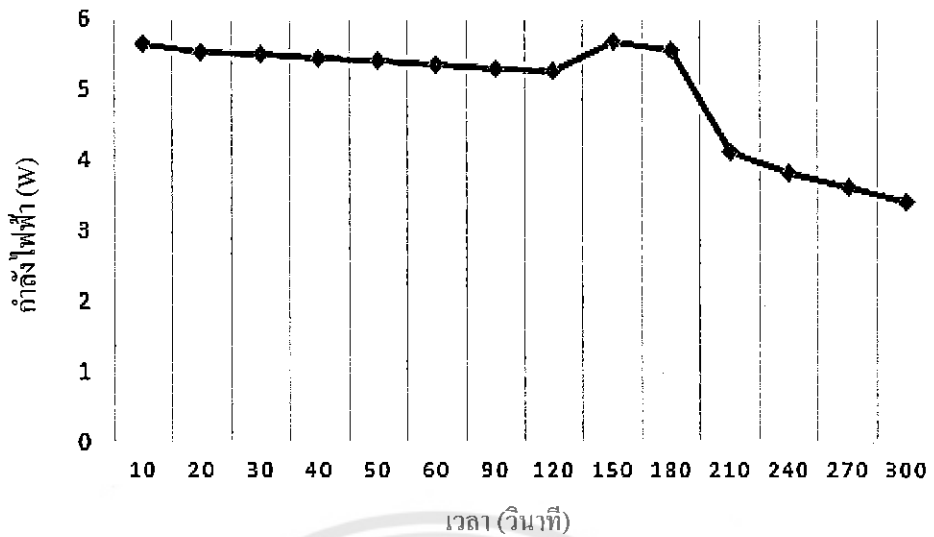
จากการทดสอบแรงดันไฟฟ้ากระแสตรง ที่เวลา 1-5 นาที จะได้ค่าขนาดของแรงดันไฟฟ้ากระแสตรง ขนาดกระแสไฟฟ้า และขนาดกำลังไฟฟ้าที่ค้านเอาท์พุตที่ไม่ผ่านเนื้อโคล จะมีลักษณะของการเปลี่ยนแปลงไป ดังรูปที่ 3.42, 3.43 และ 3.44 ตามลำดับ



รูปที่ 3.42 แผนภาพแรงดันไฟฟ้าที่ 90 โวลต์ 40 มิลลิวินาที 5 นาที



รูปที่ 3.43 แผนภาพกระแสไฟฟ้าที่ 90 โวลต์ 40 มิลลิวินาที 5 นาที



รูปที่ 3.44 แผนภาพกำลังไฟฟ้าด้านเอาท์พุตที่ 90 โวลต์ 40 มิลลิวินาที 5 นาที

จากการทดสอบ ด้วยแรงดันที่พิกัด 90 โวลต์ที่ใช้สำหรับกระตุ้นเนื้อโคให้มีความนุ่ม พบว่า ในแต่ละช่วงเวลาที่ใช้ในการกระตุ้น จากรูปที่ 3.43 จะเห็นว่าลักษณะกราฟของกระแสไฟฟ้าค่อนข้างมีค่าลดลง จึงส่งผลให้แรงดันไฟฟ้ามีค่าเพิ่มขึ้นดังรูปที่ 3.42 เนื่องจากเนื้อโคจะมีน้ำที่เป็นองค์ประกอบภายในเนื้อ ในช่วงแรกที่ทำการกระตุ้นเนื้อจะมีน้ำไหลออกมากจากเนื้อดังรูปที่ 3.45 ทำให้เนื้อมีความต้านทานเพิ่มมากขึ้น จึงทำให้กระแสไฟฟ้ามีค่าลดลง และเมื่อเวลาผ่านไปน้ำภายในรั้วนี้ลดลง ทำให้กำลังสูญเสียค่อยๆลดลงตามเวลาที่เปลี่ยนไปดังรูปที่ 3.44



รูปที่ 3.45 การสูญเสียน้ำของเนื้อโคขณะทำการกระตุ้น

บทที่ 4

การทดสอบและวิเคราะห์ผล

ในบทนี้จะกล่าวถึงการทดสอบ และการวิเคราะห์ผล รวมถึงการทดสอบคุณสมบัติของตัวเครื่องที่ถูกสร้างขึ้น โดยการทำงานและผลของการกระตุ้นเนื่องจากนั้นยังคงทำงานได้เหมือนเดิมรุ่นก่อน[1] และได้ทำการทดสอบเนื้อโกรังในเมืองตัน โดยจะใช้เนื้อโกร่างส่วนไฟกับน (beef brisket) ที่มีขนาด (กว้าง×ยาว×สูง) $1 \times 2 \times 1$ ลูกบาศก์นิว ที่สภาวะการกระตุ้นที่แรงดัน 50, 70 และ 90 โวลต์ และความกว้างพัลส์ 10, 20 และ 40 ที่ระยะเวลา 1 และ 5 นาที

โดยทำการทดสอบการทดสอบทางกายภาพ และ การทดสอบทางเคมีของเนื้อ เพื่อทดสอบการทำงานของตัวเครื่อง โดยในการทดสอบเนื้อโกร่างดังต่อไปนี้

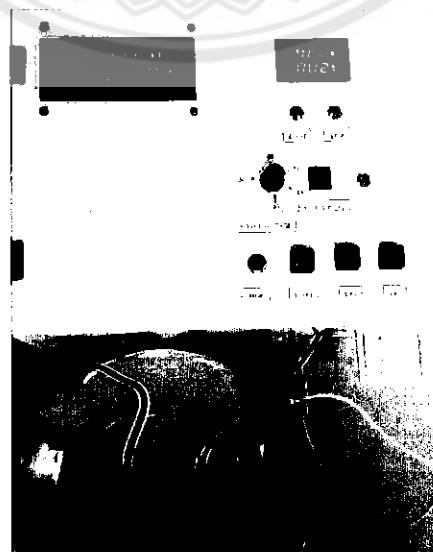
1) การทดสอบทางกายภาพ แบ่งออกเป็น

1.1) ทดสอบแรงดด

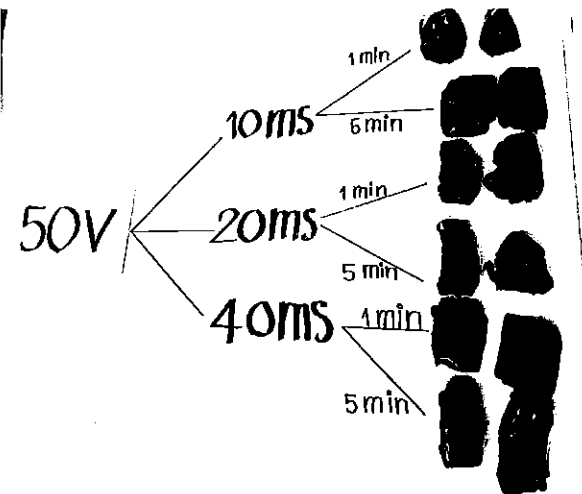
2) การทดสอบทางเคมี แบ่งออกเป็น

2.1) ทดสอบอุณหภูมิ

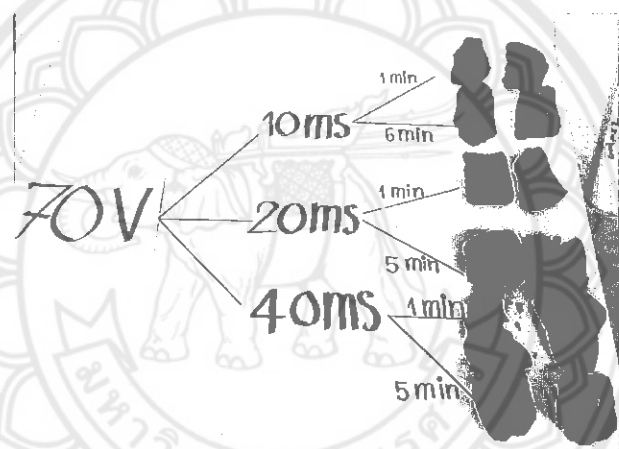
การทดสอบความนุ่มนวลของชิ้นเนื้อโกร โดยจะกระตุ้นเนื้อโกรหลังถูกชำแหละทันที เพื่อป้องกันการเปลี่ยนแปลงทางกายภาพของเนื้อโกร โดยจะกระตุ้นเนื้อโกรด้วยพิกัดแรงดันไฟฟ้า 50, 70 และ 90 โวลต์ ที่ช่วงเวลา 1 และ 5 นาที ขนาดพัลส์ 10, 20 และ 40 มิลลิวินาที ดังรูปที่ 4.1 และลักษณะของเนื้อหลังถูกกระตุ้น ดังรูปที่ 4.2, 4.3 และ 4.4 ตามลำดับ



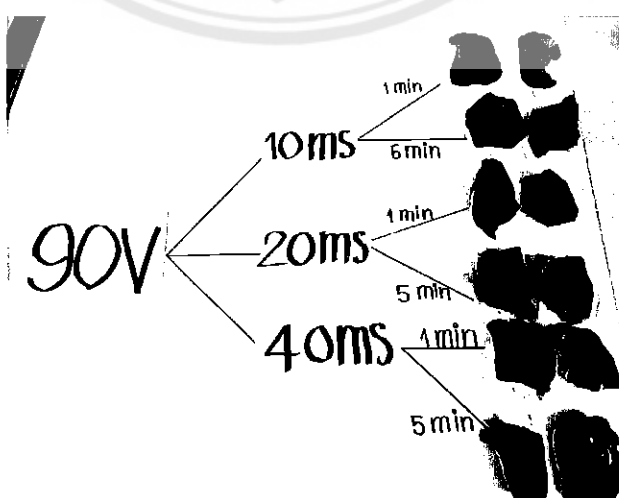
รูปที่ 4.1 การกระตุ้นเนื้อโกรด้วยเครื่องกระตุ้นเนื้อโกรนุ่มด้วยกระแสไฟฟ้า



รูปที่ 4.2 ลักษณะภายนอกของเนื้อโคลหลังถูกกระตุ้นด้วยกระแสไฟฟ้าที่แรงดัน 50 โวลต์



รูปที่ 4.3 ลักษณะภายนอกของเนื้อโคลหลังถูกกระตุ้นด้วยกระแสไฟฟ้าที่แรงดัน 70 โวลต์



รูปที่ 4.4 ลักษณะภายนอกของเนื้อโคลหลังถูกกระตุ้นด้วยกระแสไฟฟ้าที่แรงดัน 90 โวลต์

จากรูปที่ 4.4 เมื่อกระตุ้นเนื้อโโคด้วยพิกัดแรงดันไฟฟ้า 90 โวลต์ พบร่องรอยภายนอกของเนื้อโโคที่ถูกกระตุ้นมีรอยชำรุดยังเห็นได้ชัด เมื่อใช้ระยะเวลาในการกระตุ้น 5 นาที สามารถจาก การถูกกระตุ้นด้วยกระแสไฟฟ้าและแรงดันไฟฟ้าที่มีค่าสูงนานเกินไป ส่วนที่พิกัดแรงดัน 50 โวลต์ ดังรูปที่ 4.2 ทำให้เนื้อมีรอยชำรุดเล็กน้อยเท่านั้น และที่พิกัดแรงดันที่ 70 โวลต์นั้นสังเกตเห็นว่าที่ การกระตุ้น 5 นาทีจะเห็นรอยชำรุดเจนกว่าระยะการกระตุ้น 1 นาที เนื่องจากเวลาของการกระตุ้นนานเกินไป ดังนั้นจึงทำการทดสอบกระตุ้นเนื้อโโค ที่ระดับแรงดันไฟฟ้า 50, 70 และ 90 โวลต์

โดยการทดสอบจะกระตุ้นเนื้อโโคส่วนสะโพกบน ขนาด (กว้าง×ยาว×สูง) $1 \times 2 \times 1$ ลูกบาศก์ น้ำ จำนวน 2 ชิ้นต่อหนึ่งสภาวะ เช่น สภาวะแรงดัน 50 โวลต์ ขนาดพัลส์ 10 มิลลิวินาที เวลา 1 นาที และทำการเปรียบเทียบค่าเฉลี่ย

4.1 การทดสอบทางกายภาพ

การทดสอบทางกายภาพเป็นการทดสอบเพื่อวิเคราะห์เนื้อสัมผัส ของเนื้อโโคหลังถูกกระตุ้น โดยใช้เครื่องมือทดสอบเนื้อสัมผัส (เครื่อง Texture Analyser ยี่ห้อ Brookfield) ดังรูปที่ 4.5 ในการวัดแรงดันของเนื้อโโค



รูปที่ 4.5 เครื่องมือทดสอบเนื้อสัมผัส (เครื่อง Texture Analyser ยี่ห้อ Brookfield)

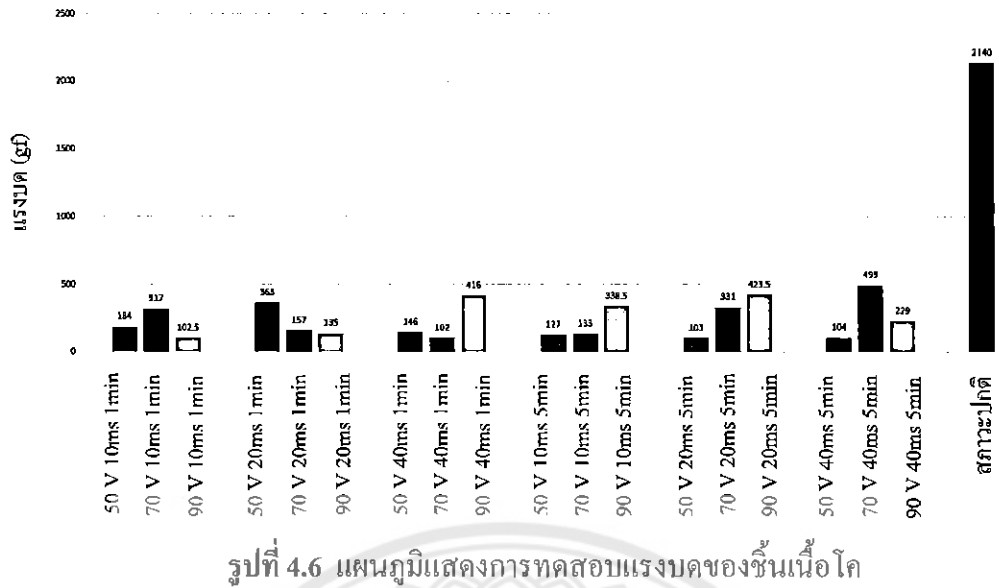
เนื้อสัมผัส (texture) หมายถึง ลักษณะที่ผู้บริโภคสามารถรับรู้ได้ด้วยการสัมผัส ซึ่งผู้บริโภคสามารถรับรู้เนื้อสัมผัสของอาหารได้ด้วยการสัมผัสด้วยมือ โดยการจับ แตะ หรือบีบ การสัมผัสด้วยฟัน ลิ้น และอาจรับรู้ด้วยการเคี้ยว โดยสมบัติค้านเนื้อสัมผัสของเนื้อโโค มีความสัมพันธ์ กับคุณภาพของเนื้อโโค โดยตรง และเป็นปัจจัยสำคัญที่มีผลต่อการยอมรับของผู้บริโภค โดยผู้บริโภคใช้เนื้อสัมผัสเป็นเกณฑ์หลักเพื่อพิจารณา ตัดสินการยอมรับ และมีผลอย่างยิ่งกับระดับความชอบ โดยมีการทดสอบดังนี้

4.1.1 ทดสอบแรงบด

การทดสอบแรงบด (Chewiness) เป็นการทดสอบเพื่อวิเคราะห์เนื้อสัมผัสของเนื้อโค โดยใช้เครื่องมือวัด (เครื่อง texture analysis) โดยใช้วัดทดสอบแบบทรงกระบอก มีเส้นผ่าศูนย์กลาง 12.7 มิลลิเมตร ซึ่งมีขนาดเล็กกว่าขนาดของชิ้นเนื้อโค และมีหน่วยในการวัดเป็นกรัมฟอส (gf) เป็นการจำลองสมเมื่อนการใช้ฟันบดเคี้ยวเนื้อโค โดยค่าแรงบดแสดงดังตารางที่ 4.1

ตารางที่ 4.1 ผลการทดสอบค่าแรงบดของชิ้นเนื้อโค

แรงดันไฟฟ้า(VDC)	พลัส (ms)	เวลา (min)	แรงบด (gf)
50	10	1	184.0
		5	127.0
	20	1	363.0
		5	103.0
	40	1	146.0
		5	104.0
70	10	1	317.0
		5	133.0
	20	1	157.0
		5	331.0
	40	1	102.0
		5	493.0
90	10	1	102.5
		5	338.5
	20	1	135.0
		5	423.5
	40	1	416.0
		5	229.0
สภาพป กติ	-	-	2140



รูปที่ 4.6 แผนภูมิแสดงการทดสอบแรงดันของชนวนเนื้อโค

จากรูปที่ 4.6 ในการทดสอบแรงดันของเนื้อโคพบว่า เมื่อเพิ่มระดับแรงดันไฟฟ้าให้มีค่ามากขึ้น จะทำให้ค่าแรงดันมีค่าน้อยลง เช่นที่ระดับแรงดันไฟฟ้า 50, 70 และ 90 โวลต์ ที่เวลา 1 นาที ขนาดความกว้างพัลส์ 10 มิลลิวินาที จะเห็นได้ว่าที่สภาวะแรงดัน 90 โวลต์มีค่าแรงดันน้อยที่สุด แต่ถ้าเพิ่มระยะเวลาในการกระตุ้นเนื้อโค ก็จะทำให้ค่าแรงดันที่แรงดัน 90 โวลต์มีค่ามากขึ้น เนื่องจากความร้อนระหว่างการกระตุ้นส่งผลให้อุณหภูมิรีเวนหัวไฟร้อนเริ่มสูง การวัดค่าของเครื่องมือวัดจึงมีค่าลดลงเมื่อเวลา 5 นาที ไปจากความเป็นจริง

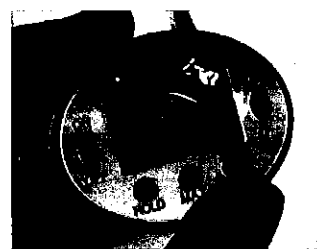
และจากรูปที่ 4.6 พบว่าแรงดัน 70 โวลต์ ขนาดความกว้างพัลส์ 40 มิลลิวินาที เวลา 1 นาที มีค่าแรงดันน้อยที่สุด ซึ่งหมายถึงเนื้อโคมีความนุ่มนากกว่าสภาวะอื่น ถึงอย่างไรก็ตามเมื่อนำชิ้นเนื้อโคในแต่ละสภาวะมาเปรียบเทียบกัน พบว่าเนื้อโคหลังถูกกระตุ้นมีความนุ่มนิ่นกว่าเนื้อที่สภาวะปกติ

4.2 การทดลองทางเคมี

การทดลองทางเคมีเป็นการทดสอบสภาพของชิ้นเนื้อโค โดยใช้เครื่องมือวัดอุณหภูมิ (Thermometer) เพื่อหาอุณหภูมิที่เปลี่ยนแปลงไปของชิ้นเนื้อโคหลังถูกกระตุ้น

4.2.1 ทดสอบอุณหภูมิ

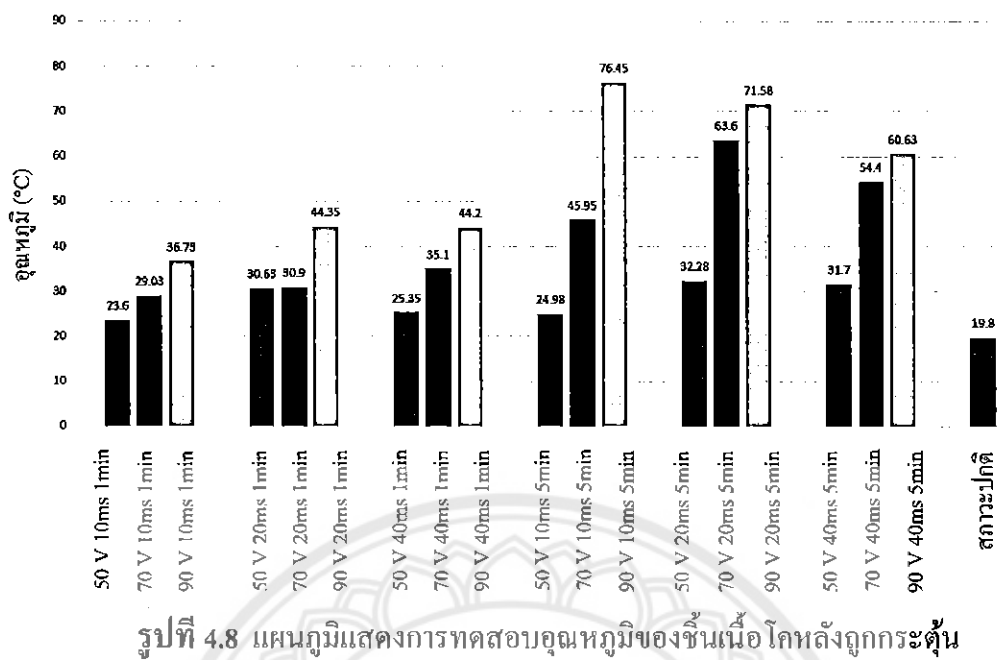
การทดสอบอุณหภูมิของชิ้นเนื้อโค จะทำให้เห็นการเปลี่ยนแปลงของเนื้อบริเวณที่ถูกกระตุ้นได้อย่างชัดเจน โดยการใช้เทอร์โมมิเตอร์วัด โดยจะทำการวัดชิ้นเนื้อโคบริเวณที่เนื้อโคถูกกระตุ้นทั้ง 2 จุด เพื่อคำนว่าหากค่าเฉลี่ยโดยจะทำการวัดค่าทันทีหลังเนื้อโคถูกกระตุ้น ดังรูปที่ 4.7 ได้ผลการทดสอบดังตารางที่ 4.2



รูปที่ 4.7 การใช้เทอร์โนมิเตอร์วัดอุณหภูมิของเนื้อโโค

ตารางที่ 4.2 ผลการทดสอบอุณหภูมิของชิ้นเนื้อโโคหลังถูกกระตุ้น

แรงดันไฟฟ้า(VDC)	พัลส์ (ms)	เวลา (min)	อุณหภูมิ ($^{\circ}\text{C}$)
50	10	1	23.60
		5	24.98
	20	1	30.63
		5	32.28
	40	1	25.35
		5	31.70
70	10	1	29.03
		5	45.95
	20	1	30.90
		5	63.60
	40	1	35.10
		5	54.40
90	10	1	36.73
		5	76.45
	20	1	44.35
		5	71.58
	40	1	44.20
		5	60.63
สภาพปกติ	-	-	19.80



รูปที่ 4.8 แผนภูมิแสดงการทดสอบอุณหภูมิของชิ้นเนื้อโภชนาต์ในเวลา 5 นาที

จากรูปที่ 4.8 ในการทดลองอุณหภูมิพบว่า ชิ้นเนื้อโภชนาต์ สภาวะแรงดัน 90 โวลต์ เวลา 5 นาที ขนาดพัลส์ 10 มิลลิวินาที มีค่าอุณหภูมิเท่ากับ 76.45 องศาเซลเซียส เมื่อนำมาเปรียบเทียบกับ เนื้อที่ สภาวะปกติ มีค่าอยู่ที่ 19.80 องศาเซลเซียส พนวณว่า น้ำมีค่าอุณหภูมิสูงกว่า สภาวะปกติ ดังนั้น จากการทดลองสรุปได้ว่า ขนาดแรงดัน เวลา และ ขนาดของพัลส์ เป็นปัจจัยสำคัญที่ทำให้เนื้อโภชนาต์ การเปลี่ยนแปลงอุณหภูมิไปจากเดิม ซึ่งมีผลต่อขั้นมากกับการทดสอบในเรื่องของแรงดัน

บทที่ 5

สรุปผลและข้อเสนอแนะ

จากการดำเนินโครงการ สามารถสรุปผล และชี้แจงปัญหาที่เกิดขึ้นในการดำเนินงาน รวมทั้งข้อเสนอแนะและแนวทางการแก้ไขปัญหาต่างๆ และให้ข้อเสนอแนะในการพัฒนาต่อไปดังนี้

5.1 สรุปผลการดำเนินงาน

ในโครงการนี้ได้ทำการสร้างเครื่องกระตุนเนื้อโคกนุ่มด้วยกระถางไฟฟ้าให้มีขนาดตัวเครื่องเล็กลง เพื่ออำนวยความสะดวกในการทำให้ชิ้นเนื้อโคกให้มีความนุ่มนวลขึ้น ให้สามารถใช้งานภายในครัวเรือนได้ และเคลื่อนย้ายได้อย่างสะดวกมากขึ้น โดยจะใช้แรงดันพัลส์กระสเตตรงเพื่อไปกระตุนเนื้อที่เกิดการกรีงหลังถูกฆ่า ภายใต้หัวเครื่องจะมีปุ่มหมุนปรับระดับแรงดัน ปุ่มกดเลือกพัลส์ เลือกเวลาการทำงาน และจดจำชุดค่าแสดงผลอยู่ด้านบน ซึ่งในการกระตุนนั้น จะมีเหล็กปลายแหลมเพื่อเสียบเข้าไปในเนื้อโค ซึ่งง่าย และสะดวกต่อการใช้งาน

จากการทดสอบการทำงานของเครื่องกระตุนเนื้อโคกนุ่มด้วยกระถางไฟฟ้า โดยใช้เนื้อโคขนาด (กว้าง×ยาว×สูง) $1\times2\times1$ ลูกบาศก์น้ำ ซึ่งเครื่องกระตุนสามารถปรับระดับแรงดันไฟฟ้าได้ตั้งแต่ 50-90 โวลต์ ปรับตั้งเวลาการทำงานได้ 1-5 นาที และสามารถปรับขนาดความกว้างของพัลส์ได้ 10, 20, 30 และ 40 มิลลิวินาที เมื่อนำชิ้นเนื้อโคมากระตุนพบว่า เมื่อปรับระดับแรงดันไฟฟ้า หรือเวลาที่ใช้ในการกระตุนชิ้นเนื้อโคให้เพิ่มมากขึ้น จะทำให้เกิดการเปลี่ยนแปลงทางกายภาพของชิ้นเนื้อโค เช่น มีความนุ่มนากขึ้น เมื่อเปรียบเทียบกับชิ้นเนื้อที่ไม่ได้ถูกกระตุนหรือชิ้นเนื้อโคที่สภาวะปกติ ส่วนคุณภาพของชิ้นเนื้อโค ในด้านลักษณะของตัวเนื้อโค เปลี่ยนแปลงไปจากสภาพะปกติไม่มากนัก เนื่องจากระดับแรงดันไฟฟ้าที่ใช้ในการกระตุนเป็นแรงดันไฟฟ้าต่ำ และคุณภาพของเนื้อในด้านการอุ่นน้ำภายในชิ้นเนื้อโค เมื่อนำชิ้นเนื้อโคดินมาทำให้สุก โดยการนำมารีดที่อุณหภูมิ 70 องศาเซลเซียส พบว่าชิ้นเนื้อโคสุกมีขนาดน้ำหนักเบากว่าเดิม เนื่องจากเกิดการสูญเสียน้ำจากการนำมารีด ประกอบอาหาร โดยผลทดสอบดังกล่าวนั้น แสดงให้เห็นว่าเครื่องกระตุนเนื้อโคกนุ่มด้วยกระถางไฟฟ้าสามารถทำให้เนื้อโคนุ่มนวล สามารถใช้งานในครัวเรือนได้ตามวัตถุประสงค์ที่กำหนดไว้

5.2 ปัญหาและแนวทางการแก้ไข

- 1) ในขณะที่ใช้ชุดอุปกรณ์กำลังเป็นเวลาประมาณ 60 นาที(ณ อุณหภูมิ 25 °C) หม้อแปลงไฟฟ้าจะเกิดความร้อน ซึ่งการแก้ปัญหานี้ในกรณีนี้ คือ การพักราบร่างของเครื่องเป็นเวลา 5 นาที เพื่อรอให้หม้อแปลงเย็นลงและอุปกรณ์ส่วนของวงจรส่วนกำลังต่างๆเย็นลง
- 2) โครงสร้างของเครื่องกระตุ้นเนื้อโโคดี้ยกระดับไฟฟ้ามีลักษณะปิด และพัดลมระบายอากาศ 2 ตัวมีการทำงานแบบคู่คลมออก ทำให้พัดลมไม่สามารถทำงานได้เต็มที่ ดังนั้นจึงแก้ไขโดยการเจาะรูระบายอากาศเพิ่มขึ้นที่ด้านข้างของตัวเครื่อง
- 3) เนื่องจากตัวเครื่องหากทำเป็นแบบปิด เมื่อเครื่องมีปัญหาจะทำให้การซ่อมแซมทำได้ยาก ดังนั้นจึงแก้ไขปัญหาคือ ทำโครงสร้างเครื่องที่สามารถเปิดออกได้ เพื่อง่ายต่อการซ่อมแซม
- 4) สายไฟรบที่ใช้ในการกระตุ้นเนื้อโคนุ่น เมื่อใช้ไปเป็นเวลานาน อาจเกิดการกัดกร่อนหรือมีสิ่งสกปรกต่างๆ ดังนั้นจึงออกแบบแก้ไขให้ ส่วนของสายไฟรบสามารถถอดแยกออกจากเพื่อถ่างทำความสะอาดได้
- 5) ในระหว่างการใช้งาน การตั้งแรงดันเป็นแบบอนามัย จึงทำให้เราไม่ทราบแน่ชัดว่า ณ ขณะที่เครื่องทำงานนั้น มีขนาดของแรงดันมากน้อยเท่าใด จึงได้แก้ไขเป็นไข้มลติมิเตอร์แบบตัวเลข ดิจิตอล วัดแรงดัน และกระแสขาออกในส่วนของวงจรบระดับแรงดัน เพื่อให้รู้แน่ชัดว่า ณ ขณะที่เครื่องทำงานในย่านกระแส และแรงดันขนาดเท่าใด

5.3 แนวทางในการพัฒนาต่อไป

- 1) ออกแบบให้ตัวเครื่องสามารถใช้งานกับเนื้อที่ขนาดใหญ่ขึ้นได้
- 2) เพิ่มการทดสอบการกระตุ้นเนื้อ ในทุกระดับแรงดัน
- 3) ปรับเปลี่ยนลักษณะไฟรบที่ใช้กระตุ้น ให้มีหลายลักษณะมากขึ้น
- 4) สามารถการใช้ระบบดิจิตอลควบคุม การเพิ่มหรือลดระดับแรงดัน

เอกสารอ้างอิง

- [1] นกรินทร์ ลีลา, พรเทพ ปั่นปัก และอนุชา ไพบูลย์. “เครื่องกระตุ้นเนื้อโคกนุ่มด้วยกระแสไฟฟ้า”. บริษัทฯ นิพนธ์, สาขาวิชาวิศวกรรมไฟฟ้า ภาควิชาวิศวกรรมไฟฟ้าและคอมพิวเตอร์ คณะวิศวกรรมศาสตร์, มหาวิทยาลัยนเรศวร, 2558.
- [2] Arduino Uno Board. “Arduino UNO&Genuino UNO”, สืบค้นเมื่อสิงหาคม 2559 จาก <https://www.arduino.cc/en/Main/ArduinoBoardUno>.
- [3] บ้านอิเล็กทรอนิกส์, “อุปกรณ์ ตอน รีเลย์”, สืบค้นเมื่อกันยายน 2559 จาก http://www.semishop.com/knowledge/knowledge_detail.php?sk_id=28.
- [4] ThaiEasyElec, “การใช้งาน Character LCD Display กับ Arduino”, สืบค้นเมื่อกันยายน 2559 จาก <http://thaieasyelec.com/article-wiki/review-product-article/การใช้งาน-character-lcd-display-กับ-arduino-ตอนที่1-รูปแบบการเชื่อมต่อแบบparallel.html>.
- [5] ผศ.ดร.พิมพ์เพ็ญ พรเฉลิมพงศ์, ศาสตราจารย์เกียรติคุณ ดร.นิชยา รัตนานปนนท์, “การเปลี่ยนแปลงของเนื้อสัตว์หลังการฆ่า”, สืบค้นเมื่อตุลาคม 2559 จาก <http://www.foodnetworksolution.com/wiki /word/3132/การเปลี่ยนแปลงของเนื้อสัตว์หลังการฆ่า>.
- [6] คณะเทคโนโลยีการเกษตรและเทคโนโลยีอุตสาหกรรม มหาวิทยาลัยราชภัฏนราธิวาสราชนครินทร์, “คุณภาพของเนื้อที่เกี่ยวข้องกับการเปรรูป”, สืบค้นเมื่อธันวาคม 2559 จาก http://elearning.nsru.ac.th/web_elearning/meattech/lesson/less8_4.html.
- [7] ชัยณรงค์ กันธินิท, วรรณวินิล สารวินิจ, สมศักดิ์ เลิศลิทธิชัย และพิชัย เถินพิท. 2529. “เครื่องกระตุ้นขาด้วยกระแสไฟฟ้าเพื่อปรับปรุงความเหนียวและคุณภาพเนื้อโคκາຍมาก”, การประชุมทางวิชาการสาขาสัตว์ ครั้งที่ 24 มหาวิทยาลัยเกษตรศาสตร์.
- [8] รศ.ดร.วีระเชษฐ์ บันเงิน และดร.วุฒิพล ราษฎร์เสริมสูร. “อิเล็กทรอนิกส์กำลัง”, พิมพ์ครั้งที่ 14. กรุงเทพมหานคร: ห้างหุ้นส่วนจำกัด วี.เจ. พรินติ้ง, 2557.



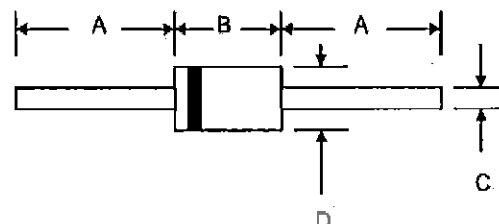


1N4001 – 1N4007

1.0A SILICON RECTIFIER

Features

- Diffused Junction
- Low Forward Voltage Drop
- High Current Capability
- High Reliability
- High Surge Current Capability



Mechanical Data

- Case: Molded Plastic
- Terminals: Plated Leads Solderable per MIL-STD-202, Method 208
- Polarity: Cathode Band
- Weight: 0.35 grams (approx.)
- Mounting Position: Any
- Marking: Type Number

DO-41		
Dim	MIn	Max
A	25.4	—
B	4.06	5.21
C	0.71	0.864
D	2.00	2.72

All Dimensions in mm

Maximum Ratings and Electrical Characteristics @ $T_A=25^\circ\text{C}$ unless otherwise specified

Single Phase, half wave, 60Hz, resistive or inductive load.
For capacitive load, derate current by 20%.

Characteristic	Symbol	1N 4001	1N 4002	1N 4003	1N 4004	1N 4005	1N 4006	1N 4007	Unit
Peak Repetitive Reverse Voltage	V _{RRM}								
Working Peak Reverse Voltage	V _{RWM}	50	100	200	400	600	800	1000	V
DC Blocking Voltage	V _R								
RMS Reverse Voltage	V _R (RMS)	35	70	140	280	420	560	700	V
Average Rectified Output Current (Note 1)	I _O				1.0				A
Non-Repetitive Peak Forward Surge Current 8.3ms Single half sine-wave superimposed on rated load (JEDEC Method)	I _{FSAI}					30			A
Forward Voltage @I _F = 1.0A	V _{FM}				1.0				V
Peak Reverse Current @T _A = 25°C At Rated DC Blocking Voltage @T _A = 100°C	I _{RM}				5.0				µA
Typical Junction Capacitance (Note 2)	C _J				15				pF
Typical Thermal Resistance Junction to Ambient (Note 1)	R _{θJA}				50				K/W
Operating Temperature Range	T _J				-65 to +125				°C
Storage Temperature Range	T _{STG}				-65 to +150				°C

*Glass passivated forms are available upon request

Note: 1. Leads maintained at ambient temperature at a distance of 0.5mm from the case
2. Measured at 1.0 MHz and Applied Reverse Voltage of 4.0V D.C.

International Rectifier

Data Sheet No. PD60147 rev.U
IR2110(-1-2)(S)PbF/IR2113(-1-2)(S)PbF

HIGH AND LOW SIDE DRIVER

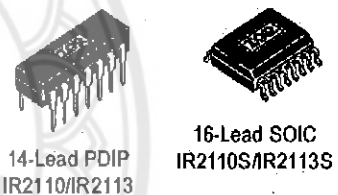
Features

- Floating channel designed for bootstrap operation
- Fully operational to +500V or +600V
- Tolerant to negative transient voltage
- dV/dt immune
- Gate drive supply range from 10 to 20V
- Undervoltage lockout for both channels
- 3.3V logic compatible
- Separate logic supply range from 3.3V to 20V
- Logic and power ground $\pm 5V$ offset
- CMOS Schmitt-triggered inputs with pull-down
- Cycle by cycle edge-triggered shutdown logic
- Matched propagation delay for both channels
- Outputs in phase with inputs

Product Summary

V _{OFFSET} (IR2110)	500V max.
(IR2113)	600V max.
I _O +/-	2A / 2A
V _{OUT}	10 - 20V
t _{on/off} (typ.)	120 & 94 ns
Delay Matching (IR2110)	10 ns max.
(IR2113)	20ns max.

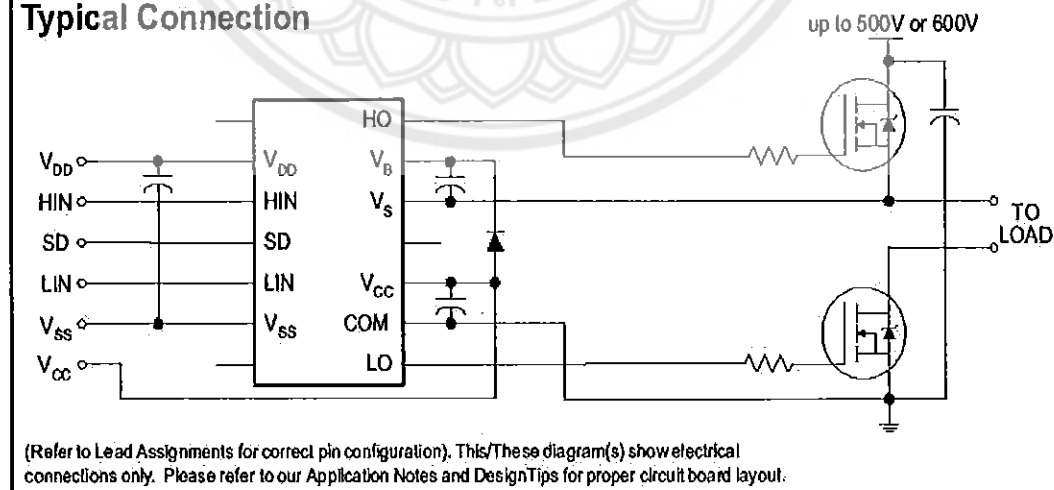
Packages



Description

The IR2110/IR2113 are high voltage, high speed power MOSFET and IGBT drivers with independent high and low side referenced output channels. Proprietary HVIC and latch immune CMOS technologies enable ruggedized monolithic construction. Logic inputs are compatible with standard CMOS or LSTTL output, down to 3.3V logic. The output drivers feature a high pulse current buffer stage designed for minimum driver cross-conduction. Propagation delays are matched to simplify use in high frequency applications. The floating channel can be used to drive an N-channel power MOSFET or IGBT in the high side configuration which operates up to 500 or 600 volts.

Typical Connection



IR2110(-1-2)(S)PbF/IR2113(-1-2)(S)PbF

International
IR Rectifier

Absolute Maximum Ratings

Absolute maximum ratings indicate sustained limits beyond which damage to the device may occur. All voltage parameters are absolute voltages referenced to COM. The thermal resistance and power dissipation ratings are measured under board mounted and still air conditions. Additional information is shown in Figures 28 through 35.

Symbol	Definition	Min.	Max.	Units
V _B	High side floating supply voltage (IR2110)	-0.3	525	V
	(IR2113)	-0.3	625	
V _S	High side floating supply offset voltage	V _B - 25	V _B + 0.3	
V _{HO}	High side floating output voltage	V _S - 0.3	V _B + 0.3	
V _{CC}	Low side fixed supply voltage	-0.3	25	
V _{LO}	Low side output voltage	-0.3	V _{CC} + 0.3	
V _{DD}	Logic supply voltage	-0.3	V _{SS} + 25	
V _{SS}	Logic supply offset voltage	V _{CC} - 25	V _{CC} + 0.3	
V _{IN}	Logic input voltage (HIN, LIN & SD)	V _{SS} - 0.3	V _{DD} + 0.3	
dV _S /dt	Allowable offset supply voltage transient (figure 2)	—	50	V/ns
P _D	Package power dissipation @ T _A ≤ +25°C (14 lead DIP) (16 lead SOIC)	—	1.6	W
		—	1.25	
R _{THJA}	Thermal resistance, junction to ambient (14 lead DIP) (16 lead SOIC)	—	75	°C/W
		—	100	
T _J	Junction temperature	—	150	°C
T _S	Storage temperature	-55	150	
T _L	Lead temperature (soldering, 10 seconds)	—	300	

Recommended Operating Conditions

The input/output logic timing diagram is shown in figure 1. For proper operation the device should be used within the recommended conditions. The V_S and V_{SS} offset ratings are tested with all supplies biased at 15V differential. Typical ratings at other bias conditions are shown in figures 36 and 37.

Symbol	Definition	Min.	Max.	Units
V _B	High side floating supply absolute voltage	V _S + 10	V _S + 20	V
V _S	High side floating supply offset voltage (IR2110)	Note 1	500	
	(IR2113)	Note 1	600	
V _{HO}	High side floating output voltage	V _S	V _B	
V _{CC}	Low side fixed supply voltage	10	20	
V _{LO}	Low side output voltage	0	V _{CC}	
V _{DD}	Logic supply voltage	V _{SS} + 3	V _{SS} + 20	
V _{SS}	Logic supply offset voltage	-5 (Note 2)	5	
V _{IN}	Logic input voltage (HIN, LIN & SD)	V _{SS}	V _{DD}	
T _A	Ambient temperature	-40	125	°C

Note 1: Logic operational for V_S of -4 to +500V. Logic state held for V_S of -4V to -V_B. (Please refer to the Design Tip DT97-3 for more details).

Note 2: When V_{DD} < 5V, the minimum V_{SS} offset is limited to -V_{DD}.

International
IR Rectifier

IR2110(-1-2)(S)PbF/IR2113(-1-2)(S)PbF

Dynamic Electrical Characteristics

V_{BIAS} (V_{CC} , V_{BS} , V_{DD}) = 15V, C_L = 1000 pF, T_A = 25°C and V_{SS} = COM unless otherwise specified. The dynamic electrical characteristics are measured using the test circuit shown in Figure 3.

Symbol	Definition	Figure	Min.	Typ.	Max.	Units	Test Conditions
t_{on}	Turn-on propagation delay	7	—	120	150	ns	$V_S = 0V$
t_{off}	Turn-off propagation delay	8	—	94	125		$V_S = 500V/600V$
t_{sd}	Shutdown propagation delay	9	—	110	140		$V_S = 500V/600V$
t_r	Turn-on rise time	10	—	25	35		
t_f	Turn-off fall time	11	—	17	25		
MT	Delay matching, HS & LS turn-on/off (IR2110) (IR2113)	—	—	—	10		
		—	—	—	20		

Static Electrical Characteristics

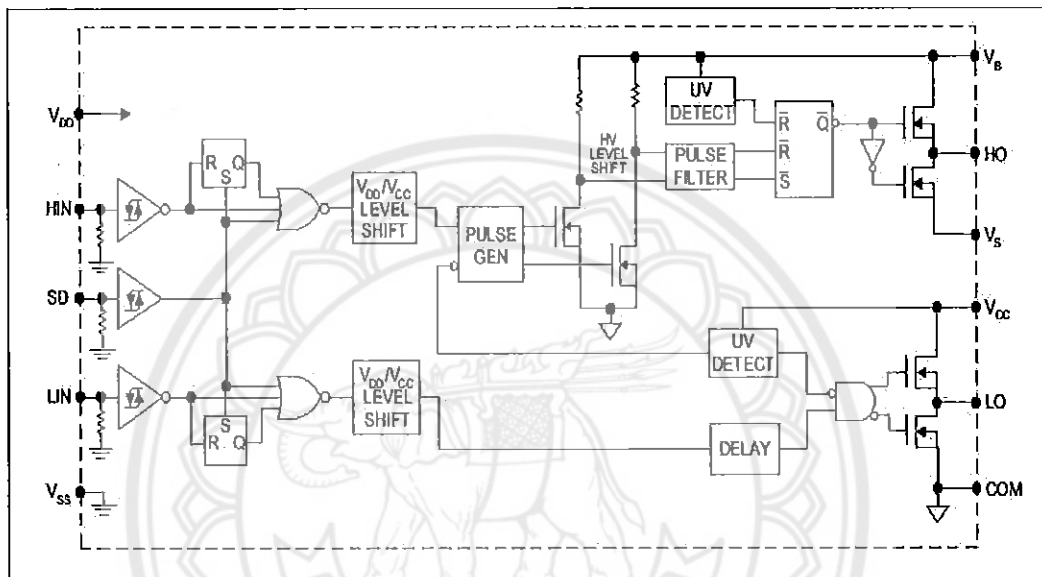
V_{BIAS} (V_{CC} , V_{BS} , V_{DD}) = 15V, T_A = 25°C and V_{SS} = COM unless otherwise specified. The V_{IN} , V_{TH} and I_{IN} parameters are referenced to V_{SS} and are applicable to all three logic input leads: HIN, LIN and SD. The V_O and I_O parameters are referenced to COM and are applicable to the respective output leads: HO or LO.

Symbol	Definition	Figure	Min.	Typ.	Max.	Units	Test Conditions
V_{IH}	Logic "1" input voltage	12	9.5	—	—	V	
V_{IL}	Logic "0" input voltage	13	—	—	6.0		
V_{OH}	High level output voltage, $V_{BIAS} - V_O$	14	—	—	1.2		$I_O = 0A$
V_{OL}	Low level output voltage, V_O	15	—	—	0.1		$I_O = 0A$
I_{LK}	Offset supply leakage current	16	—	—	50		$V_B = V_S = 500V/600V$
I_{QBS}	Quiescent V_{BS} supply current	17	—	125	230		$V_{IN} = 0V$ or V_{DD}
I_{QCC}	Quiescent V_{CC} supply current	18	—	180	340		$V_{IN} = 0V$ or V_{DD}
I_{QDD}	Quiescent V_{DD} supply current	19	—	15	30		$V_{IN} = 0V$ or V_{DD}
I_{IN+}	Logic "1" input bias current	20	—	20	40		$V_{IN} = V_{DD}$
I_{IN-}	Logic "0" input bias current	21	—	—	1.0		$V_{IN} = 0V$
V_{BSUV+}	V_{BS} supply undervoltage positive going threshold	22	7.5	8.6	9.7	V	
V_{BSUV-}	V_{BS} supply undervoltage negative going threshold	23	7.0	8.2	9.4		
V_{CCUV+}	V_{CC} supply undervoltage positive going threshold	24	7.4	8.5	9.6		
V_{CCUV-}	V_{CC} supply undervoltage negative going threshold	25	7.0	8.2	9.4		
I_O+	Output high short circuit pulsed current	26	2.0	2.5	—	A	$V_O = 0V$, $V_{IN} = V_{DD}$ $PW \leq 10 \mu s$
I_O-	Output low short circuit pulsed current	27	2.0	2.5	—		$V_O = 15V$, $V_{IN} = 0V$ $PW \leq 10 \mu s$

IR2110(-1-2)(S)PbF/IR2113(-1-2)(S)PbF

International
I²R Rectifier

Functional Block Diagram



Lead Definitions

Symbol	Description
V_{DD}	Logic supply
HIN	Logic input for high side gate driver output (HO), in phase
SD	Logic input for shutdown
LIN	Logic Input for low side gate driver output (LO), in phase
V_{SS}	Logic ground
V_B	High side floating supply
HO	High side gate drive output
V_S	High side floating supply return
V_{CC}	Low side supply
LO	Low side gate drive output
COM	Low side return

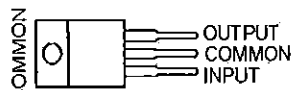
μ A7800 SERIES POSITIVE-VOLTAGE REGULATORS

SLVS056J – MAY 1976 – REVISED MAY 2003

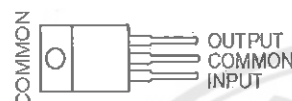
- 3-Terminal Regulators
- Output Current up to 1.5 A
- Internal Thermal-Overload Protection

- High Power-Dissipation Capability
- Internal Short-Circuit Current Limiting
- Output Transistor Safe-Area Compensation

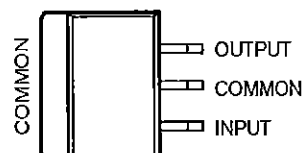
KC (TO-220) PACKAGE
(TOP VIEW)



KCS (TO-220) PACKAGE
(TOP VIEW)



KTE PACKAGE
(TOP VIEW)



description/ordering information

This series of fixed-voltage integrated-circuit voltage regulators is designed for a wide range of applications. These applications include on-card regulation for elimination of noise and distribution problems associated with single-point regulation. Each of these regulators can deliver up to 1.5 A of output current. The internal current-limiting and thermal-shutdown features of these regulators essentially make them immune to overload. In addition to use as fixed-voltage regulators, these devices can be used with external components to obtain adjustable output voltages and currents, and also can be used as the power-pass element in precision regulators.

ORDERING INFORMATION

T _J	V _{O(NOM)} (V)	PACKAGE ^T	ORDERABLE PART NUMBER	TOP-SIDE MARKING
0°C to 125°C	5	POWER-FLEX (KTE)	Reel of 2000	μ A7805CKTER
		TO-220 (KC)	Tube of 50	μ A7805CKC
		TO-220, short shoulder (KCS)	Tube of 20	μ A7805CKCS
	8	POWER-FLEX (KTE)	Reel of 2000	μ A7808CKTER
		TO-220 (KC)	Tube of 50	μ A7808CKC
		TO-220, short shoulder (KCS)	Tube of 20	μ A7808CKCS
	10	POWER-FLEX (KTE)	Reel of 2000	μ A7810CKTER
		TO-220 (KC)	Tube of 50	μ A7810CKC
	12	POWER-FLEX (KTE)	Reel of 2000	μ A7812CKTER
		TO-220 (KC)	Tube of 50	μ A7812CKC
		TO-220, short shoulder (KCS)	Tube of 20	μ A7812CKCS
15	15	POWER-FLEX (KTE)	Reel of 2000	μ A7815CKTER
		TO-220 (KC)	Tube of 50	μ A7815CKC
		TO-220, short shoulder (KCS)	Tube of 20	μ A7815CKCS
	24	POWER-FLEX (KTE)	Reel of 2000	μ A7824CKTER
	TO-220 (KC)	Tube of 50	μ A7824CKC	μ A7824C

^T Package drawings, standard packing quantities, thermal data, symbolization, and PCB design guidelines are available at www.ti.com/sc/package.



Please be aware that an important notice concerning availability, standard warranty, and use in critical applications of Texas Instruments semiconductor products and disclaimers thereto appears at the end of this data sheet.

PRODUCTION DATA Information is current as of publication date.
Products conform to specifications per the terms of Texas Instruments standard warranty. Production processing does not necessarily include testing of all parameters.

Copyright © 2003, Texas Instruments Incorporated

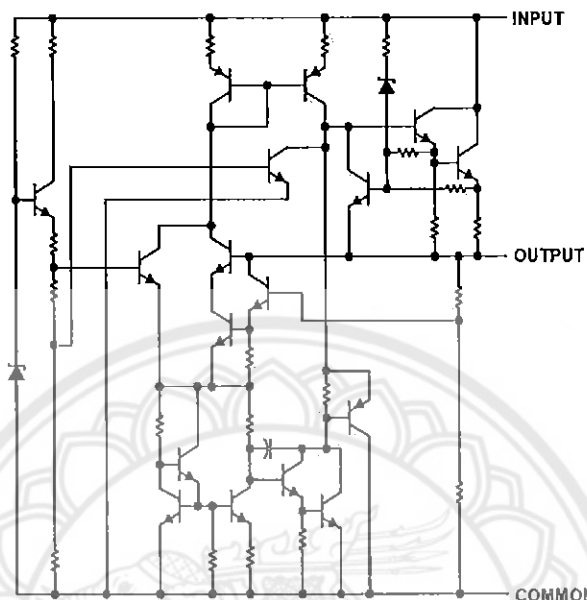


POST OFFICE BOX 655303 • DALLAS, TEXAS 75265

μA7800 SERIES POSITIVE-VOLTAGE REGULATORS

SLVS056J – MAY 1976 – REVISED MAY 2003

schematic



absolute maximum ratings over virtual junction temperature range (unless otherwise noted)[†]

Input voltage, V_I : μA7824C	40 V
All others	35 V
Operating virtual junction temperature, T_J	150°C
Lead temperature 1.6 mm (1/16 inch) from case for 10 seconds	260°C
Storage temperature range, T_{STG}	-65°C to 150°C

[†] Stresses beyond those listed under "absolute maximum ratings" may cause permanent damage to the device. These are stress ratings only, and functional operation of the device at these or any other conditions beyond those indicated under "recommended operating conditions" is not implied. Exposure to absolute-maximum-rated conditions for extended periods may affect device reliability.

package thermal data (see Note 1)

PACKAGE	BOARD	θ_{JC}	θ_{JA}
POWER-FLEX (KTE)	High K, JESD 51-5	3°C/W	23°C/W
TO-220 (KC/KCS)	High K, JESD 51-5	3°C/W	19°C/W

NOTE 1: Maximum power dissipation is a function of $T_J(\max)$, θ_{JA} , and T_A . The maximum allowable power dissipation at any allowable ambient temperature is $P_D = (T_J(\max) - T_A)/\theta_{JA}$. Operating at the absolute maximum T_J of 150°C can affect reliability.

**μ A7800 SERIES
POSITIVE-VOLTAGE REGULATORS**

SLVSO56J - MAY 1976 - REVISED MAY 2003

recommended operating conditions

			MIN	MAX	UNIT
V_I Input voltage	μ A7805C	7	25		V
	μ A7808C	10.5	25		
	μ A7810C	12.5	28		
	μ A7812C	14.5	30		
	μ A7815C	17.5	30		
	μ A7824C	27	38		
I_O Output current				1.5	A
T_J Operating virtual junction temperature	μ A7800C series	0	125	$^{\circ}$ C	

electrical characteristics at specified virtual junction temperature, $V_I = 10$ V, $I_O = 500$ mA (unless otherwise noted)

PARAMETER	TEST CONDITIONS	T_J [†]	μ A7805C			UNIT
			MIN	TYP	MAX	
Output voltage	$I_O = 5$ mA to 1 A, $V_I = 7$ V to 20 V, $P_D \leq 15$ W	25 $^{\circ}$ C	4.6	5	5.2	V
		0 $^{\circ}$ C to 125 $^{\circ}$ C	4.75		5.25	
Input voltage regulation	$V_I = 7$ V to 25 V	25 $^{\circ}$ C		3	100	mV
	$V_I = 8$ V to 12 V			1	50	
Ripple rejection	$V_I = 8$ V to 18 V, $f = 120$ Hz	0 $^{\circ}$ C to 125 $^{\circ}$ C	62	78		dB
Output voltage regulation	$I_O = 5$ mA to 1.5 A	25 $^{\circ}$ C		15	100	mV
	$I_O = 250$ mA to 750 mA			5	50	
Output resistance	$f = 1$ kHz	0 $^{\circ}$ C to 125 $^{\circ}$ C		0.017		Ω
Temperature coefficient of output voltage	$I_O = 5$ mA	0 $^{\circ}$ C to 125 $^{\circ}$ C		-1.1		mV/ $^{\circ}$ C
Output noise voltage	$f = 10$ Hz to 100 kHz	25 $^{\circ}$ C		40		μ V
Dropout voltage	$I_O = 1$ A	25 $^{\circ}$ C		2		V
Bias current		25 $^{\circ}$ C		4.2	8	mA
Bias current change	$V_I = 7$ V to 25 V	0 $^{\circ}$ C to 125 $^{\circ}$ C			1.3	mA
	$I_O = 5$ mA to 1 A				0.5	
Short-circuit output current		25 $^{\circ}$ C		750		mA
Peak output current		25 $^{\circ}$ C		2.2		A

[†]Pulse-testing techniques maintain the junction temperature as close to the ambient temperature as possible. Thermal effects must be taken into account separately. All characteristics are measured with a 0.33- μ F capacitor across the input and a 0.1- μ F capacitor across the output.



POST OFFICE BOX 655303 • DALLAS, TEXAS 75285

μ A7800 SERIES POSITIVE-VOLTAGE REGULATORS

SLVS058J – MAY 1976 – REVISED MAY 2003

electrical characteristics at specified virtual junction temperature, $V_J = 14 \text{ V}$, $I_O = 500 \text{ mA}$ (unless otherwise noted)

PARAMETER	TEST CONDITIONS	$T_J \dagger$	μ A7808C			UNIT
			MIN	TYP	MAX	
Output voltage	$I_O = 5 \text{ mA to } 1 \text{ A}$, $V_J = 10.5 \text{ V to } 23 \text{ V}$, $P_D \leq 15 \text{ W}$	25°C	7.7	8	8.3	V
		0°C to 125°C	7.6		8.4	
Input voltage regulation	$V_J = 10.5 \text{ V to } 25 \text{ V}$	25°C		6	160	mV
	$V_J = 11 \text{ V to } 17 \text{ V}$			2	80	
Ripple rejection	$V_J = 11.5 \text{ V to } 21.5 \text{ V}$, $f = 120 \text{ Hz}$	0°C to 125°C	55	72		dB
Output voltage regulation	$I_O = 5 \text{ mA to } 1.5 \text{ A}$	25°C		12	160	mV
	$I_O = 250 \text{ mA to } 750 \text{ mA}$			4	80	
Output resistance	$f = 1 \text{ kHz}$	0°C to 125°C		0.016		Ω
Temperature coefficient of output voltage	$I_O = 5 \text{ mA}$	0°C to 125°C		-0.8		mV/°C
Output noise voltage	$f = 10 \text{ Hz to } 100 \text{ kHz}$	25°C		52		μV
Dropout voltage	$I_O = 1 \text{ A}$	25°C		2		V
Bias current		25°C		4.3	8	mA
Bias current change	$V_J = 10.5 \text{ V to } 25 \text{ V}$	0°C to 125°C			1	mA
	$I_O = 5 \text{ mA to } 1 \text{ A}$				0.5	
Short-circuit output current		25°C		450		mA
Peak output current		25°C		2.2		A

[†] Pulse-testing techniques maintain the junction temperature as close to the ambient temperature as possible. Thermal effects must be taken into account separately. All characteristics are measured with a 0.33- μF capacitor across the input and a 0.1- μF capacitor across the output.

electrical characteristics at specified virtual junction temperature, $V_J = 17 \text{ V}$, $I_O = 500 \text{ mA}$ (unless otherwise noted)

PARAMETER	TEST CONDITIONS	$T_J \dagger$	μ A7810C			UNIT
			MIN	TYP	MAX	
Output voltage	$I_O = 5 \text{ mA to } 1 \text{ A}$, $V_J = 12.5 \text{ V to } 25 \text{ V}$, $P_D \leq 15 \text{ W}$	25°C	9.6	10	10.4	V
		0°C to 125°C	9.5	10	10.5	
Input voltage regulation	$V_J = 12.5 \text{ V to } 28 \text{ V}$	25°C		7	200	mV
	$V_J = 14 \text{ V to } 20 \text{ V}$			2	100	
Ripple rejection	$V_J = 13 \text{ V to } 23 \text{ V}$, $f = 120 \text{ Hz}$	0°C to 125°C	55	71		dB
Output voltage regulation	$I_O = 5 \text{ mA to } 1.5 \text{ A}$	25°C		12	200	mV
	$I_O = 250 \text{ mA to } 750 \text{ mA}$			4	100	
Output resistance	$f = 1 \text{ kHz}$	0°C to 125°C		0.018		Ω
Temperature coefficient of output voltage	$I_O = 5 \text{ mA}$	0°C to 125°C		-1		mV/°C
Output noise voltage	$f = 10 \text{ Hz to } 100 \text{ kHz}$	25°C		70		μV
Dropout voltage	$I_O = 1 \text{ A}$	25°C		2		V
Bias current		25°C		4.3	8	mA
Bias current change	$V_J = 12.5 \text{ V to } 28 \text{ V}$	0°C to 125°C			1	mA
	$I_O = 5 \text{ mA to } 1 \text{ A}$				0.5	
Short-circuit output current		25°C		400		mA
Peak output current		25°C		2.2		A

[†] Pulse-testing techniques maintain the junction temperature as close to the ambient temperature as possible. Thermal effects must be taken into account separately. All characteristics are measured with a 0.33- μF capacitor across the input and a 0.1- μF capacitor across the output.



POST OFFICE BOX 655303 • DALLAS, TEXAS 75265

**μ A7800 SERIES
POSITIVE-VOLTAGE REGULATORS**

SLVS056J – MAY 1976 – REVISED MAY 2003

electrical characteristics at specified virtual junction temperature, $V_J = 19$ V, $I_O = 500$ mA (unless otherwise noted)

PARAMETER	TEST CONDITIONS	$T_J \dagger$	μ A7812C			UNIT
			MIN	TYP	MAX	
Output voltage	$I_O = 5$ mA to 1 A, $V_J = 14.5$ V to 27 V, $P_D \leq 15$ W	25°C	11.5	12	12.5	V
		0°C to 125°C	11.4		12.6	
Input voltage regulation	$V_J = 14.5$ V to 30 V	25°C		10	240	mV
	$V_J = 16$ V to 22 V			3	120	
Ripple rejection	$V_J = 15$ V to 25 V, $f = 120$ Hz	0°C to 125°C	55	71		dB
Output voltage regulation	$I_O = 5$ mA to 1.5 A	25°C		12	240	mV
	$I_O = 250$ mA to 750 mA			4	120	
Output resistance	$f = 1$ kHz	0°C to 125°C		0.018		Ω
Temperature coefficient of output voltage	$I_O = 5$ mA	0°C to 125°C		-1		mV/°C
Output noise voltage	$f = 10$ Hz to 100 kHz	25°C		75		μ V
Dropout voltage	$I_O = 1$ A	25°C		2		V
Bias current		25°C		4.3	8	mA
Bias current change	$V_J = 14.5$ V to 30 V	0°C to 125°C			1	mA
	$I_O = 5$ mA to 1 A				0.5	
Short-circuit output current		25°C		350		mA
Peak output current		25°C		2.2		A

[†]Pulse-testing techniques maintain the junction temperature as close to the ambient temperature as possible. Thermal effects must be taken into account separately. All characteristics are measured with a 0.33- μ F capacitor across the input and a 0.1- μ F capacitor across the output.

electrical characteristics at specified virtual junction temperature, $V_J = 23$ V, $I_O = 500$ mA (unless otherwise noted)

PARAMETER	TEST CONDITIONS	$T_J \dagger$	μ A7815C			UNIT
			MIN	TYP	MAX	
Output voltage	$I_O = 5$ mA to 1 A, $V_J = 17.5$ V to 30 V, $P_D \leq 15$ W	25°C	14.4	15	15.6	V
		0°C to 125°C	14.25		15.75	
Input voltage regulation	$V_J = 17.5$ V to 30 V	25°C		11	300	mV
	$V_J = 20$ V to 26 V			3	150	
Ripple rejection	$V_J = 18.5$ V to 28.5 V, $f = 120$ Hz	0°C to 125°C	54	70		dB
Output voltage regulation	$I_O = 5$ mA to 1.5 A	25°C		12	300	mV
	$I_O = 250$ mA to 750 mA			4	150	
Output resistance	$f = 1$ kHz	0°C to 125°C		0.019		Ω
Temperature coefficient of output voltage	$I_O = 5$ mA	0°C to 125°C		-1		mV/°C
Output noise voltage	$f = 10$ Hz to 100 kHz	25°C		90		μ V
Dropout voltage	$I_O = 1$ A	25°C		2		V
Bias current		25°C		4.4	8	mA
Bias current change	$V_J = 17.5$ V to 30 V	0°C to 125°C			1	mA
	$I_O = 5$ mA to 1 A				0.5	
Short-circuit output current		25°C		230		mA
Peak output current		25°C		2.1		A

[†]Pulse-testing techniques maintain the junction temperature as close to the ambient temperature as possible. Thermal effects must be taken into account separately. All characteristics are measured with a 0.33- μ F capacitor across the input and a 0.1- μ F capacitor across the output.



POST OFFICE BOX 655303 • DALLAS, TEXAS 75265

μA7800 SERIES POSITIVE-VOLTAGE REGULATORS

SLVS056J – MAY 1976 – REVISED MAY 2003

electrical characteristics at specified virtual junction temperature, $V_J = 33\text{ V}$, $I_O = 500\text{ mA}$ (unless otherwise noted)

PARAMETER	TEST CONDITIONS	$T_J \dagger$	μA7824C			UNIT
			MIN	TYP	MAX	
Output voltage	$I_O = 5\text{ mA to } 1\text{ A}$, $V_J = 27\text{ V to } 38\text{ V}$, $P_D \leq 15\text{ W}$	25°C	23	24	25	V
		0°C to 125°C	22.8		25.2	
Input voltage regulation	$V_J = 27\text{ V to } 38\text{ V}$	25°C		18	480	mV
	$V_J = 30\text{ V to } 36\text{ V}$			6	240	
Ripple rejection	$V_J = 28\text{ V to } 38\text{ V}$, $f = 120\text{ Hz}$	0°C to 125°C	50	66		dB
Output voltage regulation	$I_O = 5\text{ mA to } 1.5\text{ A}$	25°C		12	480	mV
	$I_O = 250\text{ mA to } 750\text{ mA}$			4	240	
Output resistance	$f = 1\text{ kHz}$	0°C to 125°C		0.028		Ω
Temperature coefficient of output voltage	$I_O = 5\text{ mA}$	0°C to 125°C		-1.5		mV/°C
Output noise voltage	$f = 10\text{ Hz to } 100\text{ kHz}$	25°C		170		µV
Dropout voltage	$I_O = 1\text{ A}$	25°C		2		V
Bias current		25°C		4.6	8	mA
Bias current change	$V_J = 27\text{ V to } 38\text{ V}$	0°C to 125°C		1		mA
	$I_O = 5\text{ mA to } 1\text{ A}$			0.5		
Short-circuit output current		25°C		150		mA
Peak output current		25°C		2.1		A

[†] Pulse-testing techniques maintain the junction temperature as close to the ambient temperature as possible. Thermal effects must be taken into account separately. All characteristics are measured with a 0.33-µF capacitor across the input and a 0.1-µF capacitor across the output.



POST OFFICE BOX 655303 • DALLAS, TEXAS 75265



TIGER ELECTRONIC CO., LTD

Product specification

3-Terminal 1A Positive Voltage Regulator

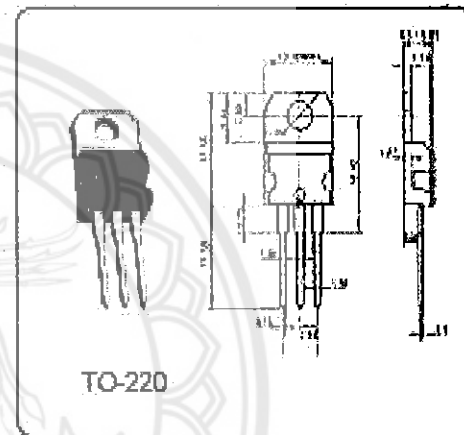
LM7812

GENERAL DESCRIPTION

The LM7812 series of three terminal positive regulators are available in the TO-220 package and with several fixed output voltages, making them useful in a wide range of applications. Each type employs internal current limiting, thermal shut down and safe operating area protection, making it essentially indestructible. If adequate heat sinking is provided, they can deliver over 1A output current. Although designed primarily as fixed voltage regulators, these devices can be used with external components to obtain adjustable voltages and currents.

ABSOLUTE MAXIMUM RATINGS (Ta = 25 °C)

Parameter	Symbol	Typ	Unit
Input Voltage	V _i	35	V
Output Voltage	V _o	12.0	V
Peak Current	I _{pk}	2.2	A
Operating Temperature Range	T _{op}	0~125	°C
Storage Temperature Range	T _{sta}	-65~150	°C



ELECTRICAL CHARACTERISTICS (Ta = 25 °C)

(Refer to test circuit, I_o = 500mA, V_i = 19V, C_i = 0.33μF, C_o = 0.1μF unless otherwise specified)

Parameter	Symbol	Test Conditions	Min	Typ	Max	Unit
Output Voltage	V _o	V _i = 14.5V to 30V	11.64	12.0	12.36	V
Line Regulation (Note 1)	Regline	V _i = 14.5V to 30V		10	240	mV
		V _i = 16V to 22V		3.0	120	
Load Regulation (Note 1)	Regload	I _o = 5.0mA to 1.5A		11	240	mV
		I _o = 250mA to 750mA		5	120	
Quiescent Current	I _q	T _j = +25 °C		5.1	8	mA
Ripple Rejection	RR	f = 120Hz, V _o = 15V to 30V	55	73		dB
Dropout Voltage	V _{drop}	I _o = 1A, T _j = +25 °C		2		V
Output Resistance	r _o	f = 1KHz		0.018		Ω
Short Circuit Current	I _{sc}	V _i = 35V, T _j = +25 °C		230		mA
Peak Current	I _{pk}	T _j = +25 °C		2.2		A



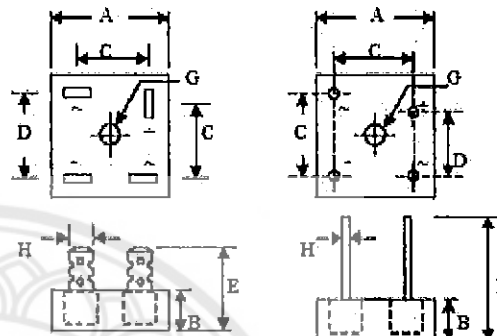
WTE
POWER SEMICONDUCTORS

KBPC15, 25, 35/W SERIES

15, 25, 35A HIGH CURRENT BRIDGE RECTIFIER

Features

- ! Diffused Junction
- ! Low Reverse Leakage Current
- ! Low Power Loss, High Efficiency
- ! Electrically Isolated Metal Case for Maximum Heat Dissipation
- ! Case to Terminal Isolation Voltage 2500V
- ! UL Recognized File # E157705



Mechanical Data

- ! Case: Metal Case with Electrically Isolated Epoxy
- ! Terminals: Plated Leads; Solderable per MIL-STD-202, Method 208
- ! Polarity: Symbols Marked on Case
- ! Mounting: Through Hole for #10 Screw
- ! Weight: KBPC - 31.6 grams (approx.)
KBPC-W 28.5 grams (approx.)
- ! Marking: Type Number

KBPC

KBPC-W

Dim.	KBPC		KBPC-W	
	Min.	Max.	Min.	Max.
A	28.40	28.70	28.40	28.70
B	10.97	11.33	10.97	11.23
C	15.70	16.70	17.10	19.10
D	17.50	18.50	16.90	11.90
E	12.86	15.46	10.50	—
H	6.35 Typical	9.70	1.070	—

"W" Suffix Designates Wire Leads
No Suffix Designates Faston Terminals
Hole for #10 screw, 5.080 Nominal
All Dimension in mm

Maximum Ratings and Electrical Characteristics @T = 25°C unless otherwise specified

Single Phase, half wave, 60Hz, resistive or inductive load.
For capacitive load, derate current by 20%.

Characteristics	Symbol	-00/W	-01/W	-02/W	-04/W	-06/W	-08/W	-10/W	Unit
Peak Repetitive Reverse Voltage Working Peak Reverse Voltage DC Blocking Voltage	V _{RRM} V _{RWM} V _R								V
RMS Reverse Voltage	V _{R(RMS)}	35	70	140	280	420	560	700	V
Average Rectifier Output Current @TC = 60°C KBPC 15 KBPC 25 KBPC 35	I _O				15	25	35		A
Non-Repetitive Peak Forward Surge Current 8.3ms single half sine-wave KBPC 15 KBPC 25 Superimposed on rated load KBPC 35 (JEDEC Method)	I _{FSM}				300	400	400		A
Forward Voltage Drop KBPC15 @IF = 7.5A KBPC25 @IF = 12.5A (per element) KBPC35 @IF = 17.5A	V _{FM}				1.2				V
Peak Reverse Current At Rated DC Blocking Voltage @TC = 25°C KBPC 15 KBPC 25 KBPC 35	I _{RM}				10	1.0			μA mA
I _t Rating for Fusing (t < 8.3ms) (Note 1)	I _{2t}				373	373	664		A 2s

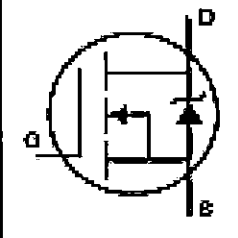
International IC&R Rectifier

PO - 94004B

IRFP260N

HEXFET® Power MOSFET

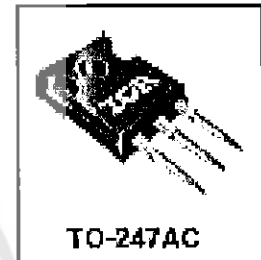
- Advanced Process Technology
- Dynamic dv/dt Rating
- 175°C Operating Temperature
- Fast Switching
- Fully Avalanche Rated
- Ease of Paralleling
- Simple Drive Requirements

	$V_{DSS} = 200V$
	$R_{DS(on)} = 0.04\Omega$
	$I_D = 50A$

Description

Fifth Generation HEXFETs from International Rectifier utilize advanced processing techniques to achieve extremely low on-resistance per silicon area. This benefit, combined with the fast switching speed and ruggedized device design that HEXFET Power MOSFETs are well known for, provides the designer with an extremely efficient and reliable device for use in a wide variety of applications.

The TO-247 package is preferred for commercial/industrial applications where higher power levels preclude the use of TO-220 devices. The TO-247 is similar but superior to the earlier TO-218 package because of its isolated mounting hole.



TO-247AC

Absolute Maximum Ratings

	Parameter	Max.	Unit
$I_S @ T_c = 25^\circ C$	Continuous Drain Current, $V_{DS} \leq 10V$	50	
$I_S @ T_c = 100^\circ C$	Continuous Drain Current, $V_{DS} \leq 10V$	35	
I_{SD}	Total Drain Current (D)	200	
$P_{DSS} @ T_c = 25^\circ C$	Power Dissipation	500	W
	Linear Derating Factor	2.0	W/°C
V_{GS}	Gate-to-Source Voltage	±20	V
E_{AS}	Single Pulse Avalanche Energy (D)	580	nJ
I_{AV}	Avalanche Current (D)	50	A
E_{AR}	Repetitive Avalanche Energy (D)	50	nJ
t_{RDSS}	Peak Drain Recovery Time (D)	10	μsec
T_J	Operating Junction and	-55 to +175	°C
T_{SAFE}	Storage Temperature Range		
	Soldering Temperature, for 10 seconds	300 [1.6mm (0.06 in.)]	
	Mounting torque, 8-32 or M5 screw	10.08Nm (1.1Nm)	

Thermal Resistance

	Parameter	Typ.	Max.	Unit
R_{JC}	Junction-to-Case	—	0.50	°C/W
R_{JC}	Case-to-Sink, Flat, Grounded Surface	0.24	—	
R_{JA}	Junction-to-Ambient	—	40	

IRFP260N

International
IGR Rectifier

Electrical Characteristics @ $T_J = 25^\circ\text{C}$ (unless otherwise specified)

	Parameter	Min.	Typ.	Max.	Units	Conditions
$V_{BZ(BR)}$	Drain-to-Source Breakdown Voltage	200	—	—	V	$V_{GS} = 0V, I_D = 250\mu\text{A}$
$\Delta V_{BZ(BR)}/\Delta T_J$	Breakdown Voltage Temp. Coefficient	—	0.26	—	V/ $^\circ\text{C}$	Reference to 25°C , $I_D = 1\text{mA}$
$R_{DS(on)}$	Static Drain-to-Source On-Resistance	—	—	0.04	Ω	$V_{GS} = 10V, I_D = 28A$ \oplus
$V_{GS(th)}$	Gate Threshold Voltage	2.0	—	4.0	V	$V_{DS} = V_{GS}, I_D = 250\mu\text{A}$
g_F	Forward Transconductance	27	—	—	S	$V_{DS} = 50V, I_D = 28A$ \oplus
I_{SS}	Drain-to-Source Leakage Current	—	—	25	μA	$V_{DS} = 200V, V_{GS} = 0V$
		—	—	250		$V_{DS} = 150V, V_{GS} = 0V, T_J = 150^\circ\text{C}$
I_{GS}	Gate-to-Source Forward Leakage	—	—	100	nA	$V_{GS} = 20V$
	Gate-to-Source Reverse Leakage	—	—	-100		$V_{GS} = -20V$
Q_g	Total Gate Charge	—	—	234		$I_D = 28A$
Q_{GD}	Gate-to-Source Charge	—	—	38	nC	$V_{DS} = 160V$
Q_{GD}	Gate-to-Drain ("Miller") Charge	—	—	110		$V_{GS} = 10V$ \oplus
$t_{J(on)}$	Turn-On Delay Time	—	17	—		$V_{DD} = 100V$
t_r	Rise Time	—	60	—		$I_D = 28A$
$t_{J(off)}$	Turn-Off Delay Time	—	55	—	ns	$R_G = 1.6\Omega$
t_f	Fall Time	—	48	—		$V_{GS} = 10V$ \oplus
L_D	Internal Drain Inductance	—	5.0	—	nH	Between lead, 6mm (0.25in.) from package and center of die contact
L_S	Internal Source Inductance	—	13	—		
C_{iss}	Input Capacitance	—	4057	—	pF	$V_{GS} = 0V$
C_{oss}	Output Capacitance	—	603	—		$V_{DS} = 25V$
C_{trs}	Reverse Transfer Capacitance	—	161	—		$f = 1.0\text{MHz}$

Source-Drain Ratings and Characteristics

	Parameter	Min.	Typ.	Max.	Units	Conditions
I_S	Continuous Source Current (Body Diode)	—	—	50	A	MOSFET symbol showing the integral reverse p-n junction diode.
I_{SD}	Pulsed Source Current (Body Diode) \oplus	—	—	200		
V_{SD}	Diode Forward Voltage	—	—	1.3	V	$T_J = 25^\circ\text{C}, I_S = 28A, V_{GS} = 0V$ \oplus
t_r	Reverse Recovery Time	—	268	402	ns	$T_J = 25^\circ\text{C}, I_F = 28A$
Q_r	Reverse Recovery Charge	—	1.9	2.8	μC	$dI/dt = 100\text{A}/\mu\text{s}$ \oplus
t_{on}	Forward Turn-On Time	—	—	—	—	Intrinsic turn-on time is negligible (turn-on is dominated by $L_S + L_D$)

Notes:

- \oplus Repetitive rating; pulse width limited by max. junction temperature.
- \oplus Starting $T_J = 25^\circ\text{C}$, $L = 1.5\text{mH}$
 $R_G = 25\Omega$, $I_{AS} = 28A$.
- \oplus $I_{SD} \leq 28A$, $dI/dt \leq 485\text{A}/\mu\text{s}$, $V_{DD} \leq V_{BR(BR)}$,
 $T_J \leq 175^\circ\text{C}$
- \oplus Pulse width $\leq 400\mu\text{s}$; duty cycle $\leq 2\%$.



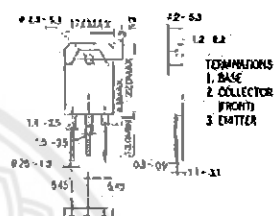
2SC3856

NPN PLANAR SILICON TRANSISTOR

**AUDIO POWER AMPLIFIER
DC TO DC CONVERTER**

- High Current Capability
- High Power Dissipation
- Complementary to 2SA1492

SC-65



ABSOLUTE MAXIMUM RATING (Ta=25°C)

Characteristic	Symbol	Rating	Unit
Collector-Base Voltage	VCBO	180	V
Collector-Emitter Voltage	VCEO	180	V
Emitter-Base voltage	VIEBO	6	V
Collector Current (DC)	IC	15	A
Collector Dissipation	PC	130	W
Junction Temperature	Tj	150	°C
Storage Temperature	Tstg	-55~150	°C

ELECTRICAL CHARACTERISTICS (Ta=25°C)

Characteristic	Symbol	Test Condition	Min	Typ	Max	Unit
Collector Base Breakdown Voltage	BVCBO	IC=5 mA IE=0	180			V
Collector Emitter Breakdown Voltage	BVCEO	IC=10 mA	180			V
Emitter Base Breakdown Voltage	BVEBO	RBE=∞	6			V
Collector Cutoff Current	ICBO	IE=4mA IC=0			0.1	mA
Emitter Cutoff Current	IEBO	VCB=90V IE=0			0.1	mA
*DC Current Gain	hFE1	VEB=4V IC=0	55		160	
DC Current Gain	hFE2	VCE=5V IC=1A	50			
Collector- Emitter Saturation Voltage	VCE(sat)	VCB=5V IC=3A IC=5A IB=0.5A			2.0	V
						V

ประวัติผู้ดำเนินโครงการ



ชื่อ นายพรชัย พันธุ์ชุมง
 ภูมิลำเนา 72/5 หมู่ 3 ต.ฝายหลวง อ.ลับแล จ.อุตรดิตถ์
 ประวัติการศึกษา

- จบระดับมัธยมศึกษาจากโรงเรียนอุตรดิตถ์
- ปัจจุบันกำลังศึกษาในระดับปริญญาตรี ชั้นปีที่ 4
สาขาวิชาศึกษาดูงานไฟฟ้า คณะวิศวกรรมศาสตร์
มหาวิทยาลัยแม่ฟ้า

E-mail: pornchaip56@email.nu.ac.th



ชื่อ นายธนกรฤทธิ์ ส่งท่านนินทร์
 ภูมิลำเนา 16 หมู่ 4 ต.คลองยาง อ.สวรรค์โลก จ.สุโขทัย
 ประวัติการศึกษา

- จบระดับมัธยมศึกษาจากโรงเรียนสารรักษ์อนันต์วิทยา
- ปัจจุบันกำลังศึกษาในระดับปริญญาตรี ชั้นปีที่ 4
สาขาวิชาศึกษาดูงานไฟฟ้า คณะวิศวกรรมศาสตร์
มหาวิทยาลัยแม่ฟ้า

E-mail: tanakits56@email.nu.ac.th